

**DECKBLATT**

	Projekt	PSP-Element	Obj. Kenn.	Aufgabe	UA	Lfd. Nr.	Rev.
	EU 452	K A A N	N N N N N N N N N N	N N N N N N	X A A X X	A A	N N N N
	9K	281240		HD	RB	0004	00

**Titel der Unterlage:**

Mineralogisch-petrographische Untersuchungen an Gesteinsproben aus dem Bereich der Untersuchungsstrecke 541m Sohle (Barre) der Schachtanlage Konrad, Schacht 2

**Seite:**

I.

**Stand:**

01.07.91

**Ersteller:**

BGR/

**Textnummer:****Stempelfeld:**PSP-Element TP :

zu Plan-Kapitel: 3.1.10.2

PL



19.11.1991

Freigabe für Behörden

PL



19.11.1991

Freigabe im Projekt

Diese Unterlage unterliegt samt Inhalt dem Schutz des Urheberrechts sowie der Pflicht zur vertraulichen Behandlung auch bei Beförderung und Vernichtung und darf vom Empfänger nur auftragsbezogen genutzt, vervielfältigt und Dritten zugänglich gemacht werden. Eine andere Verwendung und Weitergabe bedarf der ausdrücklichen Zustimmung des BfS.

# Revisionsblatt

BFS

	Projekt	PSP-Element	Obj. Kenn.	Aufgabe	UA	Lfd. Nr.	Rev.
EU 452	N A A N	N N N N N N N N N N	N N N N N N	X A A X X	A A	N N N N	N N
	9K	281240		HD	RB	0004	00

<b>Titel der Unterlage:</b> Mineralogisch-petrographische Untersuchungen an Gesteinsproben aus dem Bereich der Untersuchungsstrecke 541m Sohle (Barrême) der Schachtanlage Konrad. Schacht 2	<b>Seite:</b> <div style="text-align: center; margin-top: 10px;">II.</div>
	<b>Stand:</b> <div style="text-align: center; margin-top: 10px;">01.07.91</div>

Rev.	Revisionsst. Datum	verant. Stelle	Gegenzeichn. Name	rev. Seite	Kat. *)	Erläuterung der Revision

\*) Kategorie R = redaktionelle Korrektur  
 Kategorie V = verdeutlichende Verbesserung  
 Kategorie S = substantielle Änderung  
 Mindestens bei der Kategorie S müssen Erläuterungen angegeben werden.

Projekt	PSP-Element	Obj.-Kenn.	
9K	281240	/	
Aufgabe	UA	Lfd. Nr.	Rev.
HD	RB	0004	00

EU 452

Mineralogisch-petrographische  
 Untersuchungen an  
 Gesteinsproben aus dem  
 Bereich der Untersuchungsstrecke  
 541m Sohle (Barrême)  
 der Schachtanlage Konrad  
 Schacht 2

BUNDESANSTALT FÜR GEOWISSENSCHAFTEN UND ROHSTOFFE

Hannover

Mineralogisch-petrographische Untersuchungen an  
Gesteinsproben aus dem Bereich der Untersuchungsstrecke  
541 m Sohle (Barrême) der Schachtanlage Konrad Schacht 2

hier : Laborbericht



Auftraggeber : Bundesamt für Strahlenschutz  
AP-Nr. : 9K 281240  
Archiv-Nr. : 108659  
Tageb.-Nr. : B4-1160038/91  
TK 25 : Lebenstedt-Ost Nr. : 3828



Hannover, Juli 1991

## Inhaltsverzeichnis

	Seite
1. ZUSAMMENFASSUNG	1
2. EINLEITUNG	2
3. PROBENNAHME	2
4. UNTERSUCHUNGSMETHODEN	3
4.1 Semiquantitative Bestimmung des Mineralgehalts	4
4.1.1 Rechnerische Ermittlung des Mineralbestandes	4
4.1.2 Semiquantitative röntgenographische Ermittlung des Mineralbestandes	5
4.2 Quantitative Karbonatbestimmung	6
5. ERGEBNISSE UND KURZINTERPRETATION	6
5.1 H <sub>2</sub> O - Bestimmung	7
5.2 Quantitative Karbonatbestimmung (Scheibler)	7
5.3 Korngrößenanalyse	8
5.4 Organischer Kohlenstoff	9
5.5 Qualitative und semiquantitative Phasenanalyse	9
5.6 Rasterelektronenmikroskopie	10
5.7 Vergleich der Vertikalbohrungen V102, V104, V106, F101 und F102 sowie K101	11
6. DISKUSSION DER ERGEBNISSE	14
7. LITERATURVERZEICHNIS	16
<b>ANHANG</b>	
- Anlage 1	Tabellen; Wassergehalt, Karbonat und Korngrößenfraktionen
- Anlage 2	Tabellen; Qualitativer und quantitativer Mineralbestand
- Anlage 3	Tabellen; RFA-Daten
- Anlage 4	Tabelle ; C <sub>org.</sub> - Gehalt
- Anlage 5	Abbildungen
- Anlage 6	REM-Aufnahmen

## 1. ZUSAMMENFASSUNG

An insgesamt 224 Proben aus Bohrungen ausgehend von der 541m-Sohle des Schachtes 2 der Anlage Konrad wurden mineralogische, petrographische und geochemische Untersuchungen durchgeführt. Erbohrt wurden im Wesentlichen Gesteine des Barrême, und nur in drei der untersuchten Bohrungen wurde möglicherweise die Schichtgrenze zum Oberhauertive erreicht und durchteuft.

Bei dem erbohrten Gestein handelt es sich überwiegend um dunkelgraue, stark schluffige Ton- bis Tonmergelsteine. Untergeordnet treten linsenartig Karbonate auf. Die Ton- bis Tonmergelsteine besitzen qualitativ einen homogenen Mineralbestand mit Muskovit/Illit und Quarz als Hauptkomponenten, sowie Kaolinit und teilweise Calcit als Nebenkomponten. Daneben sind Pyrit, Chlorit, Siderit, Dolomit, Smektit/Illit, Feldspat, Gips und röntgenamorphe Komponente, sowie Rutil als Spuren vorhanden. Halit, der ebenfalls in geringen Konzentrationen nachzuweisen ist, dürfte erst bei der Trocknung der Proben aus dem Porenwasser auskristallisiert sein.

Während der Calcitgehalt in den stark schluffigen Ton- bis Tonmergelsteinen in erster Linie auf die dort vorhandenen Nanno- und Mikrofossilien zurückzuführen ist, treten in den linsenartigen Karbonaten neben organogenem Calcit chemisch gefällte Karbonate in den Vordergrund.

Bei den eingehend untersuchten Vertikalbohrungen lassen sich charakteristische Änderungen in der Korngrößenverteilung, Chemismus und Mineralbestand miteinander korrelieren und in den einzelnen Bohrungen wiederfinden. Diese Charakteristika lassen sich z.T. auch in der ca. 480m in östlicher Richtung entfernt stehenden Bohrung K101 erkennen. Als genereller Trend läßt sich im Barrême die Zunahme des Karbonatgehaltes mit der Teufe auf Kosten von Quarz, Muskovit/Illit und auch Kaolinit belegen.

## 2. EINLEITUNG

Im Rahmen des Planfeststellungsverfahrens für die Endlagerung radioaktiver Abfälle in der Schachtanlage Konrad wurde im Mittelbarrême zur weiteren Erkundung des Gebirges eine Strecke aufgefahen (541m- Sohle), zu deren Vorerkundung die Horizontalbohrung B10 diente. Ausgehend von dieser Strecke wurden Bohrungen für verschiedene Feldversuche und zur Gewinnung von Probenmaterial für verschiedene Laboruntersuchungen durchgeführt.

Ziel der für diesen Bericht durchgeführten Untersuchungen ist die Klärung der Frage, ob die Gesteinschichten des Barrême im Bereich der Schachtanlage Konrad mineralogisch und sedimentpetrographisch als homogen zusammengesetzter Gesteinskörper angesehen werden können, oder ob innerhalb dieser Gesteinschichten stärkere Schwankungen im Mineralbestand, der Korngrößenverteilung oder dem Gefüge auftreten.

## 3. PROBENNAHME

Probenmaterial wurde aus der Ortsbrust in Form von Handstücken, sowie als Einzelproben aus den erbohrten Kernen und aus der Bohrung V106 als Bohrklein gewonnen. Bedingt durch die Art der Probennahme hat bei den Kernbohrungen (Proben ab 4cm Kerndicke) die Feinschichtung der Sedimente einen wesentlich stärkeren Einfluß auf die Ergebnisse als bei der Vollbohrung, bei der das Probenmaterial (Bohrklein) für jeweils einen Bohrmeter entnommen wurde. In der nachfolgenden Tabelle 1 sind die Daten sämtlicher Bohrungen, aus denen Probenmaterial für diese Untersuchungen entnommen wurde, zusammengestellt.

Die genauen Lokalitäten der Bohrungen sind dem Endbericht des [REDACTED]  
( [REDACTED] )  
zu entnehmen.

Tabelle 1 : Übersicht zu Länge und Orientierung der Bohrungen mit Angaben zur Probenzahl

Bohrung	Proben- zahl	Neigung	Länge	Kerndurch- messer
<u>Kernbohrung</u>				
E <sub>4</sub> /B27	3	ca.90° fd.	ca.14m	58mm
E <sub>5</sub> /B28	3	ca. 5° fd.	ca.14m	58mm
E <sub>6</sub> /B26	5	ca.90° std.	ca.14m	58mm
V <sub>102</sub> /B44	37	ca.90° fd.	ca.50m	58mm
V <sub>104</sub> /B51	24	ca.90° fd.	ca.50m	116mm
F <sub>101</sub> /B52	9	ca.90° std.	ca.15m	116mm
F <sub>102</sub> /B53	8	ca.90° std.	ca.15m	116mm
F <sub>103</sub> / ?	1	?	?	116mm
W <sub>106</sub> /B45	3	ca.90° std.	ca.12m	58mm
W <sub>107</sub> /B66	13	ca.45° std.	ca.20m	58mm
U <sub>101</sub> /B57	5	ca. 5° fd.	ca.12m	86mm
U <sub>102</sub> /B56	5	ca. 5° fd.	ca.12m	86mm
U <sub>103</sub> /B54	4	ca. 5° fd.	ca.12m	86mm
U <sub>104</sub> /B55	8	ca. 5° fd.	ca.12m	86mm
U <sub>105</sub> /B59	5	ca.90° fd.	ca.12m	86mm
U <sub>106</sub> /B58	4	ca.90° fd.	ca.12m	86mm
U <sub>107</sub> /B71	5	ca. 5° fd.	ca. 8m	86mm
U <sub>108</sub> /B70	4	ca. 5° fd.	ca. 8m	86mm
U <sub>110</sub> /B61	4	ca. 5° fd.	ca. 8m	86mm
U <sub>103A</sub> /B69	6	ca. 5° fd.	ca.12m	86mm
U <sub>104A</sub> /B68	6	ca. 5° fd.	ca.12m	86mm
<u>Vollbohrung</u>				
V <sub>106</sub> /	56	ca.90° fd.	ca.56m	146mm

zusätzlich 6 Proben aus der Ortsbrust (s. Abb. 1)  
(fd. = fallend, std. = steigend)

#### 4. Untersuchungsmethoden

Mit Ausnahme der semiquantitativen Mineralbestimmung aus der chemischen Analyse, aus der Röntgendiffraktometrie und der Karbonatbestimmung nach Scheibler wurde bei dem gesamten Analysengang weitestgehend verfahren wie im Laborbericht zu den Untersuchungen von Bohrungen ausgehend von der 343m Sohle (Alb) (ECKHARDT, MATTIAT & BERNHARDT 1990). Auf die Methodik der dort angewendeten Analysenverfahren wird außerdem in den Berichten von [REDACTED] (1985), ECKHARDT, [REDACTED] & BESANG (1989) und ECKHARDT, MATTIAT & BERNHARDT (1990) ausführlich eingegangen.



Folgende Untersuchungen wurden routinemäßig bzw. nur an ausgewählten Proben (a.a. P.) durchgeführt :

- H<sub>2</sub>O-Bestimmung
- Korngrößenanalysen (Sieb- und Pipettanalysen)
- Bestimmung des Karbonatgehaltes (Scheibler)
- Röntgendiffraktometrie
- Röntgenfluoreszenzanalysen
- Korngrößentrennung (Atterberg) und Röntgendiffraktometrie sowie Röntgenfluoreszenzanalyse der einzelnen Fraktionen - a.a.P. -
- Organischer Kohlenstoff - a.a.P. -
- Rasterelektronenmikroskopie - a.a.P. -

#### 4.1 Semiquantitative Bestimmung des Mineralgehalts

Die semiquantitative Bestimmung des Mineralbestandes erfolgte durch die Kombination von zwei verschiedenen Methoden :

- a) Rechnerische Ermittlung der Haupt- und Nebenkomponenten aus den Daten der chemischen Analyse und der Karbonatbestimmung nach Scheibler
- b) Semiquantitative Erfassung aller kristallinen Phasen aus der Röntgendiffraktometrie

Die Ergebnisse aus den beiden Methoden zur Ermittlung des Mineralbestandes sind durchaus vergleichbar und zeigen gleichgerichtete Trends. Die Abweichungen liegen bei einzelnen Ergebnissen bei bis zu 8 Gew.-% absolut für Muskovit/Illit und Kaolinit und bis zu 6 Gew.-% absolut für Quarz, im Durchschnitt aber bei 2-3 Gew.-% absolut. Für die Haupt- und Nebenkomponenten wird der Mittelwert aus den beiden Methoden angegeben.

##### 4.1.1 Rechnerische Ermittlung des Mineralbestandes

Die Mineralphasen Muskovit/Illit, Quarz, Kaolinit und Calcit sind die Haupt- bzw. Nebenkomponenten der untersuchten Ton- und Tonmergelproben des Barrême. Für die Minerale Quarz und Calcit, mit Einschränkungen auch für Kaolinit, kann deren Chemismus als konstant angesehen werden. Die chemische Variationsbreite von muskovitisch-illitischen Phasen,

dazu zählen hier Muskovit, Glaukonit, Illit und Smektit/Illit, ist dagegen, insbesondere auch bezüglich des  $K_2O$ -Gehaltes, hoch. Unter Berücksichtigung der chemischen Zusammensetzung von einzelnen Korngrößenfraktionen, in denen Smektit/Illit und Illit bevorzugt in der  $<2\mu m$  - Fraktion, detritischer Muskovit und Glaukonit dagegen in den größeren Fraktionen angereichert werden, wurde für diese Phasen eine mittlere chemische Zusammensetzung postuliert.

Folgende Standardminerale wurden für die rechnerische Ermittlung des Mineralbestandes benutzt :

Muskovit/Illit	$SiO_2$ 54,5%, $Al_2O_3$ 30,3%, $K_2O$ 7,6%, $H_2O$ 7,6%.
Kaolinit	$SiO_2$ 47,2%, $Al_2O_3$ 39,3%, $H_2O$ 13,5%.

Unter Benutzung des Chemismus der vorgegebenen Standardminerale läßt sich der Gehalt an muskovitisch-illitischen Phasen aus dem  $K_2O$ -Gehalt der chemischen Analyse berechnen. Nach Abzug des für diese Phasen verbrauchten  $Al_2O_3$  wird der Kaolinit-Gehalt über restliches  $Al_2O_3$  berechnet. Der Quarz-Gehalt ermittelt sich somit aus dem nach der Berechnung der Tonminerale verbleibenden  $SiO_2$  Anteil. Der Calcit-Gehalt kann aus dem  $CaO$ -Gehalt der chemischen Analyse berechnet werden, eine Korrektur muß jedoch unter Berücksichtigung des nach Scheibler bestimmten Karbonatgehaltes und der qualitativen röntgenographischen Phasenanalyse vorgenommen werden, da sowohl Siderit als auch Dolomit  $CaO$  enthalten.

#### 4.1.2 Semiquantitative röntgenographische Ermittlung des Mineralbestandes

Die semiquantitative Bestimmung des Mineralbestandes der Barrêmeproben erfolgte in Anlehnung an eine Methode wie sie im Röntgenlabor des ehemaligen ZGI Berlin (zusammengestellt von H. Unger 1981) angewendet wurde. Diese Methode wurde ursprünglich für die quantitative Mineralbestimmung von sandig-karbonatisch-anhydritisch-tonigen Sedimenten ausgearbeitet. Danach werden nach der qualitativen Auswertung des Röntgenspektrums die Konzentrationen der

kristallinen Phasen durch Intensitätsmessungen ausgewählter Reflexe und unter Berücksichtigung eines Mineralfaktors bestimmt; ihre Summe sollte 100% betragen. Für den vorliegenden Bericht wurde diese Methode leicht modifiziert, indem die unkorrigierte Mineralsumme gleich 95% gesetzt wurde. Dadurch werden vorhandene amorphe Bestandteile und nicht eindeutig bestimmbare Minerale (Linienüberlagerungen der Hauptreflexe von vorhandenen Spurenmineralen, je 2 Gew.-% max. bestimmt aus RFA, wie Rutil und Halit) in der Mineralsumme berücksichtigt. Der bereits vorher durch Rechnung und Karbonatbestimmung nach Scheibler gut bestimmte Calcit-Gehalt kann dabei als innerer Standard angesehen werden (s.a. ECKHARDT, MATTIAT & BERNHARDT 1990) und dient somit zur Kontrolle der semiquantitativen Phasenanalyse.

#### 4.2 Quantitative Karbonatbestimmung

Die quantitative Karbonatbestimmung wurde mit der Methode nach Scheibler durchgeführt. Die Probe wird dabei in einer Gasentwicklungsapparatur mit 1n HCl-Säure behandelt. Das Volumen des aus den Karbonaten entstehenden CO<sub>2</sub>-Gases wird über seine Wasser-Verdrängung bestimmt. Die Bestimmung dieses Volumens erfolgt erst nach vollständigem HCl-Aufschluß der Proben, d.h. wenn keine weitere Gasentwicklung mehr zu beobachten ist. Dadurch werden neben Calcit auch die schwerer löslichen Karbonate, wie Siderit und Dolomit, nahezu vollständig erfaßt.

#### 5. ERGEBNISSE UND KURZINTERPRETATION

Sämtliche Ergebnisse zu den o. g. Untersuchungen sind im Anhang (Anlagen 1-5) tabellarisch wiedergegeben. Diese Ergebnisse werden hier kurz interpretiert. Ein Vergleich der dichter beprobten Vertikalbohrungen F101, F102, V102, V104 und V106 läßt die Berechnung von Trends zu, bzw. es lassen sich charakteristische Änderungen hinsichtlich mineralogischer, geochemischer und sedimentpetrographischer Eigenschaften der erbohrten Barrême-Gesteine im Bereich der Schachtanlage Konrad 2 aufzeigen.

Unter Berücksichtigung der Analyseergebnisse aus der Bohrung K101 und des in GERARDI (1988) geführten Nachweises, daß eine gleichmäßige, über weite Bereiche anhaltende Ablagerung der Unterkreidesedimente mit nur geringen Einfallswinkeln (ca 2°) stattgefunden hat, ist eine Extrapolation der hier dargestellten Ergebnisse über den untersuchten Bereich hinaus vertretbar.

### 5.1 H<sub>2</sub>O - Bestimmung

Der Wassergehalt der Barrême-Gesteinsproben ist fast ausschließlich auf adhäsiv gebundenes Wasser (Porenwasser) zurückzuführen. Nur sehr geringe, vernachlässigbare Anteile können auf entwässertes Zwischenkristallwasser von Smektit/Illit zurückgeführt werden.

Der Wassergehalt von sämtlichen 71 untersuchten Proben aus dem Barrême liegt zwischen 0,7 und 6,7 Gew.-% bei einem arithmetischen Mittel von 5,6% und einer Standardabweichung von 1,1. Die hohe Schwankungsbreite des Wassergehalts läßt sich auf lithologische Inhomogenitäten der Gesteinsschichten des Barrême zurückführen. Wie aus Abb. 2 ersichtlich, besteht eine deutliche Abhängigkeit zwischen Wasser- und Karbonatgehalt der untersuchten Proben. Danach liegt der Wassergehalt von stark schluffigen Ton- bis Tonmergelsteinen bei ca. 6 Gew.-%. Er sinkt aber bei den karbonatreichen Proben bis unter 1 Gew.-%.

Obwohl Proben für die Bestimmung des Wassergehaltes aus dem Inneren der Bohrkerne gewonnen wurden, stellen die Ergebnisse nur untere Grenzwerte dar, da sowohl bei der Gewinnung des Kerns als auch der Proben vorzeitige Wasserverluste möglich sind.

### 5.2 Quantitative Karbonatbestimmung (Scheibler)

An sämtlichen Proben aus Kernbohrungen wurde eine quantitative Karbonatbestimmung nach der Methode von Scheibler durchgeführt. Noch deutlicher als in der Horizontalbohrung B10 (s. ECKHARDT, MATTIAT & BERNHARDT 1990) zeigt sich hier die Inhomogenität des Barrême-Gesteins hinsichtlich seines Karbonatgehalts.

Dieser schwankt bei den 168 untersuchten Proben zwischen 0,3 und 79,1 Gew.-% um ein arithmetisches Mittel von 9,3 Gew.-%. Die Standardabweichung liegt bei 9,3 und ist damit ebenfalls ein deutlicher Hinweis auf die Inhomogenität des Barrême-Gesteins im untersuchten Bereich.

Der Karbonatgehalt des Barrême-Gesteins ist im Wesentlichen auf Calcit zurückzuführen, in wenigen Ausnahmen trägt allerdings auch Siderit erheblich zum Karbonatgehalt bei. Dolomit tritt nur in Spuren (unter 5 Gew.-%) auf und hat damit keinen wesentlichen Einfluß auf den Karbonatgehalt oder dessen Schwankungen (s.a. 5.5).

### 5.3 Korngrößenanalyse

An allen 224 Barrême-gesteinsproben, wurden Korngrößenanalysen ausschließlich an nicht entkarbonatisiertem Material durchgeführt. Für die nachfolgende Betrachtung bleiben drei der untersuchten Proben (E6 9,82-10,0m; V104 12,07-12,27m; F101 7,40-7,65m) unberücksichtigt, da sie extrem karbonatreich sind.

Aufgrund der Korngrößenanalysen an den verbleibenden 221 Proben kann das Gesteinsmaterial des Barrême fast ausschließlich dem Ton- Schluffbereich zugeordnet werden. Korngrößen über  $63\mu\text{m}$  sind nur mit meist deutlich unter 4 Gew.-% am Aufbau des Gesteins beteiligt. Eine Korrelation des Karbonatgehalts mit einer oder mehrerer Korngrößenfraktionen läßt sich nicht deutlich belegen. Am ehesten ist noch eine Karbonatanreicherung in der Fraktion  $2-6,3\mu\text{m}$  zu erkennen (s. chem. Analyse von Korngrößenfraktionen), die auf vorhandene Coccolithen und deren Detritus zurückzuführen ist.

Die drei o. g. karbonatreichen Proben zeigten bei der Pipettanalyse eine ausgesprochen starke Tendenz zur Koagulation. Die in den Tabellen wiedergegebenen Werte zur Korngrößenverteilung stellen deshalb nur eine ungefähre Abschätzung der Korngrößenverteilung dieser Proben dar.

#### 5.4 Organischer Kohlenstoff

Wegen der im Mittelbarrême, insbesondere aber im Unterbarrême auftretenden, an planzlichem  $C_{org}$  reichen "Blättertone" (vgl. GAIDA et al. 1981), wurde der Gehalt an organischem Kohlenstoff an den Proben aus der Bohrung V106 bestimmt. Er schwankt für diese Bohrung zwischen 0,78 und 2,03 Gew.-% um ein arithmetisches Mittel von 2,03 Gew.-% bei einer Standardabweichung von 0,85.

Wie aus Abb. 2 ersichtlich, ergibt sich hier eine deutliche, teufenabhängige Tendenz. Im oberen Bereich der Bohrstrecke (0 - 26m) liegt der  $C_{org}$ -Gehalt bei stark alternierenden Werten zwischen 1,49 und 2,70 Gew.-% (MW 2,1 Gew.-%, Stabw. 0,37). Dies entspricht in groben Zügen dem stratigraphischen Bereich des Mittelbarrême. Ab ca. 26 bis 40m Bohrstrecke (etwa Unterbarrême, Hauptblätterton) ist ein Anstieg des  $C_{org}$ -Gehalts auf Werte zwischen 2,10 und 3,83 Gew.-% (MW 3,1 Gew.-%, Stabw. 0,47) zu verzeichnen, er fällt dann aber ab ca. 40m Bohrstrecke sprunghaft auf Werte zwischen 0,79 und 1,30 Gew.-% (MW 1,0 Gew.-%, Stabw. 0,15) zurück.

#### 5.5 Qualitative und semiquantitative Phasenanalyse

In den untersuchten Proben des Barrême konnten röntgendiffraktometrisch 15 feste Phasen, 14 Minerale und röntgenamorphe Komponente nachgewiesen werden:

Q = Quarz  
 MI = Muskovit/Illit  
 K = Kaolinit  
 Chl = Chlorit  
 SI = Smektit/Illit  
 Cc = Calcit  
 Do = Dolomit  
 Sid = Siderit  
 Py = Pyrit  
 Ap = Apatit  
 Gi = Gips  
 Fsp = Feldspat  
 Ha = Halit  
 Ru = Rutil  
 aK = röntgenamorphe Komponente

In fast allen untersuchten Proben sind Quarz und Muskovit/Illit als Hauptkomponenten, Kaolinit als Nebenkomponekte vertreten. Calcit, aber auch Siderit, sind dagegen sehr inhomogen verteilt. Sie können als Spuren, Neben- und Hauptkomponenten auftreten und, bei extremen Anreicherungen, sogar die o.g. Haupt- und Nebenkomponekten verdrängen. Alle anderen Minerale sind als Spurenminerale zu bezeichnen, von denen lediglich Pyrit, Chlorit, Smektit/Illit und Gips in wenigen Proben Konzentrationen knapp über 5 Gew.-% erreichen. Einige der Spurenminerale liegen an der Nachweisgrenze und konnten deshalb nicht für alle Proben eindeutig bestimmt werden.

Bei der semiquantitativen Phasenanalyse wird Smektit/Illit nicht gesondert erfaßt, sodaß in Muskovit/Illit neben illitischen und muskovitischen Phasen auch Glaukonit und Smektit/Illit enthalten sind. Unter Kaolinit ist bei der semiquantitativen Phasenanalyse Chlorit verborgen.

Auf die Zusammenhänge zwischen chemischen Hauptelementen und bestimmten Mineralphasen wird in den vorhergehenden Berichten von ECKHARDT, MATTIAT & BERNHARDT (1990a+b) eingehend eingegangen.

Es sei hier lediglich erwähnt, daß in den Barrême-Proben zwar eine enge Beziehung CaO-Calcit besteht, für Korrelationen CaO-Karbonat (Scheibler) aber etwaige Siderit-Anteile unbedingt zu berücksichtigen sind.

## 5.6 Rasterelektronenmikroskopie

Die Rasterelektronenmikroskopie soll Informationen über das Mikrogefüge sowie Art und Aufbau von Einzelkomponenten liefern. (REM Aufnahmen s. Anlage 6). Da insgesamt nur 6 Proben rasterelektronenmikroskopisch untersucht wurden, sind die Ergebnisse probenspezifisch. Aus der REM-Analyse allein lassen sich keine eindeutigen Aussagen zu teufenabhängigen Trends o.ä. machen.

Das Tonmineralgefüge der untersuchten Proben variiert von bioturbat über schlierig-unregelmäßig bis schlierig parallel (REM Aufn. 1 bis 8).

Die Aufnahmen zeigen Mikro- und Nannofossilien, insbesondere Coccolithen. Diese sind wesentliche Calcitträger. Lagige, schichtparallele Anreicherungen von Coccolithen und deren Detritus (REM Aufn. 9 bis 11) werden zusammen mit einem schlierig parallelen Tonmineralgefüge gefunden (Laminitgefüge).

Sekundäre Calcitneubildungen lassen sich in mehreren Proben belegen (REM Aufn. 12 bis 17). Insbesondere bei einer der karbonatreichen Proben sind Kluftverheilungen und Calcitwachstum um Coccolithen, die möglicherweise als Kristallisationskeime gewirkt haben, zu erkennen. Das Gefüge dieser Probe ist als dicht zu bezeichnen (REM Aufn. 18 bis 20).

Gips tritt als Neubildung mit Pyrit auf. Pyritnester, auch wenn sie in unmittelbar toniger Umgebung auftreten, zeigen häufig deutliche Neubildungen von Gipskristallen. In den Proben sind auch nahezu unvergipste Pyrite zu finden (REM Aufn. 21 bis 23). Nicht korrodierter Pyrit tritt auch in den linsenartig ausgebildeten Karbonatproben auf (REM Aufn. 24). Die Vergipsung von Pyritnestern in toniger Umgebung deutet auf wässrige Lösungen in diesen Bereichen hin. Da jedoch in den Proben auch unvergipste Pyrite auftreten, scheinen diese Lösungen räumlich begrenzt zu sein. Sie fehlen in den Karbonatlinsen.

Bei einem als Apatit identifizierten ca. 0,2\*0,1mm großen Fragment dürfte es sich um ein fossiles Knochenbruchstück handeln (REM Aufn. 25). Apatit (Phosphat) ist daher vermutlich an organischen Detritus gebunden.

#### 5.7 Vergleich der Vertikalbohrungen V102, V104, V106, F101 und F102 sowie K101

Charakteristische Änderungen von geochemischen, mineralogischen und sedimentpetrographischen Eigenschaften lassen sich am besten an den relativ dicht beprobten, etwa bankrecht geteufte Vertikalbohrungen aufzeigen.



In den Abb. 3-10 sind die Trendgeraden der aussagefähigen Hauptelemente  $\text{SiO}_2$ ,  $\text{Al}_2\text{O}_3$ ,  $\text{Fe}_2\text{O}_3$ ,  $\text{CaO}$  und  $\text{K}_2\text{O}$  für die einzelnen Bohrungen dargestellt. Die Trendgeraden zeigen danach, beginnend bei den obersten durch die Bohrungen F101 und F102 erbohrten Schichten des Barrême, eine Abnahme der  $\text{SiO}_2$ ,  $\text{Al}_2\text{O}_3$  und  $\text{K}_2\text{O}$ -Gehalte zur Teufe hin. Einen deutlichen gegenläufigen Trend, d.h. eine Zunahme zur Teufe hin, zeigt dagegen der  $\text{CaO}$ -Gehalt, weniger deutlich ausgeprägt ist dieser Trend beim  $\text{Fe}_2\text{O}_3$ -Gehalt. Gleiche Trends sind im entsprechenden Teufenbereich (Barrême) der Bohrung K101 zu erkennen. Die in den Bohrungen V104 und F101 auffallenden extrem hohen  $\text{CaO}$  bzw.  $\text{Fe}_2\text{O}_3$ -Gehalte bei 12,07-12,27m (V104) und 7,40-7,65m (F101) werden unter Berücksichtigung ihres Mineralbestandes als linsenartig auftretende Karbonate oder Karbonatkonkretionen interpretiert. Entsprechende Proben treten in den nur 10 m entfernten Parallelbohrungen nicht auf. Für allgemeine Trendaussagen sollten deshalb solche Proben unberücksichtigt bleiben.

Die Trendgeraden der wesentlichen Minerale Quarz, Kaolinit, Muskovit/Illit und Calcit (s. Abb. 11-15) zeigen ebenfalls teufenabhängige Konzentrationsänderungen dieser Minerale und belegen noch einmal die Zusammenhänge zwischen gewissen Hauptelementen der RF-Analyse und einzelnen Mineralphasen. Die fünf Vertikalbohrungen zeigen eine deutliche Zunahme des Calcitgehaltes (entsprechend  $\text{CaO}$ ) und eine Abnahme der Tonminerale Muskovit-Illit und Kaolinit (entsprechend  $\text{Al}_2\text{O}_3$  und  $\text{K}_2\text{O}$ ) mit der Teufe. Der Quarzgehalt zeigt lediglich im Liegenden der 541 m-Sohle gegenüber  $\text{SiO}_2$  einen gleichgerichteten Trend (d.h. Abnahme mit der Teufe), im Hangenden dagegen einen gegenläufigen Trend. Höhere  $\text{SiO}_2$ -Gehalte sind hier augenscheinlich am Aufbau der vermehrt auftretenden Tonminerale Muskovit/Illit und Kaolinit beteiligt.

Neben den generellen Trendgeraden über den gesamten Teufenbereich des erbohrten Barrême lassen sich auch charakteristische Änderungen innerhalb gewisser Teufenintervalle aufzeigen. Dazu wird in den Abb. 16-20 der Mineralbestand kumulativ als Flächendiagramm wiedergegeben. Es muß hierbei berücksichtigt werden, daß hier Einzelproben dargestellt werden, die Verbindungslinien zwischen einzelnen Probenpunkten also keine echten Übergänge darstellen. Dies gilt nicht

für die Bohrung V106, hier können jedoch andere Faktoren (Nachfall während des Bohrvorgangs, sekundäre Mineralanreicherungen bei der Proben-gewinnung) zu erheblichen Fehlern führen. Charakteristika, die trotzdem in allen Bohrungen wiederzufinden sind, können allerdings als gesichert gelten.

Bei einem Vergleich dieser Abbildungen sind die im oberen Bereich der Bohrung V104 und in der Bohrung F101 auftretenden linsenartigen Karbonate deutlich zu erkennen. Eine weitere Karbonatlinse dieser Art ist auch in der Hangendbohrung E6 vorhanden. Ähnliche Karbonatlinsen wurden in den tieferen Bereichen der Bohrung V102, V104 und V106 nicht gefunden und könnten daher auf einen Teufenbereich 541m-Sohle +/- ca. 15m begrenzt sein. Dagegen treten in den tieferen Bereichen des Barrême mehr oder weniger ausgeprägte lagige Karbonatanreicherungen auf (V102 bei 18-20m, 31-35m, 40,5m und ab 46m Bohrstrecke; V104 bei 19,5-20,5m, 31-33,5m 41m und ab 47m Bohrstrecke; V106 bei 19-23m, 30-33m, 39-40m und ab 48m Bohrstrecke). Bei den erbohrten mergeligen Tonsteinen im Liegenden der Bohrungen V102, V104 und V106 (ab 46-48m Bohr-strecke), die, vom Liegenden zum Hangenden gesehen, mit erhöhten Siderit-Gehalten (vgl. GAIDA et al. 1981) ausklingen, könnte es sich bereits um den Grenzbereich Barrême-Hauterive handeln.

Während die einzelnen Korngrößenfraktionen keine generellen teufenabhängigen Trends belegen, zeigt hier die kumulative Korngrößenverteilung in den Bohrungen V102 und V104 im Flächendiagramm (s. Abb 21-26) ein auffälliges Minimum der Kornfraktion  $<2\mu\text{m}$  im Teufenbereich von ca. 24 bis ca. 37 m Bohrstrecke. Weniger ausgeprägt ist dieses Minimum in der Bohrung V106. Dieser Teufenbereich wird durch ebenso auffällige "Spitzen" der  $<2\mu\text{m}$ -Fraktion begrenzt. Bei der Darstellung der Korngrößenfraktionen der Bohrung K101 ist der Bereich des Hauptblättertens ebenfalls angedeutet.

Etwa der gleiche Teufenbereich zwischen 24 und 37m fällt im  $C_{\text{Org}}$ -Diagramm der Bohrung V106 durch hohe  $C_{\text{Org}}$ -Gehalte auf. Der gleiche Bereich weist aber nur in der Bohrung V102 deutlich erkennbar an seinen Grenzen "Spitzen" von Quarz gefolgt von "Spitzen" im

Gesamttonmineralgehalt auf. In den rasterelektronenmikroskopischen Untersuchungen der V102 (34,42-34,50m) zeigten sich Laminite mit lagenweise angeereicherten Coccolithen. Alle hier beschriebenen Analyseergebnisse charakterisieren den "Hauptblättertton" (GERARDI 1986, ECKHARDT & GERARDI 1991).

## 6. DISKUSSION DER ERGEBNISSE

Die stark schluffigen Ton- bis Tonmergelsteine des Barrême werden im Wesentlichen aus den Mineralen Muskovit/Illit, Quarz und Kaolinit aufgebaut. Sie sind durch starke Schwankungen des Karbonatgehalts gekennzeichnet. Dabei stellt sich heraus, daß Karbonate unterschiedlicher Genese auftreten. Deshalb können die Gesteinsschichten des Barrême aus mineralogischer Sicht nicht als homogener Gesteinskörper angesehen werden. Die teufenabhängigen Schwankungen des quantitativen Mineralbestands, sowie die unterschiedliche Genese der Karbonate, lassen für sich genommen keinen Schluß auf die Barriereigenschaften des Gesteins zu. Vielmehr besitzt das Gestein aus mineralogisch-sedimentologischer Sicht über den gesamten untersuchten Bereich Eigenschaften, wie sie Barrieregesteine haben sollten (ECKHARDT & GERARDI 1991).

Generell läßt sich eine Zunahme des Karbonatgehalts mit der Teufe beobachten, bei gleichzeitiger Abnahme des Tonmineral- und Quarzgehalts. Die höchsten erbohrten Gesteinsschichten des Barrême sind durch vergleichsweise niedrige Karbonatgehalte gekennzeichnet, es treten hier aber linsenartig tonig-schluffige Karbonate auf, die neben organogenem Calcit in Form von Mikrofossilien zum größten Teil aus chemisch gefälltten Karbonaten, Calcit und/oder Siderit, bestehen. Diese sekundären Karbonatkongregationen oder Linsen können sich schon bei der Sedimentation oder während der Diagenese aus zirkulierenden Lösungen gebildet haben. Kristallisationskeime in Form von Mikrofossilien oder bestimmte chemische Nuancen bestimmen dabei die lokale Ausscheidung der Karbonate.

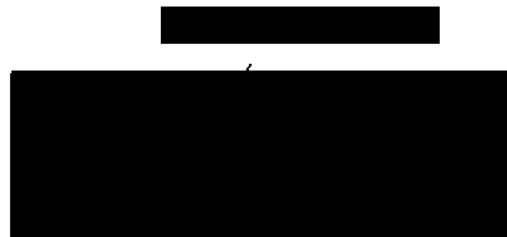
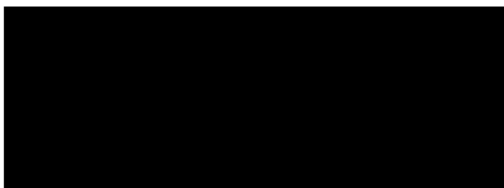
In den tieferen Bereichen des Barrême (ab ca. 18 bis 20m unter 541m-Sohle) treten dagegen mehr oder weniger ausgeprägte lagige Karbonatanreicherungen auf, deren Karbonatgehalt überwiegend deutlich organogen ist, d. h. an Nanno- und Mikrofossilien gebunden. In diesen Teufenbereich fällt auch der sogenannte "Hauptblättertton", ein durch lagig angeereicherte Coccolithen und deren Detritus feinlaminiertes Sediment.

Die z.T. stark mergeligen Tonsteine im untersten Bereich der untersuchten Schichten (ab ca. 46m unter 541m-Sohle) bilden möglicherweise bereits die Grenze zum liegenden Hauterive. Obwohl sekundäre Calcitbildungen hier nicht eindeutig nachzuweisen waren, spricht eine vermehrte Sideritbildung in diesem Bereich für eine Beteiligung chemischer Fällungen an der Karbonatbildung.

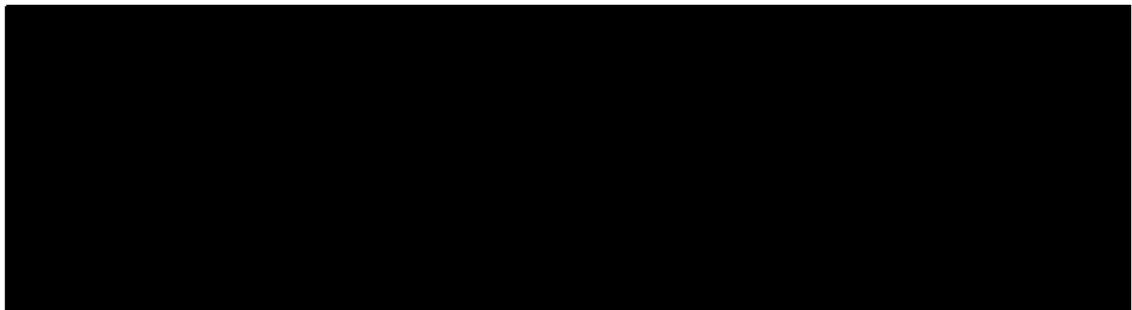
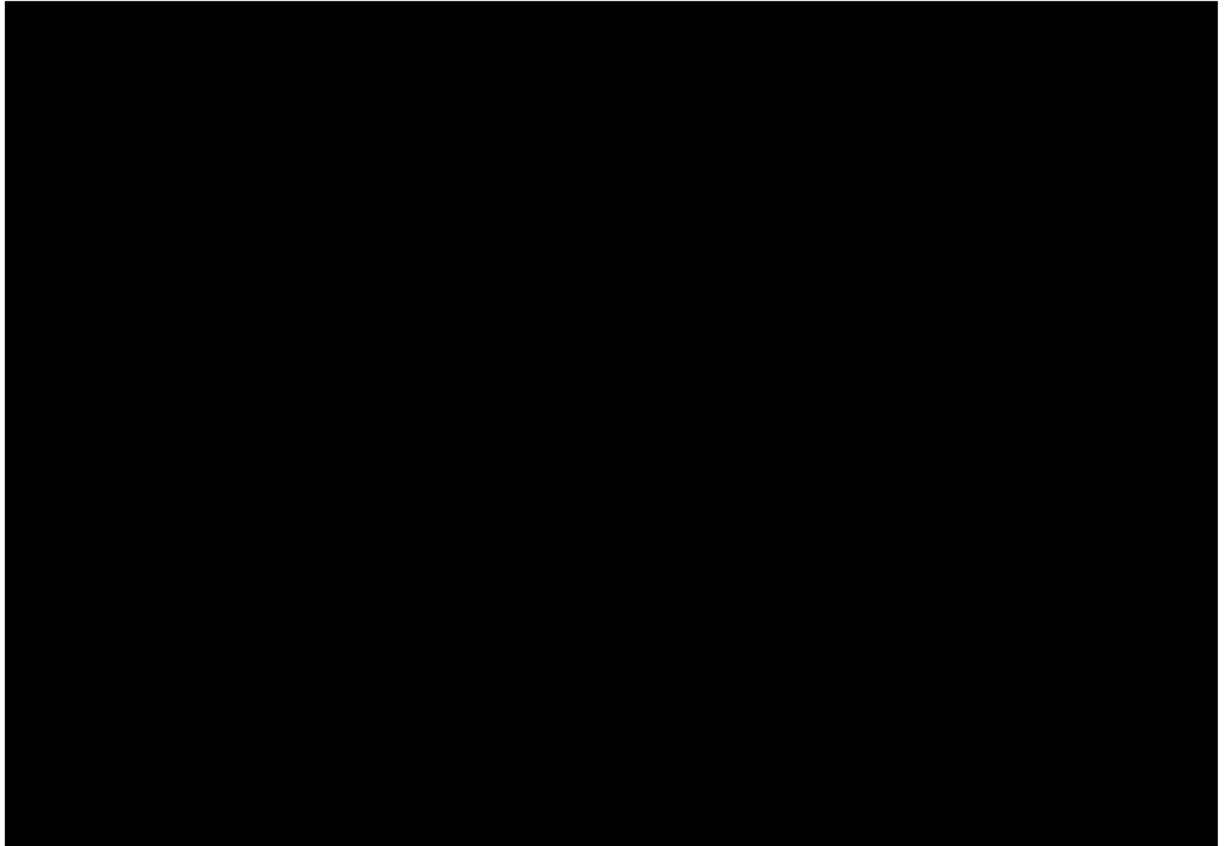
Neben Calcit und Siderit konnte nur Gips als sekundäre Neubildung nachgewiesen werden.

#### BUNDESANSTALT FÜR GEOWISSENSCHAFTEN UND ROHSTOFFE

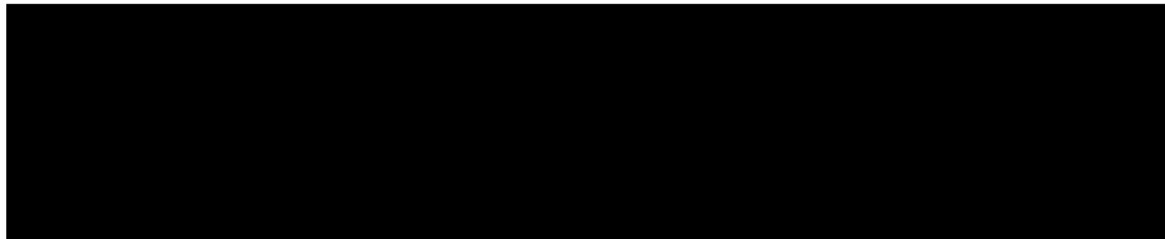
Im Auftrag

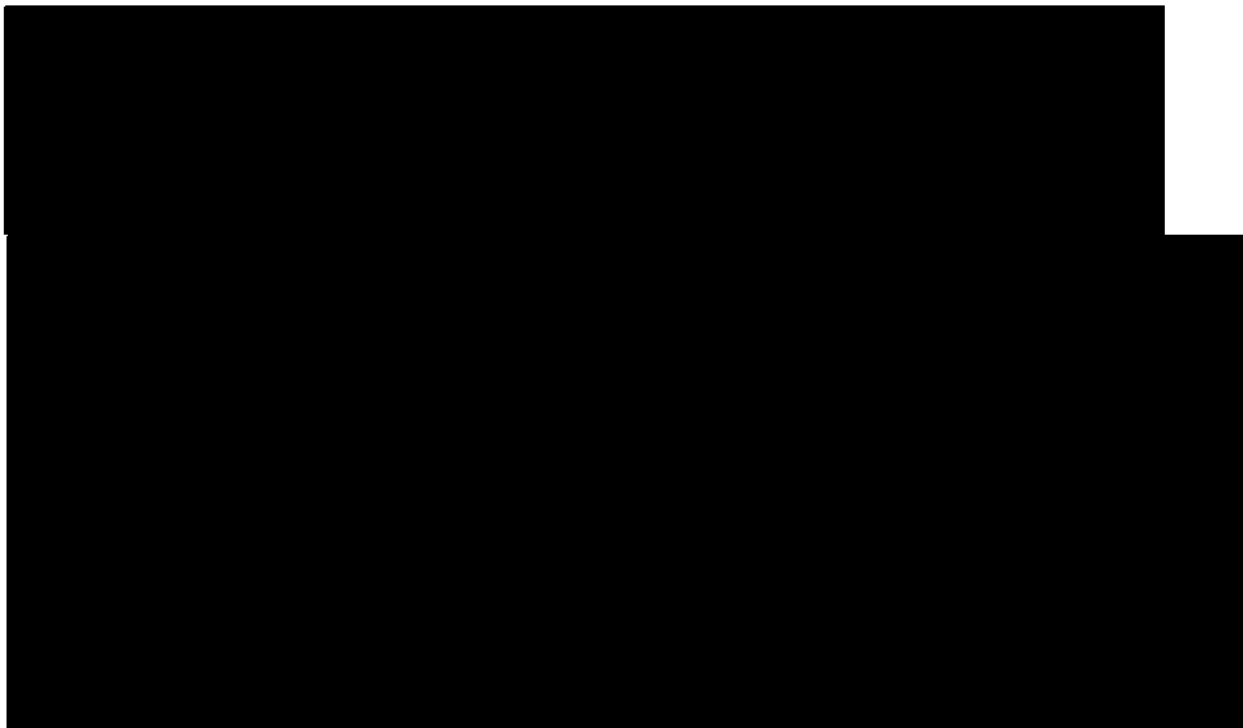


## 7. LITERATURVERZEICHNIS



GAIDA K.-H. et al. (1981):  
Lithologische, mineralogische und organisch-  
geochemische Untersuchungen an Tonsteinen und  
Tonmergelsteinen der Unterkreide Nordwest-  
deutschlands (unter besonderer Berücksichti-  
gung der Schwarzschiefer).  
Geol. Jb., Reihe A, H. 58, S. 15-47.





{

{

# ANLAGE 1

## Tabellen:

Wassergehalt, Karbonat und  
Korngrößenfraktionen

Schacht 2 / Bohrungen ausgehend von der Strecke 541 m Sohle / Mittelbarrême

Abt.-Nr.	Lab.-Nr.	Probenbezeichnung/ Bohrstrecke [m]	Karbonat [Gew.-%]	Wasser [Gew.-%]	Korngrößenverteilung in Gew.-% (Originalproben / mit Karbonat)				
					<2	2 - 6.3	6.3 - 20	20 - 63	> 63 $\mu$
41553	73437	Ort 541/1	5.6	5.3	48.5	19.5	22.2	9.6	0.3
41553	73438	Ort 541/2	3.0	6.1	52.5	16.7	22.5	7.9	0.4
41553	73439	Ort 541/3	4.6	6.5	52.8	17.6	21.6	6.7	1.3
41553	73440	Ort 541/4	4.2	6.4	43.3	23.4	22.3	10.4	0.6
41553	73441	Ort 541/5	8.5	5.7	52.1	18.1	17.8	10.5	1.4
41553	73442	Ort 541-Pyritlage	2.7	6.1	44.4	23.3	23.1	9.0	0.2
41552	73431	E <sub>4</sub> / 1.23 - 1.50	8.2	6.0	48.9	21.1	20.5	9.0	0.5
41552	73432	E <sub>4</sub> / 7.00 - 7.26	5.7	5.8	50.5	16.5	19.5	12.5	1.0
41552	73433	E <sub>4</sub> /13.70 - 14.00	11.8	5.4	48.5	19.2	19.5	11.9	0.8
41552	73428	E <sub>5</sub> / 0.70 - 0.95	10.3	5.5	53.1	17.2	19.4	9.1	1.2
41552	73429	E <sub>5</sub> / 6.80 - 7.00	15.0	5.1	48.7	16.2	17.5	15.9	1.7
41552	73430	E <sub>5</sub> /12.60 - 12.70	3.5	5.5	51.4	18.8	21.0	8.5	0.3
41552	73425	E <sub>6</sub> / 0.75 - 1.00	1.5	5.6	49.9	18.3	21.6	9.9	0.3
41661	73679	E <sub>6</sub> / 3.50 - 3.70	2.3	5.7	51.7	15.3	21.1	10.1	1.8
41552	73426	E <sub>6</sub> / 7.00 - 7.20	3.0	6.0	51.7	17.7	18.0	10.4	2.1
41661	73680	E <sub>6</sub> / 9.82 - 10.00	62.9	0.8	8.5	7.6	10.4	8.5	65.0
41552	73427	E <sub>6</sub> /13.00 - 13.28	1.9	6.7	56.2	18.0	18.6	5.9	1.3



## Schacht 2 / Bohrungen ausgehend von der Strecke 541 m Sohle / Mittelbarrême

Abt.-Nr.	Lab.-Nr.	Probenbezeichnung/ Bohrstrecke [m]	Karbonat [Gew.-%]	Wasser [Gew.-%]	Korngrößenverteilung in Gew.-% (Originalproben / mit Karbonat)				
					<2	2 - 6.3	6.3 - 20	20 - 63	> 63 $\mu$
41662	73592	V <sub>102</sub> / 0.89 - 0.96	10.2	-.-	46.2	23.2	23.2	6.9	0.5
41662	73593	V <sub>102</sub> / 2.38 - 2.48	3.6	-.-	49.0	20.1	22.2	7.9	0.8
41662	73594	V <sub>102</sub> / 2.90 - 2.98	6.1	-.-	46.8	19.6	21.8	11.3	0.5
41662	73595	V <sub>102</sub> / 4.50 - 4.60	6.1	-.-	47.9	18.2	22.1	11.4	0.5
41662	73596	V <sub>102</sub> / 5.05 - 5.13	3.4	-.-	43.5	23.2	23.5	9.4	0.3
41662	73597	V <sub>102</sub> / 6.00 - 6.06	11.6	-.-	53.4	17.8	18.8	8.9	1.2
41662	73598	V <sub>102</sub> / 8.99 - 9.03	3.8	-.-	45.8	18.5	19.7	15.7	0.3
41662	73599	V <sub>102</sub> /10.57 - 10.62	11.6	-.-	44.4	20.6	22.1	12.2	0.7
41662	73600	V <sub>102</sub> /11.50 - 11.61	12.1	-.-	44.9	17.3	21.2	15.8	0.8
41662	73601	V <sub>102</sub> /13.37 - 13.50	12.0	-.-	47.3	21.3	20.4	10.3	0.7
41662	73602	V <sub>102</sub> /14.48 - 14.56	5.4	-.-	39.3	21.3	25.5	13.6	0.3
41662	73603	V <sub>102</sub> /15.12 - 15.20	6.9	-.-	45.2	18.2	21.9	13.2	1.5
41662	73604	V <sub>102</sub> /16.15 - 16.26	11.7	-.-	39.7	22.9	24.9	12.0	0.4
41662	73605	V <sub>102</sub> /18.34 - 18.46	17.1	-.-	39.4	21.9	23.5	14.2	1.0
41662	73606	V <sub>102</sub> /19.36 - 19.44	13.1	-.-	47.7	16.9	21.2	13.0	1.1
41662	73607	V <sub>102</sub> /22.01 - 22.10	5.7	-.-	46.8	19.3	24.4	7.3	2.2
41662	73608	V <sub>102</sub> /22.40 - 22.58	11.8	-.-	43.4	19.9	24.5	11.0	1.2
41662	73609	V <sub>102</sub> /23.77 - 23.93	6.3	-.-	36.5	14.3	18.4	29.0	1.8
41662	73610	V <sub>102</sub> /25.05 - 25.19	9.5	-.-	36.4	20.5	27.0	15.8	0.4
41662	73611	V <sub>102</sub> /26.53 - 26.62	9.9	-.-	39.1	20.2	24.0	16.3	0.4
41662	73612	V <sub>102</sub> /27.16 - 27.40	11.0	-.-	38.0	19.6	27.5	14.5	0.4
41662	73613	V <sub>102</sub> /28.09 - 28.23	9.3	-.-	35.8	20.0	27.6	16.2	0.3
41662	73614	V <sub>102</sub> /31.10 - 31.26	23.2	-.-	39.6	22.3	25.6	11.8	0.7
41662	73615	V <sub>102</sub> /33.00 - 33.06	10.5	-.-	38.1	21.8	27.6	12.1	0.3
41662	73616	V <sub>102</sub> /33.06 - 33.28	11.1	-.-	39.2	22.0	28.2	10.3	0.3

Schacht 2 / Bohrungen ausgehend von der Strecke 541 m Sohle / Mittelbarrême

Abt.-Nr.	Lab.-Nr.	Probenbezeichnung/ Bohrstrecke [m]	Karbonat [Gew.-%]	Wasser [Gew.-%]	Korngrößenverteilung in Gew.-% (Originalproben / mit Karbonat)				
					<2	2 - 6.3	6.3 - 20	20 - 63	> 63 $\mu$
41662	73617	V <sub>102</sub> /34.42 - 34.50	19.6	-.-	36.2	23.6	31.4	8.4	0.4
41662	73618	V <sub>102</sub> /35.50 - 35.59	12.5	-.-	35.3	23.6	26.9	13.9	0.3
41662	73619	V <sub>102</sub> /37.31 - 37.38	7.2	-.-	48.0	20.2	22.8	7.9	1.1
41662	73620	V <sub>102</sub> /38.74 - 38.82	6.0	-.-	40.9	17.6	23.7	16.4	1.4
41662	73621	V <sub>102</sub> /40.24 - 40.31	17.4	-.-	41.2	20.7	28.2	8.7	1.2
41662	73622	V <sub>102</sub> /42.00 - 42.08	9.3	-.-	47.4	16.4	21.9	13.3	1.0
41662	73623	V <sub>102</sub> /43.00 - 43.09	5.2	-.-	45.0	18.9	23.2	11.7	1.2
41662	73624	V <sub>102</sub> /44.50 - 44.58	8.9	-.-	40.4	14.3	21.1	20.8	3.4
41662	73625	V <sub>102</sub> /45.19 - 45.47	13.6	-.-	44.6	15.5	20.3	18.6	1.1
41662	73626	V <sub>102</sub> /46.14 - 46.26	20.2	-.-	47.1	21.7	21.1	8.3	1.8
41662	73627	V <sub>102</sub> /47.61 - 47.85	18.1	-.-	46.2	18.3	21.8	12.9	0.8
41662	73628	V <sub>102</sub> /48.50 - 48.56	19.9	-.-	53.5	19.5	19.6	6.4	1.0

Schacht 2 / Bohrungen ausgehend von der Strecke 541 m Sohle / Mittelbarrême

Abt.-Nr.	Lab.-Nr.	Probenbezeichnung/ Bohrstrecke [m]	Karbonat [Gew.-%]	Wasser [Gew.-%]	Korngrößenverteilung in Gew.-% (Originalproben / mit Karbonat)				
					<2	2 - 6.3	6.3 - 20	20 - 63	> 63 $\mu$
41661	73646	V <sub>104</sub> / 2.72 - 2.90	4.0	6.4	45.9	19.5	22.7	11.6	0.3
41661	73647	V <sub>104</sub> / 3.52 - 3.69	10.0	5.8	47.1	17.5	19.9	13.1	2.4
41661	73648	V <sub>104</sub> / 6.61 - 6.80	3.8	5.8	43.9	20.9	23.4	11.3	0.4
41661	73649	V <sub>104</sub> / 9.19 - 9.42	7.2	5.4	47.4	14.8	20.6	16.3	0.9
41661	73650	V <sub>104</sub> /10.64 - 10.80	5.6	5.8	42.7	19.5	22.2	15.1	0.5
41661	73651	V <sub>104</sub> /12.07 - 12.27	79.1	0.7	4.9	4.3	15.0	4.9	70.9
41661	73652	V <sub>104</sub> /12.50 - 12.73	9.9	5.9	43.7	20.2	22.6	13.1	0.4
41661	73653	V <sub>104</sub> /14.72 - 14.87	6.2	5.5	42.7	21.5	26.7	8.5	0.5
41661	73654	V <sub>104</sub> /19.53 - 19.68	14.3	5.8	43.9	20.3	22.7	12.0	1.0
41661	73655	V <sub>104</sub> /20.52 - 20.68	24.0	5.8	41.3	23.9	22.0	12.4	0.4
41661	73656	V <sub>104</sub> /23.59 - 23.80	2.4	5.7	46.4	19.3	23.0	9.6	1.7
41661	73657	V <sub>104</sub> /24.54 - 24.75	18.4	5.7	37.8	21.7	25.3	14.9	0.3
41661	73658	V <sub>104</sub> /26.00 - 26.19	8.1	5.8	35.7	23.2	27.5	13.4	0.2
41661	73659	V <sub>104</sub> /28.75 - 28.90	10.4	5.7	37.6	19.7	27.9	14.5	0.2
41661	73660	V <sub>104</sub> /30.94 - 31.10	12.9	5.6	34.5	22.9	29.2	12.7	0.7
41661	73661	V <sub>104</sub> /33.39 - 33.59	13.0	6.1	38.8	23.0	27.2	10.7	0.2
41661	73662	V <sub>104</sub> /37.10 - 37.30	8.4	6.1	38.0	23.9	26.6	10.9	0.5
41661	73663	V <sub>104</sub> /38.80 - 39.04	5.6	5.5	45.9	24.8	22.0	6.8	0.6
41661	73664	V <sub>104</sub> /40.80 - 41.00	12.7	6.4	43.0	23.7	25.2	6.3	1.8
41661	73665	V <sub>104</sub> /43.05 - 43.37	7.5	4.3	48.7	18.6	23.0	8.9	0.8
41661	73666	V <sub>104</sub> /46.87 - 47.00	22.1	5.0	47.4	20.8	22.3	9.0	0.5
41661	73667	V <sub>104</sub> /48.69 - 48.87	18.0	4.5	47.6	18.0	20.8	12.6	1.1
41661	73668	V <sub>104</sub> /49.37 - 49.50	26.1	3.6	46.5	19.6	17.2	16.0	0.7
41661	73669	V <sub>104</sub> /50.23 - 50.36	21.1	5.0	51.7	21.4	18.1	8.4	0.4

## Schacht 2 / Bohrungen ausgehend von der Strecke 541 m Sohle / Mittelbarrême

Abt.-Nr.	Lab.-Nr.	Probenbezeichnung/ Bohrstrecke [m]	Karbonat [Gew.-%]	Wasser [Gew.-%]	Korngrößenverteilung in Gew.-% (Originalproben / mit Karbonat)				
					<2	2 - 6.3	6.3 - 20	20 - 63	> 63 $\mu$
41661	73670	F <sub>101</sub> / 1.72 - 1.90	14.7	5.6	50.6	17.2	20.4	10.6	1.3
41661	73671	F <sub>101</sub> / 2.75 - 2.92	1.6	6.1	54.8	15.7	20.5	7.8	1.2
41661	73672	F <sub>101</sub> / 4.11 - 4.26	2.0	6.3	51.5	18.7	20.0	8.5	1.3
41661	73673	F <sub>101</sub> / 5.90 - 6.12	7.0	6.3	49.0	21.3	21.4	7.2	1.1
41661	73674	F <sub>101</sub> / 7.40 - 7.65	48.3	2.0	18.9	7.7	9.5	33.0	31.0
41661	73675	F <sub>101</sub> / 8.42 - 8.56	2.0	6.1	55.7	16.9	17.9	8.3	1.2
41661	73676	F <sub>101</sub> / 9.86 - 10.08	2.2	6.2	54.2	20.6	18.4	5.5	1.4
41661	73677	F <sub>101</sub> /12.25 - 12.33	1.5	5.7	52.1	17.3	21.3	8.7	0.6
41661	73678	F <sub>101</sub> /13.22 - 13.39	1.5	5.4	56.7	17.2	19.7	6.2	0.2
41653	73824	F <sub>102</sub> / 1.88 - 2.00	12.2	.-	52.1	18.0	18.3	8.8	2.7
41653	73825	F <sub>102</sub> / 2.26 - 2.37	12.5	.-	50.7	18.0	18.2	11.0	2.1
41653	73826	F <sub>102</sub> / 4.73 - 4.82	2.5	.-	54.4	19.6	21.4	4.3	0.3
41653	73827	F <sub>102</sub> / 6.16 - 6.25	14.3	.-	50.5	17.6	21.3	10.2	0.5
41653	73828	F <sub>102</sub> / 7.40 - 7.59	12.5	.-	46.5	15.8	21.4	16.0	0.3
41653	73829	F <sub>102</sub> / 9.50 - 9.69	13.5	.-	52.2	21.5	17.6	5.1	3.6
41653	73830	F <sub>102</sub> /13.24 - 13.34	5.6	.-	49.1	21.7	19.4	7.9	2.0
41653	73831	F <sub>102</sub> /14.05 - 14.15	1.3	.-	54.4	15.8	18.5	10.7	0.5
41653	73858	F <sub>103</sub> / 2.45 - 2.60	5.7	.-	48.0	24.8	21.4	5.4	0.4

Schacht 2 / Bohrungen ausgehend von der Strecke 541 m Sohle / Mittelbarrême

Abt.-Nr.	Lab.-Nr.	Probenbezeichnung/ Bohrstrecke [m]	Karbonat [Gew.-%]	Wasser [Gew.-%]	Korngrößenverteilung in Gew.-% (Originalproben / mit Karbonat)				
					<2	2 - 6.3	6.3 - 20	20 - 63	> 63 $\mu$
41662	73629	W <sub>106</sub> / 2.30 - 2.80	8.6	-.-	52.4	17.8	19.8	8.7	1.4
41662	73630	W <sub>106</sub> / 5.00 - 5.50	1.7	-.-	50.3	17.4	19.4	10.8	2.0
41662	73631	W <sub>106</sub> /11.30 - 11.80	6.2	-.-	55.6	18.5	17.0	7.3	1.7
41653	73811	W <sub>107</sub> / 1.00 - 1.10	3.4	-.-	45.6	22.5	20.4	11.1	0.3
41653	73812	W <sub>107</sub> / 2.70 - 2.80	3.5	-.-	52.2	16.2	19.0	11.0	1.7
41653	73813	W <sub>107</sub> / 4.20 - 4.30	10.5	-.-	50.5	17.2	19.2	10.5	2.6
41825	74209	W <sub>107</sub> / 5.15 - 5.20	3.7	-.-	50.0	15.9	20.6	13.3	0.1
41825	74210	W <sub>107</sub> / 7.20 - 7.30	1.2	-.-	46.9	15.5	21.4	15.2	1.0
41825	74211	W <sub>107</sub> / 8.05 - 8.10	0.3	-.-	52.3	22.1	20.4	4.6	0.6
41825	74212	W <sub>107</sub> /10.20 - 10.30	2.5	-.-	53.2	22.4	17.4	5.9	1.2
41825	74213	W <sub>107</sub> /10.60 - 10.70	2.1	-.-	47.7	21.7	21.4	7.0	2.2
41825	74214	W <sub>107</sub> /12.15 - 12.22	4.5	-.-	52.9	17.5	19.5	9.4	0.7
41825	74215	W <sub>107</sub> /14.60 - 14.70	14.3	-.-	50.8	17.3	21.5	9.5	0.9
41825	74216	W <sub>107</sub> /16.01 - 16.05	8.1	-.-	54.2	19.3	20.5	5.9	0.1
41825	74217	W <sub>107</sub> /17.70 - 17.80	1.3	-.-	54.0	21.2	18.3	5.1	1.3
41825	74218	W <sub>107</sub> /18.50 - 18.60	15.4	-.-	55.6	20.0	17.2	6.3	0.9

Schacht 2 / Bohrungen ausgehend von der Strecke 541 m Sohle / Mittelbarrême

Abt.-Nr.	Lab.-Nr.	Probenbezeichnung/ Bohrstrecke [m]	Karbonat [Gew.-%]	Wasser [Gew.-%]	Korngrößenverteilung in Gew.-% (Originalproben / mit Karbonat)				
					<2	2 - 6.3	6.3 - 20	20 - 63	> 63 $\mu$
41653	73814	U <sub>101</sub> / 2.00 - 2.20	9.5	-.-	53.1	17.8	19.6	8.8	0.7
41653	73815	U <sub>101</sub> / 3.14 - 3.18	9.0	-.-	53.5	19.2	19.6	7.2	0.5
41653	73816	U <sub>101</sub> / 4.85 - 5.05	7.9	-.-	51.3	18.7	21.7	7.8	0.5
41653	73817	U <sub>101</sub> / 6.90 - 7.00	9.6	-.-	49.3	21.5	21.1	7.6	0.3
41653	73818	U <sub>101</sub> / 7.20 - 7.40	9.3	-.-	48.4	22.2	21.8	7.3	0.2
41653	73819	U <sub>102</sub> / 2.05 - 2.20	3.4	-.-	52.4	19.8	21.5	6.0	0.3
41653	73820	U <sub>102</sub> / 3.30 - 3.40	3.0	-.-	53.6	18.7	20.6	6.8	0.4
41653	73821	U <sub>102</sub> / 3.75 - 3.90	2.2	-.-	51.9	19.9	21.2	6.6	0.3
41653	73822	U <sub>102</sub> / 6.00 - 6.20	3.0	-.-	53.1	19.9	19.2	7.6	0.3
41653	73823	U <sub>102</sub> / 7.95 - 8.10	2.7	-.-	52.3	17.6	19.9	9.8	0.4
41653	73833	U <sub>103</sub> / 1.10 - 1.24	4.9	-.-	48.1	21.9	20.4	9.3	0.2
41653	73834	U <sub>103</sub> / 4.70 - 4.86	3.6	-.-	50.4	20.6	21.6	7.1	0.2
41653	73835	U <sub>103</sub> / 9.40 - 9.60	9.0	-.-	52.0	19.2	21.3	6.8	0.7
41653	73836	U <sub>103</sub> / 11.90 - 12.10	5.9	-.-	49.5	20.7	21.1	8.2	0.5
41653	73837	U <sub>104</sub> / 1.15 - 1.25	3.3	-.-	54.0	18.1	19.7	7.0	1.2
41653	73838	U <sub>104</sub> / 3.35 - 3.60	9.2	-.-	52.4	18.6	19.4	8.9	0.7
41653	73839	U <sub>104</sub> / 3.95 - 4.15	11.0	-.-	52.1	18.6	20.8	7.6	0.8
41653	73840	U <sub>104</sub> / 5.45 - 5.70	8.6	-.-	47.6	23.3	21.8	7.1	0.3
41653	73841	U <sub>104</sub> / 6.05 - 6.20	10.3	-.-	52.7	17.3	21.3	8.0	0.6
41653	73842	U <sub>104</sub> / 8.55 - 8.70	11.3	-.-	50.2	24.0	20.1	5.2	0.4
41653	73843	U <sub>104</sub> / 10.55 - 10.65	5.8	-.-	48.7	22.5	22.0	6.7	0.2
41653	73844	U <sub>104</sub> / 11.45 - 11.60	5.7	-.-	43.0	26.2	23.6	7.0	0.2

Schacht 2 / Bohrungen ausgehend von der Strecke 541 m Sohle / Mittelbarrême

Abt.-Nr.	Lab.-Nr.	Probenbezeichnung/ Bohrstrecke [m]	Karbonat [Gew.-%]	Wasser [Gew.-%]	Korngrößenverteilung in Gew.-% (Originalproben / mit Karbonat)				
					<2	2 - 6.3	6.3 - 20	20 - 63	> 63 $\mu$
41653	73845	U <sub>105</sub> / 1.00 - 1.15	5.5	-.-	48.9	22.6	19.9	8.4	0.2
41653	73846	U <sub>105</sub> / 2.00 - 2.10	5.6	-.-	50.4	14.5	20.4	13.1	1.6
41653	73847	U <sub>105</sub> / 4.20 - 4.30	7.3	-.-	50.9	18.4	20.1	9.7	0.8
41653	73848	U <sub>105</sub> / 5.00 - 5.15	8.3	-.-	44.3	20.8	25.3	9.1	0.5
41653	73849	U <sub>105</sub> / 6.80 - 6.95	3.6	-.-	46.1	17.0	20.1	16.3	0.5
41653	73850	U <sub>106</sub> / 1.70 - 1.80	4.0	-.-	47.8	18.2	22.3	11.2	0.4
41653	73851	U <sub>106</sub> / 2.30 - 2.45	9.2	-.-	49.7	15.9	19.4	13.7	1.4
41653	73852	U <sub>106</sub> / 3.40 - 3.55	4.5	-.-	48.9	20.8	23.8	6.3	0.2
41653	73853	U <sub>106</sub> / 6.50 - 6.65	6.9	-.-	51.5	18.4	20.9	7.9	1.3
41825	74192	U <sub>107</sub> / 1.50 - 1.60	2.9	6.0	53.7	19.1	18.9	7.9	0.5
41825	74193	U <sub>107</sub> / 3.50 - 3.60	3.5	5.7	52.9	17.7	21.6	7.0	0.8
41825	74194	U <sub>107</sub> / 4.30 - 4.60	7.8	6.2	49.2	20.0	21.6	8.7	0.5
41825	74195	U <sub>107</sub> / 5.70 - 5.80	9.0	5.5	51.9	17.7	20.0	9.6	0.8
41825	74196	U <sub>107</sub> / 7.00 - 7.15	9.0	6.2	51.8	19.2	23.1	5.6	0.4
41825	74188	U <sub>108</sub> / 2.30 - 2.45	29.6	3.9	41.9	19.9	15.7	21.1	1.4
41825	74189	U <sub>108</sub> / 4.10 - 4.40	17.6	4.4	45.0	20.5	17.6	15.9	1.0
41825	74190	U <sub>108</sub> / 5.30 - 5.50	3.8	6.3	49.6	22.0	21.1	6.7	0.7
41825	74191	U <sub>108</sub> / 6.90 - 7.00	1.3	5.9	52.2	19.0	20.1	8.1	0.5
41653	73854	U <sub>110</sub> / 1.20 - 1.30	3.4	-.-	51.2	15.8	21.9	10.2	0.9
41653	73855	U <sub>110</sub> / 2.20 - 2.50	3.8	-.-	52.0	18.1	19.7	9.2	1.0
41653	73856	U <sub>110</sub> / 3.50 - 3.60	2.8	-.-	54.5	14.8	18.6	11.0	1.0
41653	73857	U <sub>110</sub> / 5.90 - 6.20	12.0	-.-	49.0	20.0	20.1	9.9	1.0

Schacht 2 / Bohrungen ausgehend von der Strecke 541 m Sohle / Mittelbarrême

Abt.-Nr.	Lab.-Nr.	Probenbezeichnung/ Bohrstrecke [m]	Karbonat [Gew.-%]	Wasser [Gew.-%]	Korngrößenverteilung in Gew.-% (Originalproben / mit Karbonat)				
					<2	2 - 6.3	6.3 - 20	20 - 63	> 63 $\mu$
41825	74203	U <sub>103A</sub> 0.50 - 0.65	11.9	6.3	50.6	20.7	20.3	7.7	0.7
41825	74204	U <sub>103A</sub> 3.80 - 4.00	6.2	6.4	45.5	23.6	22.0	8.8	0.2
41825	74205	U <sub>103A</sub> 4.70 - 4.80	5.8	6.4	49.6	22.4	21.3	6.7	0.1
41825	74206	U <sub>103A</sub> 6.80 - 7.00	5.7	6.6	44.6	22.9	22.4	9.8	0.3
41825	74207	U <sub>103A</sub> 8.80 - 9.00	3.3	6.6	51.3	19.6	20.1	8.6	0.3
41825	74208	U <sub>103A</sub> 10.00 - 10.20	6.9	5.8	49.8	17.6	21.3	10.8	0.5
41825	74197	U <sub>104A</sub> 1.50 - 1.60	5.2	6.3	43.5	23.7	23.3	9.3	0.2
41825	74198	U <sub>104A</sub> 4.90 - 5.00	9.0	6.5	51.0	20.4	21.3	6.8	0.5
41825	74199	U <sub>104A</sub> 6.00 - 6.10	8.3	6.4	47.1	23.3	20.9	8.4	0.3
41825	74200	U <sub>104A</sub> 7.50 - 7.70	13.3	6.7	52.3	22.1	19.6	5.4	0.5
41825	74201	U <sub>104A</sub> 9.00 - 9.20	12.9	6.3	49.0	23.0	22.1	5.4	0.5
41825	74202	U <sub>104A</sub> 11.30 - 11.40	5.7	6.3	50.1	21.9	21.8	6.0	0.3



Schacht 2 / Bohrungen ausgehend von der Strecke 541 m Sohle / Mittelbarrême

Abt.-Nr.	Lab.-Nr.	Probenbezeichnung/ Bohrstrecke [m]	Karbonat [Gew.-%]	Wasser [Gew.-%]	Korngrößenverteilung in Gew.-% (Originalproben / mit Karbonat)				
					<2	2 - 6.3	6.3 - 20	20 - 63	> 63 $\mu$
41860	74312	V <sub>106</sub> 0.00 - 1.00	-.-	-.-	47.5	14.8	17.8	14.5	5.5
41860	74313	V <sub>106</sub> 1.00 - 2.00	-.-	-.-	56.1	17.5	18.2	7.4	0.8
41860	74314	V <sub>106</sub> 2.00 - 3.00	-.-	-.-	52.2	18.4	19.4	8.5	1.5
41860	74315	V <sub>106</sub> 3.00 - 4.00	-.-	-.-	53.2	16.1	18.8	10.3	1.6
41860	74316	V <sub>106</sub> 4.00 - 5.00	-.-	-.-	53.7	13.9	19.4	12.1	0.9
41860	74317	V <sub>106</sub> 5.00 - 6.00	-.-	-.-	56.2	14.5	19.2	9.2	0.9
41860	74318	V <sub>106</sub> 6.00 - 7.00	-.-	-.-	54.7	15.8	18.8	10.1	0.6
41860	74319	V <sub>106</sub> 7.00 - 8.00	-.-	-.-	52.9	17.1	19.2	10.1	0.7
41860	74320	V <sub>106</sub> 8.00 - 9.00	-.-	-.-	54.6	15.6	18.3	10.7	0.8
41860	74321	V <sub>106</sub> 9.00 - 10.00	-.-	-.-	55.2	15.1	20.3	9.2	0.2
41860	74322	V <sub>106</sub> 10.00 - 11.00	-.-	-.-	50.5	14.9	18.6	14.9	1.2
41860	74323	V <sub>106</sub> 11.00 - 12.00	-.-	-.-	47.9	18.5	19.1	13.7	0.8
41860	74324	V <sub>106</sub> 12.00 - 13.00	-.-	-.-	49.6	16.9	17.6	15.0	0.9
41860	74325	V <sub>106</sub> 13.00 - 14.00	-.-	-.-	51.7	17.9	17.4	12.2	0.7
41860	74326	V <sub>106</sub> 14.00 - 15.00	-.-	-.-	49.7	20.9	17.6	11.4	0.4
41860	74327	V <sub>106</sub> 15.00 - 16.00	-.-	-.-	48.8	17.6	20.1	12.2	1.4
41860	74328	V <sub>106</sub> 16.00 - 17.00	-.-	-.-	50.9	17.1	21.0	10.9	0.2
41860	74329	V <sub>106</sub> 17.00 - 18.00	-.-	-.-	48.0	18.1	23.1	10.6	0.2
41860	74330	V <sub>106</sub> 18.00 - 19.00	-.-	-.-	50.6	18.8	21.4	9.1	0.2
41860	74331	V <sub>106</sub> 19.00 - 20.00	-.-	-.-	49.2	17.8	20.9	11.8	0.3
41860	74332	V <sub>106</sub> 20.00 - 21.00	-.-	-.-	45.4	18.4	20.7	13.6	1.8
41860	74333	V <sub>106</sub> 21.00 - 22.00	-.-	-.-	47.2	19.4	21.1	11.9	0.4
41860	74334	V <sub>106</sub> 22.00 - 23.00	-.-	-.-	46.4	21.6	20.5	11.0	0.5
41860	74335	V <sub>106</sub> 23.00 - 24.00	-.-	-.-	47.4	18.2	22.2	11.6	0.6
41860	74336	V <sub>106</sub> 24.00 - 25.00	-.-	-.-	45.7	17.3	20.3	15.7	1.1

## Schacht 2 / Bohrungen ausgehend von der Strecke 541 m Sohle / Mittelbarrême

Abt.-Nr.	Lab.-Nr.	Probenbezeichnung/ Bohrstrecke [m]	Karbonat [Gew.-%]	Wasser [Gew.-%]	Korngrößenverteilung in Gew.-% (Originalproben / mit Karbonat)				
					<2	2 - 6.3	6.3 - 20	20 - 63	> 63 $\mu$
41860	74337	V <sub>106</sub> 25.00 - 26.00	-.-	-.-	41.6	19.2	22.1	16.8	0.4
41860	74338	V <sub>106</sub> 26.00 - 27.00	-.-	-.-	42.9	19.9	22.0	14.9	0.3
41860	74339	V <sub>106</sub> 27.00 - 28.00	-.-	-.-	45.8	19.7	23.2	11.0	0.2
41860	74340	V <sub>106</sub> 28.00 - 29.00	-.-	-.-	42.9	20.1	23.0	13.7	0.3
41860	74341	V <sub>106</sub> 29.00 - 30.00	-.-	-.-	41.4	22.0	22.9	13.5	0.2
41860	74342	V <sub>106</sub> 30.00 - 31.00	-.-	-.-	42.1	22.0	22.0	13.4	0.4
41860	74343	V <sub>106</sub> 31.00 - 32.00	-.-	-.-	43.3	22.8	20.4	13.0	0.6
41860	74344	V <sub>106</sub> 32.00 - 33.00	-.-	-.-	43.6	20.1	23.0	13.0	0.3
41860	74345	V <sub>106</sub> 33.00 - 34.00	-.-	-.-	42.6	19.8	24.9	12.5	0.2
41860	74346	V <sub>106</sub> 34.00 - 35.00	-.-	-.-	44.4	22.4	23.3	9.8	0.1
41860	74347	V <sub>106</sub> 35.00 - 36.00	-.-	-.-	43.1	21.8	23.6	11.4	0.2
41860	74348	V <sub>106</sub> 36.00 - 37.00	-.-	-.-	43.6	21.2	23.2	11.9	0.1
41860	74349	V <sub>106</sub> 37.00 - 38.00	-.-	-.-	45.1	19.9	24.0	10.7	0.2
41860	74350	V <sub>106</sub> 38.00 - 39.00	-.-	-.-	47.1	20.2	21.5	10.9	0.3
41860	74351	V <sub>106</sub> 39.00 - 40.00	-.-	-.-	50.5	18.9	22.0	8.2	0.4
41860	74352	V <sub>106</sub> 40.00 - 41.00	-.-	-.-	50.4	18.5	21.9	8.8	0.5
41860	74353	V <sub>106</sub> 41.00 - 42.00	-.-	-.-	46.5	18.0	22.9	11.8	0.8
41860	74354	V <sub>106</sub> 42.00 - 43.00	-.-	-.-	45.1	15.6	22.3	16.3	0.7
41860	74355	V <sub>106</sub> 43.00 - 44.00	-.-	-.-	50.7	15.7	22.2	10.9	0.5
41860	74356	V <sub>106</sub> 44.00 - 45.00	-.-	-.-	49.2	16.6	20.0	13.5	0.7
41860	74357	V <sub>106</sub> 45.00 - 46.00	-.-	-.-	45.8	15.4	23.6	13.8	1.5
41860	74358	V <sub>106</sub> 46.00 - 47.00	-.-	-.-	48.3	15.1	23.1	13.2	0.3
41860	74359	V <sub>106</sub> 47.00 - 48.00	-.-	-.-	48.7	18.0	20.7	9.2	3.3
41860	74360	V <sub>106</sub> 48.00 - 49.00	-.-	-.-	54.4	16.9	19.6	8.2	1.0
41860	74361	V <sub>106</sub> 49.00 - 50.00	-.-	-.-	53.3	16.5	19.3	9.5	1.5

Schacht 2 / Bohrungen ausgehend von der Strecke 541 m Sohle / Mittelbarrême

Abt.-Nr.	Lab.-Nr.	Probenbezeichnung/ Bohrstrecke [m]	Karbonat [Gew.-%]	Wasser [Gew.-%]	Korngrößenverteilung in Gew.-% (Originalproben / mit Karbonat)				
					<2	2 - 6.3	6.3 - 20	20 - 63	> 63 $\mu$
41860	74362	V <sub>106</sub> 50.00 - 51.00	-.-	-.-	53.7	16.9	19.6	8.7	1.1
41860	74363	V <sub>106</sub> 51.00 - 52.00	-.-	-.-	43.7	17.8	17.3	8.6	12.5
41860	74364	V <sub>106</sub> 52.00 - 53.00	-.-	-.-	47.0	18.1	18.9	9.0	7.2
41860	74367	V <sub>106</sub> 53.00 - 54.00	-.-	-.-	51.4	17.2	19.2	11.2	1.1
41860	74365	V <sub>106</sub> 54.00 - 55.00	-.-	-.-	50.4	18.3	17.6	9.9	3.8
41860	74366	V <sub>106</sub> 55.00 - 55.50	-.-	-.-	50.5	19.3	17.1	10.0	3.2

# ANLAGE 2

## Tabellen:

Qualitativer und quantitativer  
Mineralbestand

Zusammenfassung der Ergebnisse aus der röntgenographischen Phasenanalyse

Schacht 2 / Bohrungen ausgehend von der Strecke 541 m Sohle / Mittelbarrême

S-Nr.	Probenbezeichnung/ Bohrstrecke in [m]	--HK--	--NK--	--NK bis Sp--	-----Sp-----
73437	Ort 541-1/-.-	MI, Q	K	Chl	Cc, Py, Sid, Do, SI, Gi, aK, F, Ru?, (Ha)
73438	Ort 541-2/-.-	MI, Q	K		Cc, Py, Sid, Do, SI, Chl, Gi, aK, F, Ru?, (Ha)
73439	Ort 541-3/-.-	MI, Q	K		Cc, Py, Sid, Do, SI, Chl, Gi?, aK, F, Ru?, (Ha)
73440	Ort 541-4/-.-	MI, Q	K	Chl, Py	Cc, Sid, Do, SI, Gi, aK, F, Ru?, (Ha)
73441	Ort 541-5/-.-	MI, Q	K	Cc	Py, Sid, Do, SI, Chl, Gi, aK, F, Ru?, (Ha)
73442	Ort 541-Pyritlage/-.-	MI, Q	K		Cc, Py, Sid, Do, SI, Chl, Gi?, aK, F, Ru?, (Ha)
73431	E <sub>4</sub> / 1.23 - 1.50	MI, Q	K	Cc	Py, Sid, Do, SI, Chl, Gi, aK, F, Ru?, (Ha)
73432	E <sub>4</sub> / 7.00 - 7.26	MI, Q	K		Cc, Py, Sid, Do, SI, Chl, Gi?, aK, F, Ru?, (Ha)
73433	E <sub>4</sub> /13.70 - 14.00	MI, Q	K, Cc		Py, Sid, Do, SI, Chl, Gi?, aK, F, Ru?, (Ha)
73428	E <sub>5</sub> / 0.70 - 0.95	MI, Q	K	Cc	Py, Sid, Do, SI, Chl, Gi, aK, F, Ru?, (Ha)
73429	E <sub>5</sub> / 6.80 - 7.00	MI, Q	K, Cc	Sid	Py, Do, SI, Chl, Gi, aK, F, Ru?, (Ha)
73430	E <sub>5</sub> /12.60 - 12.70	MI, Q	K		Cc, Py, Sid, Do, SI, Chl, Gi, aK, F, Ru?, (Ha)
73425	E <sub>6</sub> / 0.75 - 1.00	MI, Q	K		Cc, Py, Sid, Do, SI, Chl, Gi, aK, F, Ru?, (Ha)
73679	E <sub>6</sub> / 3.50 - 3.70	MI, Q	K	Chl	Cc, Py, Sid, Do, SI, Gi?, aK, F, Ru?, (Ha)
73426	E <sub>6</sub> / 7.00 - 7.20	MI, Q	K		Cc, Py, Sid, Do, SI, Chl, Gi, aK, F, Ru?, (Ha)
73680	E <sub>6</sub> / 9.82 - 10.00	Cc	Q, Sid	MI, K	Py, Do, SI, Chl?, Gi?, aK, F, Ru?, (Ha)
73427	E <sub>6</sub> /13.00 - 13.28	MI, Q	K		Cc, Py, Sid, Do, SI, Chl, Gi?, aK, F, Ru?, (Ha)

Legende:

Q - Quarz	SI - Smektit-Illit
MI - Muskovit-Illit	Gi - Gips
K - Kaolinit	F - Feldspat
Cc - Calcit	Ru - Rutil
Chl - Chlorit	Ha - Halit
Do - Dolomit	aK - röntgenamorphe Komponente
Sid - Siderit	? - Mineralphase nicht eindeutig nachgewiesen
Py - Pyrit	() - durch Trocknung entstandene Mineralphase ?
Ap - Apatit	

Schacht 2 / Bohrungen ausgehend von der Strecke 541 m Sohle / Mittelbarrême

S-Nr.	Probenbezeichnung/ Bohrstrecke in [m]	--HK--	--NK--	--NK bis Sp--	-----Sp-----
73592	V <sub>102</sub> / 0.89 - 0.96	MI, Q	K	Cc	Py, Sid, Do, SI, Chl, Gi, aK, F?, Ru?, (Ha)
73593	V <sub>102</sub> / 2.38 - 2.48	MI, Q	K		Cc, Py, Sid, Do, SI, Chl, Gi?, aK, F?, Ru?, (Ha)
73594	V <sub>102</sub> / 2.90 - 2.98	MI, Q	K		Cc, Py, Sid, Do, SI, Chl, Gi?, aK, F?, Ru?, (Ha)
73595	V <sub>102</sub> / 4.50 - 4.60	MI, Q	K	Cc	Py, Sid, Do, SI, Chl, Gi, aK, F?, Ru?, (Ha)
73596	V <sub>102</sub> / 5.05 - 5.13	MI, Q	K		Cc, Py, Sid, Do, SI, Chl, Gi?, aK, F?, Ru?, (Ha)
73597	V <sub>102</sub> / 6.00 - 6.06	MI, Q	K	Cc	Py, Sid, Do, SI, Chl, Gi?, aK, F?, Ru?, (Ha)
73598	V <sub>102</sub> / 8.99 - 9.03	MI, Q	K		Cc, Py, Sid, Do, SI, Chl, Gi, aK, F?, Ru?, (Ha)
73599	V <sub>102</sub> /10.57 - 10.62	MI, Q	K	Cc	Py, Sid, Do, SI, Chl, Gi, aK, F?, Ru?, (Ha)
73600	V <sub>102</sub> /11.50 - 11.61	MI, Q	K	Cc	Py, Sid, Do, SI, Chl, Gi?, aK, F?, Ru?, (Ha)
73601	V <sub>102</sub> /13.37 - 13.50	MI, Q	K	Cc	Py, Sid, Do, SI, Chl, Gi?, aK, F?, Ru?, (Ha)
73602	V <sub>102</sub> /14.48 - 14.56	MI, Q	K		Cc, Py, Sid, Do, SI, Chl, Gi?, aK, F?, Ru?, (Ha)
73603	V <sub>102</sub> /15.12 - 15.20	MI, Q	K	Cc	Py, Sid, Do, SI, Chl, Gi?, aK, F?, Ru?, (Ha)
73604	V <sub>102</sub> /16.15 - 16.26	MI, Q	K	Cc, Py	Sid, Do, SI, Chl, Gi?, aK, F?, Ru?, (Ha)
73605	V <sub>102</sub> /18.34 - 18.46	MI, Q	K, Cc	Py	Sid, Do, SI, Chl, Gi?, aK, F?, Ru?, (Ha)
73606	V <sub>102</sub> /19.36 - 19.44	MI, Q	K, Cc		Py, Sid, Do, SI, Chl, Gi?, aK, F?, Ru?, (Ha)
73607	V <sub>102</sub> /22.01 - 22.10	MI, Q	K		Cc, Py, Sid, Do, SI, Chl, Gi?, aK, F?, Ru?, (Ha)
73608	V <sub>102</sub> /22.40 - 22.58	MI, Q	K	Cc, Py	Sid, Do, SI, Chl, Gi?, aK, F?, Ru?, (Ha)
73609	V <sub>102</sub> /23.77 - 23.93	MI, Q	K	Cc	Py, Sid, Do, SI, Chl, Gi?, aK, F?, Ru?, (Ha)
73610	V <sub>102</sub> /25.05 - 25.19	MI, Q	K	Cc	Py, Sid, Do, SI, Chl, Gi?, aK, F?, Ru?, (Ha)
73611	V <sub>102</sub> /26.53 - 26.62	MI, Q	K	Cc	Py, Sid, Do, SI, Chl, Gi?, aK, F?, Ru?, (Ha)
73612	V <sub>102</sub> /27.16 - 27.40	MI, Q	K	Cc, Py	Sid, Do, SI, Chl, Gi?, aK, F?, Ru?, (Ha)
73613	V <sub>102</sub> /28.09 - 28.23	MI, Q	K	Cc	Py, Sid, Do, SI, Chl, Gi?, aK, F?, Ru?, (Ha)
73614	V <sub>102</sub> /31.10 - 31.26	MI, Cc	Q, K		Py, Sid, Do, SI, Chl, Gi?, aK, F?, Ru?, (Ha)
73615	V <sub>102</sub> /33.00 - 33.06	MI, Q	K	Cc	Py, Sid, Do, SI, Chl, Gi?, aK, F?, Ru?, (Ha)
73616	V <sub>102</sub> /33.06 - 33.28	MI, Q	K	Cc, Py	Sid, Do, SI, Chl, Gi?, aK, F?, Ru?, (Ha)

## Schacht 2 / Bohrungen ausgehend von der Strecke 541 m Sohle / Mittelbarrême

S-Nr.	Probenbezeichnung/ Bohrstrecke in [m]	--HK--	--NK--	--NK bis Sp--	-----Sp-----
73617	V <sub>102</sub> /34.42 - 34.50	MI	Q, K, Cc		Py, Sid, Do, SI, Chl, Gi?, aK, F, Ru?, (Ha)
73618	V <sub>102</sub> /35.50 - 35.59	MI, Q	K	Cc, Py	Sid, Do, SI, Chl, Gi?, aK, F, Ru?, (Ha)
73619	V <sub>102</sub> /37.31 - 37.38	MI, Q	K	Cc, SI	Py, Sid, Do, Chl, Gi?, aK, F, Ru?, (Ha)
73620	V <sub>102</sub> /38.74 - 38.82	MI, Q	K	Py	Cc, Sid, Do, SI, Chl, Gi?, aK, F, Ru?, (Ha)
73621	V <sub>102</sub> /40.24 - 40.31	MI	Q, K, Sid, Cc	Py	Do, SI, Chl, Gi?, aK, F, Ru?, Ap?, (Ha)
73622	V <sub>102</sub> /42.00 - 42.08	MI, Q	K	Cc	Py, Sid, Do, SI, Chl, Gi?, aK, F, Ru?, (Ha)
73623	V <sub>102</sub> /43.00 - 43.09	MI, Q	K	Sid	Cc, Py, Do, SI, Chl, Gi?, aK, F, Ru?, (Ha)
73624	V <sub>102</sub> /44.50 - 44.58	MI, Q	K	Cc	Py, Sid, Do, SI, Chl, Gi?, aK, F, Ru?, (Ha)
73625	V <sub>102</sub> /45.19 - 45.47	MI, Q	K	Cc	Py, Sid, Do, SI, Chl, Gi?, aK, F, Ru?, (Ha)
73626	V <sub>102</sub> /46.14 - 46.26	MI, Q	K, Cc		Py, Sid, Do, SI, Chl, Gi?, aK, F, Ru?, (Ha)
73627	V <sub>102</sub> /47.61 - 47.85	MI, Q	K, Cc		Py, Sid, Do, SI, Chl, Gi?, aK, F, Ru?, (Ha)
73628	V <sub>102</sub> /48.50 - 48.56	MI, Q	K, Cc		Py, Do, SI, Chl, Gi?, aK, F, Ru?, (Ha)

Schacht 2 / Bohrungen ausgehend von der Strecke 541 m Sohle / Mittelbarrême

S-Nr.	Probenbezeichnung/ Bohrstrecke in [m]	---HK---	----NK----	---NK bis Sp---	-----Sp-----
73646	V <sub>104</sub> / 2.72 - 2.90	MI, Q	K		Cc, Py, Sid, Do, SI, Chl, Gi?, aK, F, Ru?, (Ha)
73647	V <sub>104</sub> / 3.52 - 3.69	MI, Q	K	Cc	Py, Sid, Do, SI, Chl, Gi?, aK, F, Ru?, (Ha)
73648	V <sub>104</sub> / 6.61 - 6.80	MI, Q	K		Cc, Py, Sid, Do, SI, Chl, Gi?, aK, F, Ru?, (Ha)
73649	V <sub>104</sub> / 9.19 - 9.42	MI, Q	K	Cc	Py, Sid, Do, SI, Chl, Gi?, aK, F, Ru?, (Ha)
73650	V <sub>104</sub> /10.64 - 10.80	MI, Q	K	Cc, Py	Sid, Do, SI, Chl, Gi?, aK, F, Ru?, (Ha)
73651	V <sub>104</sub> /12.07 - 12.27	Cc	MI, Q, K		Py, Sid, Do, SI, Gi?, aK, (Ha)
73652	V <sub>104</sub> /12.50 - 12.73	MI, Q	K	Cc	Py, Sid, Do, SI, Chl, Gi, aK, F, Ru?, (Ha)
73653	V <sub>104</sub> /14.72 - 14.87	MI, Q	K		Cc, Py, Sid, Do, SI, Chl, Gi, aK, F, Ru?, (Ha)
73654	V <sub>104</sub> /19.53 - 19.68	MI, Q	K, Cc		Py, Sid, Do, SI, Chl, Gi?, aK, F, Ru?, (Ha)
73655	V <sub>104</sub> /20.52 - 20.68	MI, Cc	Q, K		Py, Sid, Do, SI, Chl, Gi, aK, F, Ru?, (Ha)
73656	V <sub>104</sub> /23.59 - 23.80	MI, Q	K		Cc, Py, Sid, Do, SI, Chl, Gi?, aK, F, Ru?, (Ha)
73657	V <sub>104</sub> /24.54 - 24.75	MI, Q	K, Cc		Py, Sid, Do, SI, Chl, Gi, aK, F, Ru?, (Ha)
73658	V <sub>104</sub> /26.00 - 26.19	MI, Q	K	Cc	Py, Sid, Do, SI, Chl, Gi, aK, F, Ru?, (Ha)
73659	V <sub>104</sub> /28.75 - 28.90	MI, Q	K	Cc	Py, Sid, Do, SI, Chl, Gi, aK, F, Ru?, (Ha)
73660	V <sub>104</sub> /30.94 - 31.10	MI, Q	K	Cc	Py, Sid, Do, SI, Chl, Gi, aK, F, Ru?, (Ha)
73661	V <sub>104</sub> /33.39 - 33.59	MI, Q	K	Cc	Py, Sid, Do, SI, Chl, Gi, aK, F, Ru?, (Ha)
73662	V <sub>104</sub> /37.10 - 37.30	MI, Q	K	Cc	Py, Sid, Do, SI, Chl, Gi, aK, F, Ru?, (Ha)
73663	V <sub>104</sub> /38.80 - 39.04	MI, Q	K		Cc, Py, Sid, Do, SI, Chl, Gi, aK, F, Ru?, (Ha)
73664	V <sub>104</sub> /40.80 - 41.00	MI	Q, K	Cc, Py, Sid	Do, SI, Chl, Gi, aK, F, Ru?, (Ha)
73665	V <sub>104</sub> /43.05 - 43.37	MI, Q	K	Cc	Py, Sid, Do, SI, Chl, Gi, aK, F, Ru?, (Ha)
73666	V <sub>104</sub> /46.87 - 47.00	MI, Q	K, Cc		Py, Sid, Do, SI, Chl, aK, F, Ru?, (Ha)
73667	V <sub>104</sub> /48.69 - 48.87	MI, Q	K, Cc		Py, Sid, Do, SI, Chl, aK, F, Ru?, (Ha)
73668	V <sub>104</sub> /49.37 - 49.50	MI, Cc	K	Sid	Ap, Py, Do, SI, Chl, Gi?, aK, F, Ru?, (Ha)
73669	V <sub>104</sub> /50.23 - 50.36	MI, Q	K, Cc	Chl	Py, Sid, Do, SI, Gi?, aK, F, Ru?, (Ha)



Schacht 2 / Bohrungen ausgehend von der Strecke 541 m Sohle / Mittelbarrême

S-Nr.	Probenbezeichnung/ Bohrstrecke in [m]	--HK--	--NK--	--NK bis Sp--	-----Sp-----
73670	F <sub>101</sub> / 1.72 - 1.90	MI, Q	K, Cc		Py, Sid, Do, SI, Chl, Gi?, aK, F, Ru?, (Ha)
73671	F <sub>101</sub> / 2.75 - 2.92	MI, Q	K		Cc, Py, Sid, Do, SI, Chl, Gi?, aK, F, Ru?, (Ha)
73672	F <sub>101</sub> / 4.11 - 4.26	MI, Q	K		Cc, Py, Sid, Do, SI, Chl, Gi?, aK, F, Ru?, (Ha)
73673	F <sub>101</sub> / 5.90 - 6.12	MI, Q	K		Cc, Py, Sid, Do, SI, Chl, Gi, aK, F, Ru?, (Ha)
73674	F <sub>101</sub> / 7.40 - 7.65	Sid	MI, Q, K		Cc, Py, Do, SI, Chl, Gi, aK, F, Ru?, (Ha)
73675	F <sub>101</sub> / 8.42 - 8.56	MI, Q	K		Cc, Py, Sid, Do, SI, Chl, Gi?, aK, F, Ru?, (Ha)
73676	F <sub>101</sub> / 9.86 - 10.08	MI, Q	K	Py	Cc, Sid, Do, SI, Chl, Gi?, aK, F, Ru?, (Ha)
73677	F <sub>101</sub> /12.25 - 12.33	MI, Q	K		Cc, Py, Sid, Do, SI, Chl, Gi?, aK, F, Ru?, (Ha)
73678	F <sub>101</sub> /13.22 - 13.39	MI, Q	K		Cc, Py, Sid, Do, SI, Chl, aK, F, Ru?, (Ha)
73824	F <sub>102</sub> / 1.88 - 2.00	MI, Q	K	Cc	Py, Sid, Do, SI, Chl, aK, F, Ru?, (Ha)
73825	F <sub>102</sub> / 2.26 - 2.37	MI, Q	K	Cc	Py, Sid, Do, SI, Chl, Gi?, aK, F, Ru?, (Ha)
73826	F <sub>102</sub> / 4.73 - 4.82	MI, Q, K			Cc, Py, Sid, Do, SI, Chl, Gi, aK, F, Ru?, (Ha)
73827	F <sub>102</sub> / 6.16 - 6.25	MI, Q	K	Cc, Chl	Py, Sid, Do, SI, Gi?, aK, F, Ru?, (Ha)
73828	F <sub>102</sub> / 7.40 - 7.59	MI, Q	K	Cc	Py, Sid, Do, SI, Chl, Gi?, aK, F, Ru?, (Ha)
73829	F <sub>102</sub> / 9.50 - 9.69	MI, Q	K	Cc, Chl	Py, Sid, Do, SI, Gi?, aK, F, Ru?, (Ha)
73830	F <sub>102</sub> /13.24 - 13.34	MI, Q, K		Py	Cc, Sid, Do, SI, Chl, Gi, aK, F, Ru?, (Ha)
73831	F <sub>102</sub> /14.05 - 14.15	MI, Q, K		Chl	Cc, Py, Sid, Do, SI, aK, F, Ru?, (Ha)
73858	F <sub>103</sub> / 2.45 - 2.60	MI, Q	K	Chl	Cc, Py, Sid, Do, SI, Gi?, aK, F, Ru?, (Ha)

Schacht 2 / Bohrungen ausgehend von der Strecke 541 m Sohle / Mittelbarrême

S-Nr.	Probenbezeichnung/ Bohrstrecke in [m]	--HK--	--NK--	--NK bis Sp--	-----Sp-----
73629	W <sub>106</sub> / 2.30 - 2.80	MI, Q	K	Cc	Py, Sid, Do, SI, Gi, Chl, aK, F, Ru?, (Ha)
73630	W <sub>106</sub> / 5.00 - 5.50	MI, Q	K		Cc, Py, Sid, Do, SI, Gi, Chl, aK, F, Ru?, (Ha)
73631	W <sub>106</sub> /11.30 - 11.80	MI, Q	K	Cc, Chl	Py, Sid, Do, SI, Gi, aK, F, Ru?, (Ha)
73811	W <sub>107</sub> / 1.00 - 1.10	MI, Q	K	Py	Cc, Sid, Do, SI, Gi?, Chl, aK, F, Ru?, (Ha)
73812	W <sub>107</sub> / 2.70 - 2.80	MI, Q	K	Chl	Py, Sid, Do, SI, Gi?, aK, F, Ru?, (Ha)
73813	W <sub>107</sub> / 4.20 - 4.30	MI, Q	K	Cc	Py, Sid, Do, SI, Gi?, Chl, aK, F, Ru?, (Ha)
74209	W <sub>107</sub> / 5.15 - 5.20	MI, Q	K		Cc, Py, Sid, Do, SI, Gi, Chl, aK, F, Ru?, (Ha)
74210	W <sub>107</sub> / 7.20 - 7.30	MI, Q	K		Cc, Py, Sid, Do, SI, Gi, Chl, aK, F, Ru?, (Ha)
74211	W <sub>107</sub> / 8.05 - 8.10	MI, Q	K	Py, Chl	Cc, Sid, Do, SI, Gi, aK, F, Ru?, (Ha)
74212	W <sub>107</sub> /10.20 - 10.30	MI, Q	K	Py, Chl	Cc, Sid, Do, SI, Gi, aK, F, Ru?, (Ha)
74213	W <sub>107</sub> /10.60 - 10.70	MI, Q	K	Py, Chl	Cc, Sid, Do, SI, Gi, aK, F, Ru?, (Ha)
74214	W <sub>107</sub> /12.15 - 12.22	MI, Q	K	Chl	Cc, Py, Sid, Do, SI, Gi?, aK, F, Ru?, (Ha)
74215	W <sub>107</sub> /14.60 - 14.70	MI, Q	K, Cc	Chl, Sid	Py, Do, SI, Gi?, aK, F, Ru?, (Ha)
74216	W <sub>107</sub> /16.01 - 16.05	MI, Q	K	Cc, Chl	Py, Sid, Do, SI, Gi, aK, F, Ru?, (Ha)
74217	W <sub>107</sub> /17.70 - 17.80	MI, Q	K	Py, Chl	Cc, Sid, Do, SI, Gi, aK, F, Ru?, (Ha)
74218	W <sub>107</sub> /18.50 - 18.60	MI, Q	K, Cc		Py, Sid, Do, SI, Gi, Chl, aK, F, Ru?, (Ha)

S-Nr.	Probenbezeichnung/ Bohrstrecke in [m]	--HK--	--NK--	--NK bis Sp--	-----Sp-----
73814	U <sub>101</sub> / 2.00 - 2.20	MI, Q	K	Cc	Py, Chl, Sid, Do, SI, Gi?, aK, F, Ru?, (Ha)
73815	U <sub>101</sub> / 3.14 - 3.18	MI, Q	K	Cc	Py, Chl, Sid, Do, SI, Gi?, aK, F, Ru?, (Ha)
73816	U <sub>101</sub> / 4.85 - 5.05	MI, Q	K	Cc	Py, Chl, Sid, Do, SI, Gi?, aK, F, Ru?, (Ha)
73817	U <sub>101</sub> / 6.90 - 7.00	MI, Q	K	Cc	Py, Chl, Sid, Do, SI, Gi?, aK, F, Ru?, (Ha)
73818	U <sub>101</sub> / 7.20 - 7.40	MI, Q	K	Cc	Py, Chl, Sid, Do, SI, Gi?, aK, F, Ru?, (Ha)
73819	U <sub>102</sub> / 2.05 - 2.20	MI, Q	K		Cc, Py, Chl, Sid, Do, SI, Gi?, aK, F, Ru?, (Ha)
73820	U <sub>102</sub> / 3.30 - 3.40	MI, Q	K		Cc, Py, Chl, Sid, Do, SI, Gi?, aK, F, Ru?, (Ha)
73821	U <sub>102</sub> / 3.75 - 3.90	MI, Q	K		Cc, Py, Chl, Sid, Do, SI, Gi?, aK, F, Ru?, (Ha)
73822	U <sub>102</sub> / 6.00 - 6.20	MI, Q	K		Cc, Py, Chl, Sid, Do, SI, Gi?, aK, F, Ru?, (Ha)
73823	U <sub>102</sub> / 7.95 - 8.10	MI, Q	K		Cc, Py, Chl, Sid, Do, SI, Gi?, aK, F, Ru?, (Ha)
73833	U <sub>103</sub> / 1.10 - 1.24	MI, Q	K		Cc, Py, Chl, Sid, Do, SI, Gi?, aK, F, Ru?, (Ha)
73834	U <sub>103</sub> / 4.70 - 4.86	MI, Q	K		Cc, Py, Chl, Sid, Do, SI, Gi?, aK, F, Ru?, (Ha)
73835	U <sub>103</sub> / 9.40 - 9.60	MI, Q	K	Cc	Py, Chl, Sid, Do, SI, Gi?, aK, F, Ru?, (Ha)
73836	U <sub>103</sub> /11.90 - 12.10	MI, Q	K		Cc, Py, Chl, Sid, Do, SI, Gi?, aK, F, Ru?, (Ha)
73837	U <sub>104</sub> / 1.15 - 1.25	MI, Q	K		Cc, Py, Chl, Sid, Do, SI, Gi?, aK, F, Ru?, (Ha)
73838	U <sub>104</sub> / 3.35 - 3.60	MI, Q	K	Cc	Py, Chl, Sid, Do, SI, Gi?, aK, F, Ru?, (Ha)
73839	U <sub>104</sub> / 3.95 - 4.15	MI, Q	K	Cc	Py, Chl, Sid, Do, SI, Gi?, aK, F, Ru?, (Ha)
73840	U <sub>104</sub> / 5.45 - 5.70	MI, Q	K	Cc	Py, Chl, Sid, Do, SI, Gi?, aK, F, Ru?, (Ha)
73841	U <sub>104</sub> / 6.05 - 6.20	MI, Q	K	Cc	Py, Chl, Sid, Do, SI, Gi?, aK, F, Ru?, (Ha)
73842	U <sub>104</sub> / 8.55 - 8.70	MI, Q	K	Cc	Py, Chl, Sid, Do, SI, Gi?, aK, F, Ru?, (Ha)
73843	U <sub>104</sub> /10.55 - 10.65	MI, Q	K		Cc, Py, Chl, Sid, Do, SI, Gi?, aK, F, Ru?, (Ha)
73844	U <sub>104</sub> /11.45 - 11.60	MI, Q	K	Py	Cc, Chl, Sid, Do, SI, Gi?, aK, F, Ru?, (Ha)

S-Nr.	Probenbezeichnung/ Bohrstrecke in [m]	--HK--	--NK--	--NK bis Sp--	-----Sp-----
73845	U <sub>105</sub> / 1.00 - 1.15	MI, Q	K		Cc, Py, Chl, Sid, Do, SI, Gi?, aK, F, Ru?, (Ha)
73846	U <sub>105</sub> / 2.00 - 2.10	MI, Q	K		Cc, Py, Chl, Sid, Do, SI, Gi?, aK, F, Ru?, (Ha)
73847	U <sub>105</sub> / 4.20 - 4.30	MI, Q	K		Cc, Py, Chl, Sid, Do, SI, Gi?, aK, F, Ru?, (Ha)
73848	U <sub>105</sub> / 5.00 - 5.15	MI, Q	K	Cc, Py	Chl, Sid, Do, SI, Gi?, aK, F, Ru?, (Ha)
73849	U <sub>105</sub> / 6.80 - 6.95	MI, Q	K		Cc, Py, Chl, Sid, Do, SI, Gi?, aK, F, Ru?, (Ha)
73850	U <sub>106</sub> / 1.70 - 1.80	MI, Q	K		Cc, Py, Chl, Sid, Do, SI, Gi?, aK, F, Ru?, (Ha)
73851	U <sub>106</sub> / 2.30 - 2.45	MI, Q	K	Cc	Py, Chl, Sid, Do, SI, Gi?, aK, F, Ru?, (Ha)
73852	U <sub>106</sub> / 3.40 - 3.55	MI, Q	K		Cc, Py, Chl, Sid, Do, SI, Gi?, aK, F, Ru?, (Ha)
73853	U <sub>106</sub> / 6.50 - 6.65	MI, Q	K		Cc, Py, Chl, Sid, Do, SI, Gi?, aK, F, Ru?, (Ha)
74192	U <sub>107</sub> / 1.50 - 1.60	MI, Q	K		Cc, Py, Chl, Sid, Do, SI, Gi?, aK, F, Ru?, (Ha)
74193	U <sub>107</sub> / 3.50 - 3.60	MI, Q	K		Cc, Py, Chl, Sid, Do, SI, Gi?, aK, F, Ru?, (Ha)
74194	U <sub>107</sub> / 4.30 - 4.60	MI, Q	K	Cc	Py, Chl, Sid, Do, SI, Gi?, aK, F, Ru?, (Ha)
74195	U <sub>107</sub> / 5.70 - 5.80	MI, Q	K	Cc	Py, Chl, Sid, Do, SI, Gi?, aK, F, Ru?, (Ha)
74196	U <sub>107</sub> / 7.00 - 7.15	MI, Q	K	Cc	Py, Chl, Sid, Do, SI, Gi?, aK, F, Ru?, (Ha)
74188	U <sub>108</sub> / 2.30 - 2.45		Q, MI, K, Cc, Sid		Py, Chl, Do, SI, Gi?, aK, F, Ru?, (Ha)
74189	U <sub>108</sub> / 4.10 - 4.40		Q, MI, K, Cc Sid		Py, Chl, Do, SI, Gi?, aK, F, Ru?, (Ha)
74190	U <sub>108</sub> / 5.30 - 5.50	MI, Q	K		Cc, Py, Chl, Sid, Do, SI, Gi?, aK, F, Ru?, (Ha)
74191	U <sub>108</sub> / 6.90 - 7.00	MI, Q	K		Cc, Py, Chl, Sid, Do, SI, Gi?, aK, F, Ru?, (Ha)
73854	U <sub>110</sub> / 1.20 - 1.30	MI, Q	K		Cc, Py, Chl, Sid, Do, SI, Gi?, aK, F, Ru?, (Ha)
73855	U <sub>110</sub> / 2.20 - 2.50	MI, Q	K		Cc, Py, Chl, Sid, Do, SI, Gi?, aK, F, Ru?, (Ha)
73856	U <sub>110</sub> / 3.50 - 3.60	MI, Q	K		Cc, Py, Chl, Sid, Do, SI, Gi?, aK, F, Ru?, (Ha)
73857	U <sub>110</sub> / 5.90 - 6.20	MI, Q	K	Cc, Sid	Py, Chl, Do, SI, Gi?, aK, F, Ru?, (Ha)

S-Nr.	Probenbezeichnung/ Bohrstrecke in [m]	--HK--	--NK--	--NK bis Sp--	-----Sp-----
74203	U <sub>103A</sub> 0.50 - 0.65	MI, Q	K	Cc	Py, Chl, Sid, Do, SI, Gi?, aK, F, Ru?, (Ha)
74204	U <sub>103A</sub> 3.80 - 4.00	MI, Q	K	Py	Cc, Chl, Sid, Do, SI, Gi?, aK, F, Ru?, (Ha)
74205	U <sub>103A</sub> 4.70 - 4.80	MI, Q	K		Cc, Py, Chl, Sid, Do, SI, Gi?, aK, F, Ru?, (Ha)
74206	U <sub>103A</sub> 6.80 - 7.00	MI, Q	K	Py	Cc, Chl, Sid, Do, SI, Gi?, aK, F, Ru?, (Ha)
74207	U <sub>103A</sub> 8.80 - 9.00	MI, Q	K		Cc, Py, Chl, Sid, Do, SI, Gi?, aK, F, Ru?, (Ha)
74208	U <sub>103A</sub> 10.00 - 10.20	MI, Q	K		Cc, Py, Chl, Sid, Do, SI, Gi?, aK, F, Ru?, (Ha)
74197	U <sub>104A</sub> 1.50 - 1.60	MI, Q	K	Cc, Py	Chl, Sid, Do, SI, Gi, aK, F, Ru?, (Ha)
74198	U <sub>104A</sub> 4.90 - 5.00	MI, Q	K	Cc	Py, Chl, Sid, Do, SI, Gi?, aK, F, Ru?, (Ha)
74199	U <sub>104A</sub> 6.00 - 6.10	MI, Q	K	Cc	Py, Chl, Sid, Do, SI, Gi?, aK, F, Ru?, (Ha)
74200	U <sub>104A</sub> 7.50 - 7.70	MI, Q	K, Cc		Py, Chl, Sid, Do, SI, Gi?, aK, F, Ru?, (Ha)
74201	U <sub>104A</sub> 9.00 - 9.20	MI, Q	K, Cc		Py, Chl, Sid, Do, SI, Gi?, aK, F, Ru?, (Ha)
74202	U <sub>104A</sub> 11.30 - 11.40	MI, Q	K		Cc, Py, Chl, Sid, Do, SI, Gi?, aK, F, Ru?, (Ha)

S-Nr.	Probenbezeichnung/ Bohrstrecke in [m]	--HK--	--NK--	--NK bis Sp--	-----Sp-----
74312	V <sub>106</sub> / 0.00 - 1.00	MI, Q	K	Cc	Py, Sid, Chl, Do, SI, Gi?, aK, F, Ru?, (Ha)
74313	V <sub>106</sub> / 1.00 - 2.00	MI, Q	K	Cc	Py, Chl, Sid, Do, SI, Gi, aK, F, Ru?, (Ha)
74314	V <sub>106</sub> / 2.00 - 3.00	MI, Q	K	Cc	Py, Chl, Sid, Do, SI, Gi, aK, F, Ru?, (Ha)
74315	V <sub>106</sub> / 3.00 - 4.00	MI, Q	K		Cc, Py, Chl, Sid, Do, SI, Gi?, aK, F, Ru?, (Ha)
74316	V <sub>106</sub> / 4.00 - 5.00	MI, Q	K		Cc, Py, Chl, Sid, Do, SI, Gi?, aK, F, Ru?, (Ha)
74317	V <sub>106</sub> / 5.00 - 6.00	MI, Q	K	Cc	Py, Chl, Sid, Do, SI, Gi?, aK, F, Ru?, (Ha)
74318	V <sub>106</sub> / 6.00 - 7.00	MI, Q	K		Cc, Py, Chl, Sid, Do, SI, Gi?, aK, F, Ru?, (Ha)
74319	V <sub>106</sub> / 7.00 - 8.00	MI, Q	K	Cc	Py, Chl, Sid, Do, SI, Gi?, aK, F, Ru?, (Ha)
74320	V <sub>106</sub> / 8.00 - 9.00	MI, Q	K		Cc, Py, Chl, Sid, Do, SI, Gi?, aK, F, Ru?, (Ha)
74321	V <sub>106</sub> / 9.00 -10.00	MI, Q	K	Cc	Py, Chl, Sid, Do, SI, Gi?, aK, F Ru?, (Ha)
74322	V <sub>106</sub> /10.00 -11.00	MI, Q	K		Cc, Py, Chl, Sid, Do, SI, Gi?, aK, F, Ru?, (Ha)
74323	V <sub>106</sub> /11.00 -12.00	MI, Q	K	Cc	Py, Chl, Sid, Do, SI, Gi?, aK, F, Ru?, (Ha)
74324	V <sub>106</sub> /12.00 -13.00	MI, Q	K	Cc	Py, Chl, Sid, Do, SI, Gi?, aK, F, Ru?, (Ha)
74325	V <sub>106</sub> /13.00 -14.00	MI, Q	K, Cc		Py, Chl, Sid, Do, SI, Gi?, aK, F, Ru?, (Ha)
74326	V <sub>106</sub> /14.00 -15.00	MI, Q	K	Cc	Py, Chl, Sid, Do, SI, Gi?, aK, F, Ru?, (Ha)
74327	V <sub>106</sub> /15.00 -16.00	MI, Q	K	Cc	Py, Chl, Sid, Do, SI, Gi?, aK, F, Ru?, (Ha)
74328	V <sub>106</sub> /16.00 -17.00	MI, Q	K	Cc	Py, Chl, Sid, Do, SI, Gi?, aK, F, Ru?, (Ha)
74329	V <sub>106</sub> /17.00 -18.00	MI, Q	K	Cc	Py, Chl, Sid, Do, SI, Gi?, aK, F, Ru?, (Ha)
74330	V <sub>106</sub> /18.00 -19.00	MI, Q	K	Cc	Py, Chl, Sid, Do, SI, Gi?, aK, F, Ru?, (Ha)
74331	V <sub>106</sub> /19.00 -20.00	MI, Q	K, Cc		Py, Chl, Sid, Do, SI, Gi?, aK, F, Ru?, (Ha)
74332	V <sub>106</sub> /20.00 -21.00	MI, Q	K, Cc		Py, Chl, Sid, Do, SI, Gi?, aK, F, Ru?, (Ha)
74333	V <sub>106</sub> /21.00 -22.00	MI, Q	K, Cc		Py, Chl, Sid, Do, SI, Gi?, aK, F, Ru?, (Ha)
74334	V <sub>106</sub> /22.00 -23.00	MI, Q	K, Cc		Py, Chl, Sid, Do, SI, Gi?, aK, F, Ru?, (Ha)
74335	V <sub>106</sub> /23.00 -24.00	MI, Q	K	Cc, Py	Chl, Sid, Do, SI, Gi?, aK, F, Ru?, (Ha)
74336	V <sub>106</sub> /24.00 -25.00	MI, Q	K	Cc	Py, Chl, Sid, Do, SI, Gi?, aK, F, Ru?, (Ha)
74337	V <sub>106</sub> /25.00 -26.00	MI, Q	K	Cc	Py, Chl, Sid, Do, SI, Gi?, aK, F, Ru?, (Ha)
74338	V <sub>106</sub> /26.00 -27.00	MI, Q	K	Cc	Py, Chl, Sid, Do, SI, Gi?, aK, F, Ru?, (Ha)
74339	V <sub>106</sub> /27.00 -28.00	MI, Q	K	Cc	Py, Chl, Sid, Do, SI, Gi?, aK, F, Ru?, (Ha)
74340	V <sub>106</sub> /28.00 -29.00	MI, Q	K	Cc, Py	Chl, Sid, Do, SI, Gi?, aK, F, Ru?, (Ha)
74341	V <sub>106</sub> /29.00 -30.00	MI, Q	K	Cc, Py	Chl, Sid, Do, SI, Gi?, aK, F, Ru?, (Ha)

S-Nr.	Probenbezeichnung/ Bohrstrecke in [m]	--HK--	--NK--	--NK bis Sp--	-----Sp-----
74342	V <sub>106</sub> /30.00 -31.00	MI, Q	K, Cc	Py	Chl, Sid, Do, SI, Gi?, aK, F, Ru?, (Ha)
74343	V <sub>106</sub> /31.00 -32.00	MI, Q	K, Cc	Py	Chl, Sid, Do, SI, Gi?, aK, F, Ru?, (Ha)
74344	V <sub>106</sub> /32.00 -33.00	MI, Q	K, Cc		Py, Chl, Sid, Do, SI, Gi?, aK, F, Ru?, (Ha)
74345	V <sub>106</sub> /33.00 -34.00	MI, Q	K	Cc, Py	Chl, Sid, Do, SI, Gi?, aK, F, Ru?, (Ha)
74346	V <sub>106</sub> /34.00 -35.00	MI, Q	K	Cc, Py	Chl, Sid, Do, SI, Gi?, aK, F, Ru?, (Ha)
74347	V <sub>106</sub> /35.00 -36.00	MI, Q	K, Cc		Py, Chl, Sid, Do, SI, Gi?, aK, F, Ru?, (Ha)
74348	V <sub>106</sub> /36.00 -37.00	MI, Q	K, Cc		Py, Chl, Sid, Do, SI, Gi?, aK, F, Ru?, (Ha)
74349	V <sub>106</sub> /37.00 -38.00	MI, Q	K	Cc	Py, Chl, Sid, Do, SI, Gi?, aK, F, Ru?, (Ha)
74350	V <sub>106</sub> /38.00 -39.00	MI, Q	K	Cc	Py, Chl, Sid, Do, SI, Gi?, aK, F, Ru?, (Ha)
74351	V <sub>106</sub> /39.00 -40.00	MI, Q	K	Cc	Py, Chl, Sid, Do, SI, Gi?, aK, F, Ru?, (Ha)
74352	V <sub>106</sub> /40.00 -41.00	MI, Q	K	Cc	Py, Chl, Sid, Do, SI, Gi?, aK, F, Ru?, (Ha)
74353	V <sub>106</sub> /41.00 -42.00	MI, Q	K	Cc	Py, Chl, Sid, Do, SI, Gi?, aK, F, Ru?, (Ha)
74354	V <sub>106</sub> /42.00 -43.00	MI, Q	K	Cc	Py, Chl, Sid, Do, SI, Gi?, aK, F, Ru?, (Ha)
74355	V <sub>106</sub> /43.00 -44.00	MI, Q	K	Cc	Py, Chl, Sid, Do, SI, Gi?, aK, F, Ru?, (Ha)
74356	V <sub>106</sub> /44.00 -45.00	MI, Q	K	Cc	Py, Chl, Sid, Do, SI, Gi?, aK, F, Ru?, (Ha)
74357	V <sub>106</sub> /45.00 -46.00	MI, Q	K	Cc	Py, Chl, Sid, Do, SI, Gi?, aK, F, Ru?, (Ha)
74358	V <sub>106</sub> /46.00 -47.00	MI, Q	K	Cc	Py, Chl, Sid, Do, SI, Gi?, aK, F, Ru?, (Ha)
74359	V <sub>106</sub> /47.00 -48.00	MI, Cc	Q, K		Py, Chl, Sid, Do, SI, Gi?, aK, F, Ru?, (Ha)
74360	V <sub>106</sub> /48.00 -49.00	MI, Q	K, Cc		Py, Chl, Sid, Do, SI, Gi?, aK, F, Ru?, (Ha)
74361	V <sub>106</sub> /49.00 -50.00	MI, Q	K, Cc		Py, Chl, Sid, Do, SI, Gi?, aK, F, Ru?, (Ha)
74362	V <sub>106</sub> /50.00 -51.00	MI, Q	K, Cc		Py, Chl, Sid, Do, SI, Gi?, aK, F, Ru?, (Ha)
74363	V <sub>106</sub> /51.00 -52.00	MI, Cc	Q, K		Py, Chl, Sid, Do, SI, Gi?, aK, F, Ru?, (Ha)
74364	V <sub>106</sub> /52.00 -53.00	MI, Cc	Q, K		Py, Chl, Sid, Do, SI, Gi?, aK, F, Ru?, (Ha)
74367	V <sub>106</sub> /53.00 -54.00	MI, Q	K, Cc		Py, Chl, Sid, Do, SI, Gi?, aK, F, Ru?, (Ha)
74365	V <sub>106</sub> /54.00 -55.00	MI, Q	K, Cc		Py, Chl, Sid, Do, SI, Gi?, aK, F, Ru?, (Ha)
74366	V <sub>106</sub> /55.00 -55.50	MI, Q	K, Cc		Py, Chl, Sid, Do, SI, Gi?, aK, F, Ru?, (Ha)

Zusammenfassung der Ergebnisse aus der qualitativen und semiquantitativen röntgenographischen und chemischen Phasenanalyse

Schacht 2 / Bohrungen ausgehend von der Strecke 541 m Sohle / Mittelbarrême

S-Nr.	Probenbezeichnung/ Bohrstrecke in [m]	-----HK----- > 20%	----NK----- 10 - 20%	--NK bis Sp-- 5 - 10%	-----Sp----- < 5%
73592	V <sub>102</sub> / 0.89 - 0.96	MI(32), Q(25)	K(18)	Cc	F, Gi, Py, Do, Sid, aK, (Ha), Ru?
73593	V <sub>102</sub> / 2.38 - 2.48	MI(35), Q(27)	K(18)		Cc, F, Gi?, Py, Do, Sid, aK, (Ha), Ru?
73594	V <sub>102</sub> / 2.90 - 2.98	MI(34), Q(27)	K(18)		Cc, F, Gi?, Py, Do, Sid, aK, (Ha), Ru?
73595	V <sub>102</sub> / 4.50 - 4.60	MI(33), Q(29)	K(18)	Cc	F, Gi, Py, Do, Sid, aK, (Ha), Ru?
73596	V <sub>102</sub> / 5.05 - 5.13	MI(35), Q(25)	K(19)		Cc, F, Gi?, Py, Do, Sid, aK, (Ha), Ru?
73597	V <sub>102</sub> / 6.00 - 6.06	MI(35), Q(25)	K(18)	Cc	F, Gi?, Py, Do, Sid, aK, (Ha), Ru?
73598	V <sub>102</sub> / 8.99 - 9.03	MI(33), Q(28)	K(19)		Cc, F, Gi, Py, Do, Sid, aK, (Ha), Ru?
73599	V <sub>102</sub> /10.57 - 10.62	MI(33), Q(25)	K(17)	Cc	F, Gi, Py, Do, Sid, aK, (Ha), Ru?
73600	V <sub>102</sub> /11.50 - 11.61	MI(30), Q(29)	K(14)	Cc(10)	F, Gi?, Py, Do, Sid, aK, (Ha), Ru?
73601	V <sub>102</sub> /13.37 - 13.50	MI(33), Q(28)	K(15)	Cc(10)	F, Gi?, Py, Do, Sid, aK, (Ha), Ru?
73602	V <sub>102</sub> /14.48 - 14.56	MI(35), Q(27)	K(17)		Cc, F, Gi?, Py, Do, Sid, aK, (Ha), Ru?
73603	V <sub>102</sub> /15.12 - 15.20	MI(33), Q(30)	K(15)	Cc	F, Gi?, Py, Do, Sid, aK, (Ha), Ru?
73604	V <sub>102</sub> /16.15 - 16.26	MI(32), Q(23)	K(17)	Cc(10), Py	F, Gi?, Do, Sid, aK, (Ha), Ru?
73605	V <sub>102</sub> /18.34 - 18.46	MI(29), Q(21)	K(17), Cc(15)	Py	F, Gi?, Do, Sid, aK, (Ha), Ru?
73606	V <sub>102</sub> /19.36 - 19.44	MI(32), Q(27)	K(16), Cc(11)		F, Gi?, Py, Do, Sid, aK, (Ha), Ru?

Legende: Q - Quarz  
MI - Muskovit-Illit + ggfs Smectit-Illit  
K - Kaolinit + ggfs Chlorit  
Cc - Calcit  
Do - Dolomit  
Sid - Siderit  
Py - Pyrit  
Ap - Apatit  
aK - röntgenamorphe Komponente  
F - Feldspat  
(Ha) - Halit (durch Trocknung entstanden?)  
Ru - Rutil  
Gi - Gips  
? - Mineralphase nicht eindeutig nachgewiesen



Schacht 2 / Bohrungen ausgehend von der Strecke 541 m Sohle / Mittelbarrême

S-Nr.	Probenbezeichnung/ Bohrstrecke in [m]	-----HK----- > 20%	----NK----- 10 - 20%	--NK bis Sp-- 5 - 10%	-----Sp----- < 5%
73607	V <sub>102</sub> /22.01 - 22.10	MI(35), Q(24)	K(21)		Cc, F, Gi?, Py, Do, Sid, aK, (Ha), Ru?
73608	V <sub>102</sub> /22.40 - 22.58	MI(36), Q(24)	K(19)	Cc	F, Gi?, Py, Do, Sid, aK, (Ha), Ru?
73609	V <sub>102</sub> /23.77 - 23.93	MI(28), Q(40)	K(13)	Cc	F, Gi?, Py, Do, Sid, aK, (Ha), Ru?
73610	V <sub>102</sub> /25.05 - 25.19	MI(34), Q(26)	K(15)	Cc	F, Gi?, Py, Do, Sid, aK, (Ha), Ru?
73611	V <sub>102</sub> /26.53 - 26.62	MI(33), Q(27)	K(16)	Cc	F, Gi?, Py, Do, Sid, aK, (Ha), Ru?
73612	V <sub>102</sub> /27.16 - 27.40	MI(30), Q(26)	K(16)	Cc(10), Py	F, Gi?, Do, Sid, aK, (Ha), Ru?
73613	V <sub>102</sub> /28.09 - 28.23	MI(32), Q(26)	K(16)	Cc	F, Gi?, Py, Do, Sid, aK, (Ha), Ru?
73614	V <sub>102</sub> /31.10 - 31.26	MI(29), Cc(23)	Q(20), K(15)		F, Gi?, Py, Do, Sid, aK, (Ha), Ru?
73615	V <sub>102</sub> /33.00 - 33.06	MI(33), Q(22)	K(18)	Cc	F, Gi?, Py, Do, Sid, aK, (Ha), Ru?
73616	V <sub>102</sub> /33.06 - 33.28	MI(32), Q(24)	K(16)	Cc, Py	F, Gi?, Do, Sid, aK, (Ha), Ru?
73617	V <sub>102</sub> /34.42 - 34.50	MI(31)	Q(19), K(16), Cc(16)		F, Gi?, Py, Do, Sid, aK, (Ha), Ru?
73618	V <sub>102</sub> /35.50 - 35.59	MI(31), Q(22)	K(15)	Cc, Py	F, Gi?, Do, Sid, aK, (Ha), Ru?
73619	V <sub>102</sub> /37.31 - 37.38	MI(36), Q(24)	K(17)	Cc	F, Gi?, Py, Do, Sid, aK, (Ha), Ru?
73620	V <sub>102</sub> /38.74 - 38.82	MI(30), Q(32)	K(14)	Py	Cc, F, Gi?, Do, Sid, aK, (Ha), Ru?
73621	V <sub>102</sub> /40.24 - 40.31	MI(27)	Q(19), K(14), Cc(11), Sid(13)	Py	F, Gi?, Do, aK, (Ha), Ru?
73622	V <sub>102</sub> /42.00 - 42.08	MI(33), Q(29)	K(16)	Cc	F, Gi?, Py, Do, Sid, aK, (Ha), Ru?
73623	V <sub>102</sub> /43.00 - 43.09	MI(32), Q(27)	K(16)	Sid	F, Gi?, Py, Do, aK, (Ha), Ru?
73624	V <sub>102</sub> /44.50 - 44.58	MI(30), Q(33)	K(16)	Cc	F, Gi?, Py, Do, Sid, aK, (Ha), Ru?
73625	V <sub>102</sub> /45.19 - 45.47	MI(29), Q(30)	K(14)	Cc	F, Gi?, Py, Do, Sid, aK, (Ha), Ru?
73626	V <sub>102</sub> /46.14 - 46.26	MI(29), Q(22)	K(15), Cc(18)		F, Gi?, Py, Do, Sid, aK, (Ha), Ru?
73627	V <sub>102</sub> /47.61 - 47.85	MI(28), Q(26)	K(14), Cc(15)		F, Gi?, Py, Do, Sid, aK, (Ha), Ru?
73628	V <sub>102</sub> /48.50 - 48.56	MI(27), Q(20)	K(17), Cc(19)		F, Gi?, Py, Do, Sid, aK, (Ha), Ru?

Schacht 2 / Bohrungen ausgehend von der Strecke 541 m Sohle / Mittelbarrême

S-Nr.	Probenbezeichnung/ Bohrstrecke in [m]	-----HK----- > 20%	----NK---- 10 - 20%	--NK bis Sp-- 5 - 10%	-----Sp----- < 5%
73646	V <sub>104</sub> / 2.72 - 2.90	MI(34), Q(29)	K(18)		Cc, F, Gi?, Py, Do, Sid, aK, (Ha), Ru?
73647	V <sub>104</sub> / 3.52 - 3.69	MI(33), Q(30)	K(16)	Cc	F, Gi?, Py, Do, Sid, aK, (Ha), Ru?
73648	V <sub>104</sub> / 6.61 - 6.80	MI(34), Q(27)	K(18)		Cc, F, Gi?, Py, Do, Sid, aK, (Ha), Ru?
73649	V <sub>104</sub> / 9.19 - 9.42	MI(34), Q(31)	K(16)	Cc	F, Gi?, Py, Do, Sid, aK, (Ha), Ru?
73650	V <sub>104</sub> /10.64 - 10.80	MI(33), Q(28)	K(17)	Cc, Py	F, Gi?, Do, Sid, aK, (Ha), Ru?
73651	V <sub>104</sub> /12.07 - 12.27	Cc(76)		MI, Q, K,	F, Gi?, Py, Do, Sid, aK, (Ha), Ru?
73652	V <sub>104</sub> /12.50 - 12.73	MI(34), Q(22)	K(19)	Cc	F, Gi, Py, Do, Sid, aK, (Ha), Ru?
73653	V <sub>104</sub> /14.72 - 14.87	MI(36), Q(24)	K(18)		Cc, F, Gi, Py, Do, Sid, aK, (Ha), Ru?
73654	V <sub>104</sub> /19.53 - 19.68	MI(32), Q(28)	K(16), Cc(11)		F, Gi?, Py, Do, Sid, aK, (Ha), Ru?
73655	V <sub>104</sub> /20.52 - 20.68	MI(25), Cc(20)	Q(18), K(17)		F, Gi, Py, Do, Sid, aK, (Ha), Ru?
73656	V <sub>104</sub> /23.59 - 23.80	MI(37), Q(27)	K(19)		Cc, F, Gi?, Py, Do, Sid, aK, (Ha), Ru?
73657	V <sub>104</sub> /24.54 - 24.75	MI(30), Q(24)	K(15), Cc(16)		F, Gi, Py, Do, Sid, aK, (Ha), Ru?
73658	V <sub>104</sub> /26.00 - 26.19	MI(36), Q(23)	K(17)	Cc	F, Gi, Py, Do, Sid, aK, (Ha), Ru?
73659	V <sub>104</sub> /28.75 - 28.90	MI(34), Q(26)	K(16)	Cc	F, Gi, Py, Do, Sid, aK, (Ha), Ru?
73660	V <sub>104</sub> /30.94 - 31.10	MI(34), Q(22)	K(17)	Cc(10)	F, Gi, Py, Do, Sid, aK, (Ha), Ru?
73661	V <sub>104</sub> /33.39 - 33.59	MI(34), Q(22)	K(16)	Cc(10)	F, Gi, Py, Do, Sid, aK, (Ha), Ru?
73662	V <sub>104</sub> /37.10 - 37.30	MI(35), Q(23)	K(17)	Cc	F, Gi, Py, Do, Sid, aK, (Ha), Ru?
73663	V <sub>104</sub> /38.80 - 39.04	MI(37), Q(21)	K(19)		Cc, F, Gi, Py, Do, Sid, aK, (Ha), Ru?
73664	V <sub>104</sub> /40.80 - 41.00	MI(33)	Q(19), K(18)	Cc, Sid, Py	F, Gi, Do, aK, (Ha), Ru?
73665	V <sub>104</sub> /43.05 - 43.37	MI(36), Q(26)	K(18)	Cc	F, Gi?, Py, Do, Sid, aK, (Ha), Ru?
73666	V <sub>104</sub> /46.87 - 47.00	MI(29), Q(25)	K(16), Cc(19)		F, Gi?, Py, Do, Sid, aK, (Ha), Ru?
73667	V <sub>104</sub> /48.69 - 48.87	MI(30), Q(26)	K(15), Cc(13)		F, Gi?, Py, Do, Sid, aK, (Ha), Ru?
73668	V <sub>104</sub> /49.37 - 49.50	MI(23), Cc(23)	Q(17), K(16)	Sid	F, Gi?, Py, Do, aK, Ap, (Ha), Ru?
73669	V <sub>104</sub> /50.23 - 50.36	MI(29), Q(23)	K(16), Cc(18)		F, Gi?, Py, Do, Sid, aK, (Ha), Ru?

Schacht 2 / Bohrungen ausgehend von der Strecke 541 m Sohle / Mittelbarrême

S-Nr.	Probenbezeichnung/ Bohrstrecke in [m]	-----HK----- > 20%	----NK---- 10 - 20%	--NK bis Sp-- 5 - 10%	-----Sp----- < 5%
73670	F <sub>101</sub> / 1.72 - 1.90	MI(29), Q(28)	K(18), Cc(11)		F, Gi?, Py, Do, Sid, aK, (Ha), Ru?
73671	F <sub>101</sub> / 2.75 - 2.92	MI(36), Q(28)	K(20)		Cc, F, Gi?, Py, Do, Sid, aK, (Ha), Ru?
73672	F <sub>101</sub> / 4.11 - 4.26	MI(36), Q(28)	K(19)		Cc, F, Gi?, Py, Do, Sid, aK, (Ha), Ru?
73673	F <sub>101</sub> / 5.90 - 6.12	MI(32), Q(24)	K(19)	Cc, Py	F, Gi, Do, Sid, aK, (Ha), Ru?
73674	F <sub>101</sub> / 7.40 - 7.65	Sid(43)	MI(15), Q(16), K(11)	Cc	F, Gi, Py, Do, aK, (Ha), Ru?
73675	F <sub>101</sub> / 8.42 - 8.56	MI(37), Q(27)	K(20)		F, Gi, Py, Do, Sid, aK, (Ha), Ru?
73676	F <sub>101</sub> / 9.86 - 10.08	MI(36), Q(24)	K(19)	Py	F, Gi, Do, Sid, aK, (Ha), Ru?
73677	F <sub>101</sub> /12.25 - 12.33	MI(39), Q(28)	K(19)		Cc, F, Gi?, Py, Do, Sid, aK, (Ha), Ru?
73678	F <sub>101</sub> /13.22 - 13.39	MI(41), Q(26)	K(20)		Cc, F, Gi?, Py, Do, Sid, aK, (Ha), Ru?
73824	F <sub>102</sub> / 1.88 - 2.00	MI(31), Q(25)	K(19)	Cc	F, Gi?, Py, Do, Sid, aK, (Ha), Ru?
73825	F <sub>102</sub> / 2.26 - 2.37	MI(31), Q(28)	K(17)	Cc	F, Gi?, Py, Do, Sid, aK, (Ha), Ru?
73826	F <sub>102</sub> / 4.73 - 4.82	MI(35), Q(24), K(22)			Cc, F, Gi?, Py, Do, Sid, aK, (Ha), Ru?
73827	F <sub>102</sub> / 6.16 - 6.25	MI(32), Q(28)	K(16)	Cc	F, Gi?, Py, Do, Sid, aK, (Ha), Ru?
73828	F <sub>102</sub> / 7.40 - 7.59	MI(30), Q(34)	K(15)	Cc	F, Gi?, Py, Do, Sid, aK, (Ha), Ru?
73829	F <sub>102</sub> / 9.50 - 9.69	MI(32), Q(21)	K(19)	Cc	F, Gi?, Py, Do, Sid, aK, (Ha), Ru?
73830	F <sub>102</sub> /13.24 - 13.34	MI(34), Q(23), K(21)		Py	Cc, F, Gi?, Do, Sid, aK, (Ha), Ru?
73831	F <sub>102</sub> /14.05 - 14.15	MI(36), Q(27), K(23)			Cc, F, Gi?, Py, Do, Sid, aK, (Ha), Ru?

Schacht 2 / Bohrungen ausgehend von der Strecke 541 m Sohle / Mittelbarrême

S-Nr.	Probenbezeichnung/ Bohrstrecke in [m]	-----HK----- > 20%	----NK----- 10 - 20%	--NK bis Sp-- 5 - 10%	-----Sp----- < 5%
74312	V <sub>106</sub> / 0.00 - 1.00	MI(31), Q(28)	K(16)	Cc	F, Gi?, Py, Do, Sid, aK, (Ha), Ru?
74313	V <sub>106</sub> / 1.00 - 2.00	MI(35), Q(25)	K(18)	Cc	F, Gi, Py, Do, Sid, aK, (Ha), Ru?
74314	V <sub>106</sub> / 2.00 - 3.00	MI(33), Q(25)	K(17)	Cc	F, Gi, Py, Do, Sid, aK, (Ha), Ru?
74315	V <sub>106</sub> / 3.00 - 4.00	MI(35), Q(25)	K(18)		Cc, F, Gi?, Py, Do, Sid, aK, (Ha), Ru?
74316	V <sub>106</sub> / 4.00 - 5.00	MI(35), Q(27)	K(18)		Cc, F, Gi?, Py, Do, Sid, aK, (Ha), Ru?
74317	V <sub>106</sub> / 5.00 - 6.00	MI(34), Q(27)	K(17)	Cc	F, Gi?, Py, Do, Sid, aK, (Ha), Ru?
74318	V <sub>106</sub> / 6.00 - 7.00	MI(35), Q(26)	K(19)		Cc, F, Gi?, Py, Do, Sid, aK, (Ha), Ru?
74319	V <sub>106</sub> / 7.00 - 8.00	MI(35), Q(25)	K(19)	Cc	F, Gi?, Py, Do, Sid, aK, (Ha), Ru?
74320	V <sub>106</sub> / 8.00 - 9.00	MI(35), Q(26)	K(18)		Cc, F, Gi?, Py, Do, Sid, aK, (Ha), Ru?
74321	V <sub>106</sub> / 9.00 -10.00	MI(34), Q(27)	K(18)	Cc	F, Gi?, Py, Do, Sid, aK, (Ha), Ru?
74322	V <sub>106</sub> /10.00 -11.00	MI(34), Q(30)	K(16)		Cc, F, Gi?, Py, Do, Sid, aK, (Ha), Ru?
74323	V <sub>106</sub> /11.00 -12.00	MI(34), Q(27)	K(17)	Cc	F, Gi?, Py, Do, Sid, aK, (Ha), Ru?
74324	V <sub>106</sub> /12.00 -13.00	MI(34), Q(28)	K(16)	Cc	F, Gi?, Py, Do, Sid, aK, (Ha), Ru?
74325	V <sub>106</sub> /13.00 -14.00	MI(33), Q(24)	K(16), Cc(11)		F, Gi?, Py, Do, Sid, aK, (Ha), Ru?
74326	V <sub>106</sub> /14.00 -15.00	MI(33), Q(23)	K(18)	Cc	F, Gi?, Py, Do, Sid, aK, (Ha), Ru?
74327	V <sub>106</sub> /15.00 -16.00	MI(33), Q(26)	K(16)	Cc	F, Gi?, Py, Do, Sid, aK, (Ha), Ru?
74328	V <sub>106</sub> /16.00 -17.00	MI(33), Q(27)	K(16)	Cc(10)	F, Gi?, Py, Do, Sid, aK, (Ha), Ru?
74329	V <sub>106</sub> /17.00 -18.00	MI(32), Q(23)	K(19)	Cc	F, Gi?, Py, Do, Sid, aK, (Ha), Ru?
74330	V <sub>106</sub> /18.00 -19.00	MI(33), Q(21)	K(20)	Cc	F, Gi?, Py, Do, Sid, aK, (Ha), Ru?
74331	V <sub>106</sub> /19.00 -20.00	MI(33), Q(25)	K(18), Cc(11)		F, Gi?, Py, Do, Sid, aK, (Ha), Ru?
74332	V <sub>106</sub> /20.00 -21.00	MI(31), Q(24)	K(19), Cc(12)		F, Gi?, Py, Do, Sid, aK, (Ha), Ru?
74333	V <sub>106</sub> /21.00 -22.00	MI(31), Q(23)	K(16), Cc(13)	Py	F, Gi?, Do, Sid, aK, (Ha), Ru?
74334	V <sub>106</sub> /22.00 -23.00	MI(28), Q(22)	K(16), Cc(18)		F, Gi?, Py, Do, Sid, aK, (Ha), Ru?
74335	V <sub>106</sub> /23.00 -24.00	MI(34), Q(25)	K(17)	Cc, Py	F, Gi?, Do, Sid, aK, (Ha), Ru?
74336	V <sub>106</sub> /24.00 -25.00	MI(34), Q(28)	K(16)	Cc	F, Gi?, Py, Do, Sid, aK, (Ha), Ru?
74337	V <sub>106</sub> /25.00 -26.00	MI(32), Q(27)	K(16)	Cc(10)	F, Gi?, Py, Do, Sid, aK, (Ha), Ru?
74338	V <sub>106</sub> /26.00 -27.00	MI(34), Q(23)	K(17)	Cc	F, Gi?, Py, Do, Sid, aK, (Ha), Ru?
74339	V <sub>106</sub> /27.00 -28.00	MI(33), Q(24)	K(16)	Cc	F, Gi?, Py, Do, Sid, aK, (Ha), Ru?

Schacht 2 / Bohrungen ausgehend von der Strecke 541 m Sohle / Mittelbarrême

S-Nr.	Probenbezeichnung/ Bohrstrecke in [m]	-----HK----- > 20%	----NK----- 10 - 20%	--NK bis Sp-- 5 - 10%	-----Sp----- < 5%
74340	V <sub>106</sub> /28.00 -29.00	MI(33), Q(24)	K(15)	Cc(10), Py	F, Gi?, Do, Sid, aK, (Ha), Ru?
74341	V <sub>106</sub> /29.00 -30.00	MI(33), Q(25)	K(15)	Cc, Py	F, Gi?, Do, Sid, aK, (Ha), Ru?
74342	V <sub>106</sub> /30.00 -31.00	MI(32), Q(20)	K(17), Cc(11)	Py	F, Gi?, Do, Sid, aK, (Ha), Ru?
74343	V <sub>106</sub> /31.00 -32.00	MI(32), Q(20)	K(16), Cc(13)	Py	F, Gi?, Do, Sid, aK, (Ha), Ru?
74344	V <sub>106</sub> /32.00 -33.00	MI(31), Q(20)	K(16), Cc(13)		F, Gi?, Py, Do, Sid, aK, (Ha), Ru?
74345	V <sub>106</sub> /33.00 -34.00	MI(33), Q(23)	K(16)	Cc, Py	F, Gi?, Do, Sid, aK, (Ha), Ru?
74346	V <sub>106</sub> /34.00 -35.00	MI(35), Q(24)	K(16)	Cc, Py	F, Gi?, Do, Sid, aK, (Ha), Ru?
74347	V <sub>106</sub> /35.00 -36.00	MI(34), Q(22)	K(15), Cc(12)		F, Gi?, Py, Do, Sid, aK, (Ha), Ru?
74348	V <sub>106</sub> /36.00 -37.00	MI(33), Q(21)	K(16), Cc(12)		F, Gi?, Py, Do, Sid, aK, (Ha), Ru?
74349	V <sub>106</sub> /37.00 -38.00	MI(35), Q(24)	K(16)	Cc	F, Gi?, Py, Do, Sid, aK, (Ha), Ru?
74350	V <sub>106</sub> /38.00 -39.00	MI(37), Q(24)	K(18)	Cc	F, Gi?, Py, Do, Sid, aK, (Ha), Ru?
74351	V <sub>106</sub> /39.00 -40.00	MI(35), Q(25)	K(18)	Cc	F, Gi?, Py, Do, Sid, aK, (Ha), Ru?
74352	V <sub>106</sub> /40.00 -41.00	MI(35), Q(29)	K(16)	Cc	F, Gi?, Py, Do, Sid, aK, (Ha), Ru?
74353	V <sub>106</sub> /41.00 -42.00	MI(34), Q(30)	K(16)	Cc	F, Gi?, Py, Do, Sid, aK, (Ha), Ru?
74354	V <sub>106</sub> /42.00 -43.00	MI(31), Q(34)	K(14)	Cc	F, Gi?, Py, Do, Sid, aK, (Ha), Ru?
74355	V <sub>106</sub> /43.00 -44.00	MI(34), Q(26)	K(18)	Cc	F, Gi, Py, Do, Sid, aK, (Ha), Ru?
74356	V <sub>106</sub> /44.00 -45.00	MI(32), Q(31)	K(16)	Cc	F, Gi?, Py, Do, Sid, aK, (Ha), Ru?
74357	V <sub>106</sub> /45.00 -46.00	MI(32), Q(31)	K(16)	Cc	F, Gi?, Py, Do, Sid, aK, (Ha), Ru?
74358	V <sub>106</sub> /46.00 -47.00	MI(31), Q(31)	K(15)	Cc	F, Gi, Py, Do, Sid, aK, (Ha), Ru?
74359	V <sub>106</sub> /47.00 -48.00	MI(26), Cc(21)	Q(20), K(16)		F, Gi?, Py, Do, Sid, aK, (Ha), Ru?
74360	V <sub>106</sub> /48.00 -49.00	MI(31), Q(24)	K(17), Cc(12)		F, Gi?, Py, Do, Sid, aK, (Ha), Ru?
74361	V <sub>106</sub> /49.00 -50.00	MI(31), Q(20)	K(17), Cc(14)		F, Gi?, Py, Do, Sid, aK, (Ha), Ru?
74362	V <sub>106</sub> /50.00 -51.00	MI(30), Q(22)	K(18), Cc(12)		F, Gi?, Py, Do, Sid, aK, (Ha), Ru?
74363	V <sub>106</sub> /51.00 -52.00	MI(26), Cc(22)	Q(19), K(15)		F, Gi?, Py, Do, Sid, aK, (Ha), Ru?
74364	V <sub>106</sub> /52.00 -53.00	MI(26), Cc(22)	Q(20), K(15)		F, Gi?, Py, Do, Sid, aK, (Ha), Ru?
74367	V <sub>106</sub> /53.00 -54.00	MI(30), Q(22)	K(16), Cc(14)		F, Gi?, Py, Do, Sid, aK, (Ha), Ru?
74365	V <sub>106</sub> /54.00 -55.00	MI(30), Q(23)	K(15), Cc(14)		F, Gi?, Py, Do, Sid, aK, (Ha), Ru?
74366	V <sub>106</sub> /55.00 -55.50	MI(29), Q(22)	K(16), Cc(16)	Py	F, Gi?, Do, Sid, aK, (Ha), Ru?

# ANLAGE 3

## Tabellen:

RFA-Daten  
Haupt- und Spurenelemente

Analyse von Hauptelementen im Spurenprogramm  
 Schacht 2 / Bohrungen von der Strecke 541 m Sohle / Mittelbarrême

S.-Nr.	Probenbezeichnung/ Bohrstrecke in [m]	SiO2 %	TiO2 %	Al2O3 %	Fe2O3 %	MnO %	MgO %	CaO %	Na2O %	K2O %	P2O5 %	(SO3) %	L.O.I. %
73437	Ort 541-1/-.-	51.50	0.92	18.44	5.11	0.02	1.05	2.69	0.97	2.54	0.05	1.58	14.65
73438	Ort 541-2/-.-	56.09	0.94	19.01	4.27	0.02	1.23	1.03	1.15	2.80	0.04	0.72	12.22
73439	Ort 541-3/-.-	50.96	0.89	19.06	5.77	0.02	1.13	2.15	1.62	2.65	0.04	1.27	13.96
73440	Ort 541-4/-.-	51.00	0.90	17.94	6.33	0.02	0.92	2.19	1.06	2.56	0.05	1.45	15.08
73441	Ort 541-5/-.-	54.16	0.88	17.38	4.66	0.02	1.05	3.90	1.03	2.54	0.05	2.27	11.58
73442	Ort 541-Pyritlage/-.-	52.41	0.91	18.84	5.29	0.02	0.93	1.63	1.16	2.66	0.04	0.95	14.68
73431	E <sub>4</sub> / 1.23 - 1.50	49.11	0.87	17.80	5.10	0.02	1.13	4.17	1.00	2.62	0.04	2.17	15.49
73432	E <sub>4</sub> / 7.00 - 7.26	55.35	0.89	17.44	4.56	0.02	1.53	2.42	1.20	2.70	0.06	1.28	12.05
73433	E <sub>4</sub> /13.70 - 14.00	49.81	0.80	16.70	4.66	0.02	1.04	6.14	1.56	2.65	0.05	3.22	12.87
73428	E <sub>5</sub> / 0.70 - 0.95	53.35	0.89	16.87	4.22	0.02	1.19	4.82	1.10	2.56	0.04	1.91	12.56
73429	E <sub>5</sub> / 6.80 - 7.00	47.29	0.77	14.81	7.35	0.03	1.33	7.35	1.03	2.17	0.05	2.93	14.42
73430	E <sub>5</sub> /12.60 - 12.70	54.00	0.93	19.34	4.76	0.02	1.03	1.58	1.07	2.78	0.03	0.62	13.37
73425	E <sub>6</sub> / 0.75 - 1.00	52.12	0.88	18.22	5.71	0.02	1.18	1.93	1.25	2.62	0.04	0.81	14.73
73679	E <sub>6</sub> / 3.50 - 3.70	59.70	0.98	18.66	4.51	0.02	1.17	0.84	0.74	2.65	0.05	0.46	9.93
73426	E <sub>6</sub> / 7.00 - 7.20	51.55	0.86	17.51	6.48	0.02	1.18	2.92	1.12	2.55	0.04	1.24	14.06
73680	E <sub>6</sub> / 9.82 - 10.00	21.58	0.38	7.00	8.28	0.06	1.35	29.14	0.09	0.76	0.30	1.02	29.83
73427	E <sub>6</sub> /13.00 - 13.28	56.11	0.96	19.26	4.90	0.02	1.31	0.62	1.19	2.94	0.06	0.39	11.76

S.-Nr.	Probenbezeichnung/ Bohrstrecke in [m]	SiO2 %	TiO2 %	Al2O3 %	Fe2O3 %	MnO %	MgO %	CaO %	Na2O %	K2O %	P2O5 %	(SO3) %	L.O.I. %
73592	V <sub>102</sub> / 0.89 - 0.96	50.98	0.88	17.86	4.62	0.02	1.24	4.83	1.10	2.61	0.05	3.57	11.76
73593	V <sub>102</sub> / 2.38 - 2.48	55.97	0.96	18.80	5.06	0.02	1.50	1.54	0.95	2.83	0.05	1.83	10.02
73594	V <sub>102</sub> / 2.90 - 2.98	55.48	0.89	17.58	4.38	0.02	1.56	3.07	1.07	2.68	0.06	2.61	10.12
73595	V <sub>102</sub> / 4.50 - 4.60	56.37	0.91	17.87	4.17	0.02	1.52	2.92	0.89	2.67	0.06	2.50	9.62
73596	V <sub>102</sub> / 5.05 - 5.13	53.12	0.91	18.88	4.67	0.02	1.34	1.78	1.10	2.72	0.07	2.04	12.86
73597	V <sub>102</sub> / 6.00 - 6.06	52.22	0.86	17.69	4.06	0.02	1.39	5.53	1.01	2.63	0.06	2.53	11.52
73598	V <sub>102</sub> / 8.99 - 9.03	55.73	0.90	17.70	4.99	0.02	1.61	1.76	0.88	2.60	0.05	1.76	11.52
73599	V <sub>102</sub> /10.57 - 10.62	53.13	0.86	16.69	4.28	0.02	1.15	5.29	1.04	2.62	0.05	3.49	10.92
73600	V <sub>102</sub> /11.50 - 11.61	53.77	0.82	15.76	4.50	0.02	1.21	5.62	1.18	2.43	0.07	3.76	10.39
73601	V <sub>102</sub> /13.37 - 13.50	53.20	0.87	17.02	3.81	0.02	1.20	5.88	0.95	2.69	0.04	2.87	10.99
73602	V <sub>102</sub> /14.48 - 14.56	53.59	0.90	17.66	5.34	0.02	1.29	2.70	0.95	2.74	0.07	2.73	11.53
73603	V <sub>102</sub> /15.12 - 15.20	56.92	0.91	17.00	4.13	0.02	1.38	3.40	0.95	2.69	0.04	2.44	9.61
73604	V <sub>102</sub> /16.15 - 16.26	49.18	0.84	16.96	5.01	0.02	1.18	6.25	0.91	2.59	0.05	4.02	12.52
73605	V <sub>102</sub> /18.34 - 18.46	44.48	0.75	15.41	5.61	0.02	1.02	8.99	0.84	2.21	0.05	5.60	14.56
73606	V <sub>102</sub> /19.36 - 19.44	54.04	0.86	16.54	3.58	0.02	1.33	6.11	0.95	2.45	0.03	2.69	10.90
73607	V <sub>102</sub> /22.01 - 22.10	55.05	0.96	18.46	5.24	0.02	1.08	2.74	0.87	2.85	0.04	2.46	9.76
73608	V <sub>102</sub> /22.40 - 22.58	51.91	0.86	16.90	4.43	0.02	1.44	5.39	1.14	2.70	0.05	3.47	11.22
73609	V <sub>102</sub> /23.77 - 23.93	63.63	0.86	13.94	4.11	0.02	1.19	2.59	0.89	2.34	0.05	2.02	7.89
73610	V <sub>102</sub> /25.05 - 25.19	51.05	0.83	16.35	5.40	0.02	1.43	4.58	0.86	2.60	0.07	3.90	12.43
73611	V <sub>102</sub> /26.53 - 26.62	52.96	0.87	16.18	4.67	0.02	1.38	4.75	1.01	2.58	0.06	3.59	11.46
73612	V <sub>102</sub> /27.16 - 27.40	48.83	0.80	15.49	6.18	0.02	1.25	6.07	0.90	2.44	0.07	4.61	12.87
73613	V <sub>102</sub> /28.09 - 28.23	51.77	0.85	16.00	4.82	0.02	1.42	5.00	0.96	2.51	0.07	3.90	12.21
73614	V <sub>102</sub> /31.10 - 31.26	41.00	0.69	14.53	4.58	0.03	1.57	12.27	0.90	2.05	0.07	4.10	17.74
73615	V <sub>102</sub> /33.00 - 33.06	48.97	0.83	16.29	5.18	0.02	1.45	5.62	0.97	2.64	0.08	3.57	13.88
73616	V <sub>102</sub> /33.06 - 33.28	49.57	0.83	16.13	5.18	0.02	1.49	5.64	1.00	2.60	0.07	4.02	12.97



S.-Nr.	Probenbezeichnung/ Bohrstrecke in [m]	SiO2 %	TiO2 %	Al2O3 %	Fe2O3 %	MnO %	MgO %	CaO %	Na2O %	K2O %	P2O5 %	(SO3) %	L.O.I. %
73617	V <sub>102</sub> /34.42 - 34.50	44.73	0.79	15.41	4.60	0.03	1.71	9.58	1.04	2.37	0.08	4.27	14.94
73618	V <sub>102</sub> /35.50 - 35.59	44.38	0.76	15.05	6.58	0.02	1.53	6.51	1.08	2.43	0.07	5.46	15.67
73619	V <sub>102</sub> /37.31 - 37.38	52.39	0.89	17.88	5.51	0.02	1.61	3.25	0.89	2.77	0.06	2.40	11.86
73620	V <sub>102</sub> /38.74 - 38.82	54.79	0.85	15.24	8.41	0.02	1.19	2.60	0.95	2.37	0.04	2.47	10.61
73621	V <sub>102</sub> /40.24 - 40.31	40.11	0.67	14.94	11.52	0.04	1.82	7.20	0.83	2.22	0.23	4.43	15.52
73622	V <sub>102</sub> /42.00 - 42.08	55.82	0.88	16.78	4.60	0.02	1.50	3.91	0.74	2.63	0.05	1.87	10.72
73623	V <sub>102</sub> /43.00 - 43.09	53.14	0.88	17.11	7.39	0.02	1.52	2.22	0.98	2.53	0.05	1.78	11.91
73624	V <sub>102</sub> /44.50 - 44.58	59.00	0.86	14.50	3.68	0.02	1.36	4.85	0.94	2.25	0.05	2.21	9.80
73625	V <sub>102</sub> /45.19 - 45.47	52.77	0.79	14.28	5.18	0.02	1.41	7.33	0.79	2.21	0.04	2.48	12.22
73626	V <sub>102</sub> /46.14 - 46.26	44.80	0.74	15.32	5.47	0.03	1.19	10.85	0.93	2.12	0.04	4.66	13.30
73627	V <sub>102</sub> /47.61 - 47.85	49.45	0.77	14.77	4.71	0.03	1.48	8.93	1.17	2.19	0.05	3.03	12.96
73628	V <sub>102</sub> /48.50 - 48.56	43.08	0.73	15.26	6.80	0.03	1.49	10.37	0.87	2.09	0.08	3.14	15.57

S.-Nr.	Probenbezeichnung/ Bohrstrecke in [m]	SiO2 %	TiO2 %	Al2O3 %	Fe2O3 %	MnO %	MgO %	CaO %	Na2O %	K2O %	P2O5 %	{SO3} %	L.O.I. %
73646	V <sub>104</sub> / 2.72 - 2.90	56.18	0.93	18.29	4.42	0.02	1.39	1.78	0.91	2.73	0.06	0.94	11.86
73647	V <sub>104</sub> / 3.52 - 3.69	54.50	0.88	16.45	5.32	0.02	1.27	4.85	0.75	2.60	0.06	2.27	10.56
73648	V <sub>104</sub> / 6.61 - 6.80	54.03	0.94	18.01	5.27	0.02	1.35	1.95	0.90	2.69	0.08	1.22	12.98
73649	V <sub>104</sub> / 9.19 - 9.42	58.04	0.89	16.76	4.25	0.02	1.27	3.20	0.95	2.65	0.05	1.66	9.77
73650	V <sub>104</sub> /10.64 - 10.80	55.30	0.89	17.23	5.26	0.02	1.01	2.86	0.81	2.59	0.06	1.62	11.87
73651	V <sub>104</sub> /12.07 - 12.27	14.38	0.23	4.68	2.36	0.07	0.73	41.02	0.04	0.46	0.07	1.52	34.08
73652	V <sub>104</sub> /12.50 - 12.73	50.27	0.83	17.37	5.86	0.02	1.04	5.06	0.85	2.64	0.06	2.34	13.19
73653	V <sub>104</sub> /14.72 - 14.87	53.83	0.92	18.04	4.86	0.02	1.19	3.23	1.24	2.91	0.06	1.41	11.80
73654	V <sub>104</sub> /19.53 - 19.68	52.50	0.85	15.92	4.03	0.02	1.09	7.39	0.85	2.42	0.03	2.95	11.48
73655	V <sub>104</sub> /20.52 - 20.68	38.21	0.63	13.52	5.51	0.02	0.93	14.28	0.97	1.73	0.08	6.72	16.94
73656	V <sub>104</sub> /23.59 - 23.80	57.65	0.98	18.88	4.88	0.02	1.27	0.99	0.85	2.92	0.04	0.53	10.51
73657	V <sub>104</sub> /24.54 - 24.75	45.24	0.74	14.45	5.09	0.02	1.18	9.82	0.92	2.19	0.07	5.27	14.53
73658	V <sub>104</sub> /26.00 - 26.19	50.24	0.86	17.15	5.18	0.02	1.28	4.56	0.80	2.79	0.09	2.53	14.01
73659	V <sub>104</sub> /28.75 - 28.90	53.14	0.88	16.19	4.53	0.02	1.39	4.85	0.82	2.62	0.07	2.30	12.72
73660	V <sub>104</sub> /30.94 - 31.10	48.24	0.83	16.81	4.75	0.02	1.51	6.38	0.94	2.66	0.08	3.15	14.14
73661	V <sub>104</sub> /33.39 - 33.59	47.67	0.83	16.29	5.19	0.02	1.45	6.33	1.19	2.68	0.10	3.17	14.58
73662	V <sub>104</sub> /37.10 - 37.30	49.43	0.86	17.39	4.88	0.02	1.37	4.35	0.95	2.76	0.08	2.18	15.26
73663	V <sub>104</sub> /38.80 - 39.04	51.73	0.89	18.73	5.62	0.02	1.40	2.82	0.86	2.94	0.05	1.34	13.11
73664	V <sub>104</sub> /40.80 - 41.00	46.26	0.80	16.76	9.36	0.02	1.32	4.93	0.81	2.61	0.10	2.68	13.85
73665	V <sub>104</sub> /43.05 - 43.37	55.92	0.94	18.00	4.70	0.02	1.36	3.26	0.80	2.86	0.05	1.32	10.29
73666	V <sub>104</sub> /46.87 - 47.00	47.62	0.79	15.19	4.10	0.02	1.15	10.85	1.04	2.06	0.04	2.56	14.09
73667	V <sub>104</sub> /48.69 - 48.87	50.57	0.80	15.03	4.55	0.03	1.35	8.89	0.96	2.12	0.04	1.88	13.31
73668	V <sub>104</sub> /49.37 - 49.50	37.03	0.62	12.44	7.75	0.05	1.42	16.17	0.82	1.43	2.22	2.35	17.20
73669	V <sub>104</sub> /50.23 - 50.36	45.98	0.76	15.41	4.64	0.03	1.44	10.95	1.18	2.05	0.07	2.32	14.68

S.-Nr.	Probenbezeichnung/ Bohrstrecke in [m]	SiO2 %	TiO2 %	Al2O3 %	Fe2O3 %	MnO %	MgO %	CaO %	Na2O %	K2O %	P2O5 %	(SO3) %	L.O.I. %
73670	F101/ 1.72 - 1.90	51.86	0.86	15.96	4.96	0.02	1.24	7.13	0.91	2.23	0.06	2.11	12.18
73671	F101/ 2.75 - 2.92	57.97	1.00	19.16	4.58	0.02	1.31	0.73	0.83	2.78	0.08	0.55	10.51
73672	F101/ 4.11 - 4.26	56.85	0.99	18.83	5.25	0.02	1.24	0.99	0.97	2.76	0.05	0.51	11.04
73673	F101/ 5.90 - 6.12	49.98	0.89	17.24	6.78	0.02	1.12	4.47	0.94	2.53	0.05	2.43	13.06
73674	F101/ 7.40 - 7.65	28.93	0.48	8.25	25.73	0.12	3.41	7.29	0.39	1.02	0.29	1.05	22.63
73675	F101/ 8.42 - 8.56	58.67	1.01	19.15	4.48	0.02	1.23	0.79	1.08	2.86	0.04	0.39	9.79
73676	F101/ 9.86 - 10.08	53.76	0.96	19.60	6.34	0.02	1.27	1.22	0.87	2.90	0.05	0.64	11.87
73677	F101/12.25 - 12.33	60.21	1.01	19.43	3.61	0.02	1.40	0.61	1.07	3.04	0.04	0.37	8.70
73678	F101/13.22 - 13.39	59.66	1.02	19.92	3.57	0.02	1.27	0.69	0.99	3.16	0.06	0.29	8.85
73824	F102/ 1.88 - 2.00	50.33	0.84	17.09	5.24	0.02	1.28	6.06	0.83	2.29	0.05	3.13	12.38
73825	F102/ 2.26 - 2.37	53.38	0.87	16.38	4.45	0.02	1.25	6.04	0.66	2.35	0.06	2.61	11.43
73826	F102/ 4.73 - 4.82	53.80	0.97	19.92	5.57	0.02	1.32	0.43	0.97	2.75	0.06	0.38	13.31
73827	F102/ 6.16 - 6.25	53.73	0.87	15.68	3.62	0.02	1.38	6.67	1.01	2.42	0.11	1.81	12.21
73828	F102/ 7.40 - 7.59	57.43	0.88	14.94	3.87	0.02	1.30	5.59	0.89	2.32	0.11	1.20	10.97
73829	F102/ 9.50 - 9.69	48.04	0.85	17.52	5.86	0.02	1.20	6.48	1.00	2.47	0.05	2.95	13.08
73830	F102/13.24 - 13.34	49.96	0.86	17.61	8.53	0.02	1.32	2.59	1.06	2.54	0.06	2.04	12.93
73831	F102/14.05 - 14.15	59.98	0.98	19.29	3.83	0.02	1.30	0.55	1.07	2.93	0.07	0.29	9.21
73858	F103/ 2.45 - 2.60	50.42	0.90	18.62	5.29	0.02	1.31	3.06	1.09	2.88	0.07	1.79	14.07

S.-Nr.	Probenbezeichnung/ Bohrstrecke in [m]	SiO2 %	TiO2 %	Al2O3 %	Fe2O3 %	MnO %	MgO %	CaO %	Na2O %	K2O %	P2O5 %	(SO3) %	L.O.I. %
73629	W106/ 2.30 - 2.80	52.29	0.86	17.62	4.45	0.02	1.42	4.56	1.05	2.49	0.05	2.21	12.50
73630	W106/ 5.00 - 5.50	57.61	0.96	18.19	5.08	0.02	1.41	0.69	1.06	2.60	0.05	0.73	11.10
73631	W106/11.30 - 11.80	54.01	0.91	18.62	4.85	0.02	1.27	3.13	1.04	2.66	0.05	1.82	11.14
73811	W107/ 1.00 - 1.10	51.06	0.88	18.42	5.28	0.02	1.01	2.66	1.17	2.53	0.05	2.24	14.19
73812	W107/ 2.70 - 2.80	57.36	0.97	17.91	4.77	0.02	1.31	1.90	1.03	2.53	0.05	1.69	9.98
73813	W107/ 4.20 - 4.30	52.35	0.87	16.40	5.71	0.02	1.29	5.60	0.87	2.39	0.05	4.57	9.41
74209	W107/ 5.15 - 5.20	61.77	0.99	18.04	3.53	0.02	0.99	1.17	0.71	2.61	0.07	0.70	8.91
74210	W107/ 7.20 - 7.30	61.66	0.97	17.21	4.68	0.02	0.96	0.62	0.90	2.59	0.07	0.62	9.20
74211	W107/ 8.05 - 8.10	53.39	0.96	20.18	6.32	0.02	0.87	0.44	0.91	2.80	0.08	0.42	13.13
74212	W107/10.20 - 10.30	53.30	0.93	19.53	6.15	0.02	0.91	1.55	0.87	2.76	0.07	0.81	12.62
74213	W107/10.60 - 10.70	53.78	0.92	18.81	6.78	0.02	0.93	1.38	0.89	2.72	0.09	0.89	12.29
74214	W107/12.15 - 12.22	58.57	0.96	18.28	4.27	0.02	0.89	2.40	0.71	2.74	0.07	1.07	9.50
74215	W107/14.60 - 14.70	53.37	0.87	16.18	3.99	0.02	0.91	7.09	0.78	2.35	0.09	1.45	12.37
74216	W107/16.01 - 16.05	55.94	0.93	18.70	3.36	0.02	1.04	4.09	0.84	2.89	0.07	1.09	10.50
74217	W107/17.70 - 17.80	54.60	0.97	20.08	6.00	0.02	0.89	0.75	0.79	2.91	0.08	0.66	11.76
74218	W107/18.50 - 18.60	50.11	0.85	17.02	4.19	0.02	0.86	7.82	0.89	2.36	0.11	2.14	13.12

S.-Nr.	Probenbezeichnung/ Bohrstrecke in [m]	SiO2 %	TiO2 %	Al2O3 %	Fe2O3 %	MnO %	MgO %	CaO %	Na2O %	K2O %	P2O5 %	(SO3) %	L.O.I. %
73814	U <sub>101</sub> / 2.00 - 2.20	52.98	0.90	17.58	4.09	0.02	1.36	5.16	0.85	2.62	0.05	2.72	11.19
73815	U <sub>101</sub> / 3.14 - 3.18	52.87	0.92	17.95	4.01	0.02	1.32	4.72	0.98	2.73	0.06	2.19	11.75
73816	U <sub>101</sub> / 4.85 - 5.05	51.85	0.91	18.12	4.82	0.02	1.32	4.09	0.91	2.75	0.05	2.78	11.91
73817	U <sub>101</sub> / 6.90 - 7.00	49.89	0.88	17.84	4.77	0.02	1.34	5.01	1.04	2.61	0.06	3.20	12.85
73818	U <sub>101</sub> / 7.20 - 7.40	49.57	0.86	17.85	4.94	0.02	1.23	4.80	1.18	2.60	0.05	3.29	13.13
73819	U <sub>102</sub> / 2.05 - 2.20	54.91	0.96	19.33	4.56	0.02	1.30	1.68	0.95	2.80	0.06	1.06	11.90
73820	U <sub>102</sub> / 3.30 - 3.40	54.50	0.95	19.50	4.76	0.02	1.23	1.39	1.15	2.80	0.05	1.03	12.13
73821	U <sub>102</sub> / 3.75 - 3.90	54.50	0.95	19.70	4.68	0.02	1.29	1.33	1.09	2.78	0.05	0.74	12.39
73822	U <sub>102</sub> / 6.00 - 6.20	54.68	0.95	19.62	4.77	0.02	1.23	1.30	0.99	2.76	0.06	0.84	12.31
73823	U <sub>102</sub> / 7.95 - 8.10	55.91	0.96	19.45	4.67	0.02	1.26	1.01	1.19	2.78	0.05	0.71	11.49
73833	U <sub>103</sub> / 1.10 - 1.24	50.94	0.89	18.64	5.21	0.02	1.26	2.46	0.93	2.64	0.06	1.31	15.16
73834	U <sub>103</sub> / 4.70 - 4.86	52.69	0.89	18.74	5.09	0.02	1.57	1.72	0.83	2.84	0.07	0.91	14.15
73835	U <sub>103</sub> / 9.40 - 9.60	52.46	0.89	17.69	4.54	0.02	1.60	4.23	1.21	2.69	0.05	2.24	11.91
73836	U <sub>103</sub> / 11.90 - 12.10	52.67	0.91	18.18	4.70	0.02	1.31	3.17	0.91	2.65	0.06	1.75	13.19
73837	U <sub>104</sub> / 1.15 - 1.25	55.26	0.96	19.60	4.67	0.02	1.31	1.38	1.12	2.92	0.05	0.84	11.39
73838	U <sub>104</sub> / 3.35 - 3.60	52.61	0.88	17.91	4.31	0.02	1.22	4.64	0.98	2.57	0.06	2.07	12.24
73839	U <sub>104</sub> / 3.95 - 4.15	52.71	0.88	17.51	4.06	0.02	1.43	5.12	1.08	2.63	0.05	2.05	11.99
73840	U <sub>104</sub> / 5.45 - 5.70	49.78	0.86	18.31	4.82	0.02	1.28	4.23	0.91	2.59	0.06	1.95	14.72
73841	U <sub>104</sub> / 6.05 - 6.20	53.00	0.89	17.62	4.02	0.02	1.51	4.90	0.95	2.76	0.05	2.06	11.69
73842	U <sub>104</sub> / 8.55 - 8.70	49.56	0.88	18.09	4.42	0.02	1.32	5.81	0.91	2.74	0.06	2.77	12.96
73843	U <sub>104</sub> / 10.55 - 10.65	50.36	0.88	18.89	4.93	0.02	1.27	2.91	1.13	2.65	0.07	1.56	14.85
73844	U <sub>104</sub> / 11.45 - 11.60	48.32	0.87	18.23	5.90	0.02	1.34	3.26	1.02	2.71	0.07	2.03	15.72

S.-Nr.	Probenbezeichnung/ Bohrstrecke in [m]	SiO2 %	TiO2 %	Al2O3 %	Fe2O3 %	MnO %	MgO %	CaO %	Na2O %	K2O %	P2O5 %	(SO3) %	L.O.I. %
73845	U105/ 1.00 - 1.15	53.31	0.90	18.50	4.58	0.02	1.66	2.28	1.02	2.78	0.06	1.31	13.11
73846	U105/ 2.00 - 2.10	56.63	0.93	17.37	4.74	0.02	1.52	2.45	1.05	2.73	0.07	1.37	10.65
73847	U105/ 4.20 - 4.30	55.76	0.94	17.70	4.28	0.02	1.48	3.04	1.01	2.77	0.06	1.68	10.78
73848	U105/ 5.00 - 5.15	50.27	0.89	17.51	5.35	0.02	1.32	4.22	0.87	2.58	0.07	2.79	13.60
73849	U105/ 6.80 - 6.95	57.28	0.90	17.41	4.90	0.02	1.48	1.23	1.14	2.63	0.06	0.99	11.47
73850	U106/ 1.70 - 1.80	56.41	0.93	17.76	4.54	0.02	1.66	2.03	0.93	2.72	0.07	1.42	11.03
73851	U106/ 2.30 - 2.45	54.44	0.88	16.91	4.29	0.02	1.58	4.69	0.89	2.61	0.06	2.20	10.98
73852	U106/ 3.40 - 3.55	53.55	0.93	18.83	4.31	0.02	1.47	2.19	1.05	2.72	0.07	1.28	13.09
73853	U106/ 6.50 - 6.65	53.92	0.94	18.03	4.99	0.02	1.48	3.09	0.95	2.79	0.07	2.06	11.19
74192	U107/ 1.50 - 1.60	55.58	0.97	19.89	4.74	0.02	0.96	1.56	0.51	2.89	0.09	0.90	11.42
74193	U107/ 3.50 - 3.60	55.81	0.99	19.43	4.50	0.02	1.01	1.79	1.28	2.90	0.08	1.24	10.45
74194	U107/ 4.30 - 4.60	50.67	0.89	18.55	5.30	0.02	0.92	4.06	0.90	2.58	0.09	2.39	13.11
74195	U107/ 5.70 - 5.80	52.61	0.88	18.14	4.32	0.02	0.92	4.64	1.09	2.63	0.07	2.65	11.55
74196	U107/ 7.00 - 7.15	52.93	0.92	18.33	4.12	0.02	0.91	4.82	0.71	2.75	0.08	2.33	11.58
74188	U108/ 2.30 - 2.45	40.46	0.66	13.01	9.30	0.04	1.18	11.87	0.81	1.70	0.11	2.75	17.63
74189	U108/ 4.10 - 4.40	46.35	0.78	15.04	7.30	0.03	1.14	8.73	0.80	2.11	0.09	2.42	14.71
74190	U108/ 5.30 - 5.50	55.25	0.95	19.00	4.87	0.02	0.91	2.01	0.92	2.77	0.08	1.64	11.09
74191	U108/ 6.90 - 7.00	55.93	0.96	20.14	4.88	0.02	0.81	0.74	0.95	2.80	0.09	0.73	11.47
73854	U110/ 1.20 - 1.30	59.47	0.99	17.90	4.12	0.02	1.41	1.18	1.00	2.76	0.05	0.74	9.88
73855	U110/ 2.20 - 2.50	55.59	0.95	18.39	4.93	0.02	1.36	1.82	1.02	2.77	0.05	1.18	11.44
73856	U110/ 3.50 - 3.60	56.17	0.92	18.73	5.25	0.02	1.30	1.45	1.02	2.76	0.06	0.98	10.87
73857	U110/ 5.90 - 6.20	49.73	0.85	16.60	5.85	0.02	1.44	5.86	1.21	2.56	0.07	2.74	12.61

S.-Nr.	Probenbezeichnung/ Bohrstrecke in [m]	SiO2 %	TiO2 %	Al2O3 %	Fe2O3 %	MnO %	MgO %	CaO %	Na2O %	K2O %	P2O5 %	(SO3) %	L.O.I. %
74203	U <sub>103A</sub> 0.50 - 0.65	50.72	0.87	17.77	4.65	0.02	0.91	5.92	0.88	2.65	0.08	2.45	12.60
74204	U <sub>103A</sub> 3.80 - 4.00	50.19	0.88	19.21	5.13	0.02	0.85	3.06	0.82	2.65	0.09	1.74	14.89
74205	U <sub>103A</sub> 4.70 - 4.80	53.37	0.93	19.24	4.68	0.02	1.03	2.60	0.84	2.95	0.11	1.35	12.40
74206	U <sub>103A</sub> 6.80 - 7.00	49.08	0.87	18.45	6.47	0.02	0.91	2.84	0.96	2.55	0.12	1.56	15.66
74207	U <sub>103A</sub> 8.80 - 9.00	55.06	0.93	19.24	4.91	0.02	1.11	1.46	0.88	2.86	0.09	0.92	12.04
74208	U <sub>103A</sub> 10.00 - 10.20	56.71	0.93	17.81	4.32	0.02	1.06	2.93	0.76	2.80	0.09	1.56	10.54
74197	U <sub>104A</sub> 1.50 - 1.60	48.84	0.87	18.23	6.46	0.02	0.70	3.34	0.92	2.51	0.08	2.11	15.43
74198	U <sub>104A</sub> 4.90 - 5.00	52.88	0.92	18.26	4.30	0.02	0.94	4.67	0.64	2.71	0.08	2.36	11.70
74199	U <sub>104A</sub> 6.00 - 6.10	50.42	0.89	18.42	4.97	0.02	0.76	4.30	0.75	2.58	0.08	2.51	13.82
74200	U <sub>104A</sub> 7.50 - 7.70	49.89	0.87	18.19	4.26	0.02	0.94	6.29	0.83	2.71	0.08	2.55	12.89
74201	U <sub>104A</sub> 9.00 - 9.20	49.40	0.87	18.05	4.28	0.02	0.94	6.61	0.69	2.75	0.09	2.78	13.03
74202	U <sub>104A</sub> 11.30 - 11.40	54.11	0.95	19.25	4.41	0.02	1.05	2.59	0.74	2.98	0.09	1.29	12.04

S.-Nr.	Probenbezeichnung/ Bohrstrecke in [m]	SiO2 %	TiO2 %	Al2O3 %	Fe2O3 %	MnO %	MgO %	CaO %	Na2O %	K2O %	P2O5 %	(SO3) %	L.O.I. %
74312	V106/ 0.00 - 1.00	50.85	0.81	15.97	6.73	0.03	1.22	5.84	0.97	2.43	0.07	2.55	12.24
74313	V106/ 1.00 - 2.00	52.56	0.93	18.66	5.24	0.02	0.98	3.28	0.99	2.72	0.07	2.46	11.81
74314	V106/ 2.00 - 3.00	50.97	0.87	17.50	5.48	0.02	1.13	4.88	1.20	2.64	0.08	2.84	12.10
74315	V106/ 3.00 - 4.00	53.83	0.90	18.37	5.03	0.02	0.97	2.63	1.03	2.78	0.07	2.16	11.92
74316	V106/ 4.00 - 5.00	55.41	0.93	17.86	4.60	0.02	1.26	2.68	0.89	2.75	0.05	1.92	11.34
74317	V106/ 5.00 - 6.00	53.88	0.93	18.17	4.51	0.02	1.24	3.60	0.78	2.73	0.07	2.51	11.27
74318	V106/ 6.00 - 7.00	54.28	0.95	18.74	4.71	0.02	1.27	2.08	1.02	2.79	0.06	1.78	12.03
74319	V106/ 7.00 - 8.00	52.36	0.89	17.78	4.99	0.02	0.95	4.01	1.02	2.70	0.07	2.34	12.59
74320	V106/ 8.00 - 9.00	54.07	0.91	17.84	5.09	0.02	1.22	2.94	0.84	2.73	0.07	2.15	11.84
74321	V106/ 9.00 - 10.00	54.03	0.92	17.83	5.15	0.02	1.33	2.88	0.80	2.73	0.06	2.03	11.93
74322	V106/10.00 - 11.00	57.24	0.90	16.97	4.48	0.02	0.88	3.08	0.90	2.65	0.04	1.81	10.75
74323	V106/11.00 - 12.00	53.49	0.87	16.93	5.03	0.02	0.76	4.74	0.75	2.68	0.06	2.73	11.66
74324	V106/12.00 - 13.00	54.07	0.84	16.15	4.63	0.02	0.85	5.61	0.73	2.56	0.06	2.59	11.60
74325	V106/13.00 - 14.00	51.07	0.83	16.44	4.75	0.02	0.95	6.97	0.66	2.62	0.08	2.73	12.59
74326	V106/14.00 - 15.00	50.50	0.85	16.99	4.98	0.02	0.74	6.13	0.76	2.69	0.08	3.39	12.59
74327	V106/15.00 - 16.00	52.43	0.87	17.05	5.03	0.02	0.91	4.93	0.85	2.66	0.06	2.90	11.99
74328	V106/16.00 - 17.00	52.15	0.88	16.52	4.87	0.02	0.90	5.87	0.86	2.64	0.06	2.67	12.28
74329	V106/17.00 - 18.00	51.33	0.87	16.78	5.40	0.02	0.85	5.17	0.70	2.59	0.07	3.32	12.61
74330	V106/18.00 - 19.00	49.77	0.86	16.56	5.39	0.02	0.91	6.13	0.95	2.55	0.07	3.41	13.09
74331	V106/19.00 - 20.00	50.69	0.85	16.01	4.67	0.02	1.00	6.99	0.96	2.48	0.05	2.95	13.05
74332	V106/20.00 - 21.00	49.51	0.84	15.88	4.73	0.02	0.98	7.85	0.70	2.44	0.05	3.77	12.95
74333	V106/21.00 - 22.00	47.42	0.80	15.43	4.86	0.02	0.93	8.99	0.81	2.37	0.05	4.35	13.70
74334	V106/22.00 - 23.00	44.55	0.77	14.59	4.36	0.02	0.73	12.25	0.89	2.06	0.08	3.86	15.55
74335	V106/23.00 - 24.00	51.89	0.88	16.96	4.68	0.02	0.77	5.74	1.00	2.68	0.05	2.97	12.08
74336	V106/24.00 - 25.00	55.71	0.90	16.25	4.65	0.02	0.91	4.38	0.84	2.64	0.06	2.40	10.95
74337	V106/25.00 - 26.00	51.70	0.83	15.33	4.75	0.02	0.87	6.38	0.96	2.48	0.07	3.58	12.74
74338	V106/26.00 - 27.00	50.53	0.86	16.41	5.15	0.02	1.09	5.28	0.90	2.70	0.09	3.44	13.24
74339	V106/27.00 - 28.00	50.64	0.86	16.43	5.47	0.02	1.06	5.36	0.65	2.69	0.09	3.74	12.72
74340	V106/28.00 - 29.00	48.87	0.85	16.03	5.57	0.02	0.86	6.45	1.00	2.63	0.07	4.56	12.80
74341	V106/29.00 - 30.00	49.27	0.84	15.99	5.15	0.02	1.13	6.27	1.02	2.61	0.09	4.13	13.20



S.-Nr.	Probenbezeichnung/ Bohrstrecke in [m]	SiO2 %	TiO2 %	Al2O3 %	Fe2O3 %	MnO %	MgO %	CaO %	Na2O %	K2O %	P2O5 %	(SO3) %	L.O.I. %
74342	V106/30.00 - 31.00	46.32	0.80	15.65	5.38	0.02	1.07	8.32	0.84	2.52	0.08	5.05	13.65
74343	V106/31.00 - 32.00	45.22	0.79	15.61	5.26	0.02	1.06	8.91	0.89	2.48	0.09	5.13	14.28
74344	V106/32.00 - 33.00	46.28	0.78	15.23	4.91	0.03	1.00	8.90	0.83	2.44	0.08	4.76	14.48
74345	V106/33.00 - 34.00	48.91	0.84	16.40	5.20	0.02	1.07	5.83	0.86	2.72	0.10	4.11	13.65
74346	V106/34.00 - 35.00	49.55	0.87	16.74	5.16	0.02	1.14	5.46	0.80	2.75	0.07	3.96	13.17
74347	V106/35.00 - 36.00	46.94	0.81	15.82	4.81	0.03	1.17	7.83	0.80	2.60	0.08	4.63	14.20
74348	V106/36.00 - 37.00	46.14	0.79	15.66	5.03	0.03	1.21	7.92	0.81	2.57	0.08	5.06	14.43
74349	V106/37.00 - 38.00	49.84	0.87	17.28	4.67	0.02	1.16	4.79	1.20	2.75	0.06	3.38	13.68
74350	V106/38.00 - 39.00	52.74	0.90	17.88	4.46	0.02	1.22	3.91	0.90	2.89	0.06	2.45	12.28
74351	V106/39.00 - 40.00	52.89	0.90	17.70	5.67	0.02	1.00	3.57	0.76	2.84	0.06	2.69	11.60
74352	V106/40.00 - 41.00	55.47	0.92	17.53	5.20	0.02	1.14	3.22	0.88	2.77	0.08	2.20	10.26
74353	V106/41.00 - 42.00	56.84	0.93	16.96	4.96	0.02	1.17	2.94	0.83	2.76	0.06	1.85	10.40
74354	V106/42.00 - 43.00	56.69	0.89	15.74	4.68	0.02	1.09	4.74	0.60	2.61	0.05	1.71	10.90
74355	V106/43.00 - 44.00	55.33	0.92	17.31	4.79	0.02	1.16	4.01	0.77	2.79	0.05	1.95	10.63
74356	V106/44.00 - 45.00	55.94	0.91	16.51	4.84	0.02	0.99	4.31	0.92	2.68	0.06	1.86	10.69
74357	V106/45.00 - 46.00	55.94	0.92	16.12	4.88	0.02	1.03	4.46	0.89	2.61	0.06	2.14	10.63
74358	V106/46.00 - 47.00	55.11	0.89	15.83	4.86	0.02	1.00	5.37	0.76	2.51	0.05	2.13	11.19
74359	V106/47.00 - 48.00	42.37	0.73	14.85	5.14	0.03	0.83	13.38	0.73	1.90	0.10	2.91	16.71
74360	V106/48.00 - 49.00	48.93	0.84	16.47	5.11	0.03	0.93	8.05	1.04	2.44	0.06	2.45	13.38
74361	V106/49.00 - 50.00	46.07	0.78	15.44	5.85	0.03	1.05	9.97	0.83	2.22	0.19	2.11	15.17
74362	V106/50.00 - 51.00	47.44	0.80	15.98	4.99	0.03	1.09	9.38	0.92	2.30	0.10	2.33	14.35
74363	V106/51.00 - 52.00	39.82	0.66	13.42	4.64	0.03	1.01	16.26	0.70	1.76	0.12	2.92	18.39
74364	V106/52.00 - 53.00	41.32	0.69	13.73	4.78	0.03	0.95	15.08	0.74	1.83	0.10	2.85	17.64
74367	V106/53.00 - 54.00	45.26	0.77	15.70	6.92	0.03	0.80	9.73	0.62	2.29	0.07	4.91	12.61
74365	V106/54.00 - 55.00	44.80	0.76	15.52	7.38	0.03	0.87	9.63	0.74	2.30	0.08	5.45	12.15
74366	V106/55.00 - 55.50	45.46	0.74	14.82	5.74	0.03	1.03	10.91	0.72	2.14	0.07	3.85	14.22

## RF.- Analysen der Spurenelemente

Schacht 2 / Bohrungen von der Strecke 541 m Sohle / Mittelbarrême

S.-Nr.	Probenbezeichnung/ Bohrstrecke in [m]	As ppm	Ba ppm	Bi ppm	Ce ppm	Co ppm	Cr ppm	Cu ppm	Ga ppm	Hf ppm	Mo ppm	Nb ppm	Ni ppm
73437	Ort 541-1/-.-	35	346	<10	96	17	121	59	33	<18	21	22	56
73438	Ort 541-2/-.-	34	324	<10	112	16	135	43	34	<18	<4	23	44
73439	Ort 541-3/-.-	53	288	<10	65	22	136	48	28	<18	6	23	58
73440	Ort 541-4/-.-	74	345	<10	97	14	123	43	27	<18	31	21	63
73441	Ort 541-5/-.-	46	241	<10	72	16	125	28	31	<18	<4	20	39
73442	Ort 541-Pyritlage/-.-	39	295	<10	110	17	132	36	28	<18	12	21	56
73431	E <sub>4</sub> / 1.23 - 1.50	48	363	<10	109	16	128	36	33	<18	27	24	53
73432	E <sub>4</sub> / 7.00 - 7.26	38	257	<10	68	23	129	52	29	<18	<4	22	48
73433	E <sub>4</sub> /13.70 - 14.00	37	338	<10	86	13	107	19	28	<18	10	19	49
73428	E <sub>5</sub> / 0.70 - 0.95	37	314	<10	109	23	132	32	30	<18	<4	22	46
73429	E <sub>5</sub> / 6.80 - 7.00	51	328	<10	82	15	115	16	28	<18	25	19	42
73430	E <sub>5</sub> /12.60 - 12.70	30	379	<10	68	18	125	46	34	<18	<4	19	58
73425	E <sub>6</sub> / 0.75 - 1.00	60	312	<10	91	15	130	37	35	<18	13	21	48
73679	E <sub>6</sub> / 3.50 - 3.70	40	319	<10	95	17	135	43	33	<18	<4	21	50
73426	E <sub>6</sub> / 7.00 - 7.20	49	278	<10	55	21	116	34	30	<18	5	21	62
73680	E <sub>6</sub> / 9.82 - 10.00	<7	117	<10	74	14	40	29	15	<18	<4	9	15
73427	E <sub>6</sub> /13.00 - 13.28	40	377	<10	83	18	139	62	36	<18	<4	22	51

S.-Nr.	Probenbezeichnung/ Bohrstrecke in [m]	As ppm	Ba ppm	Bi ppm	Ce ppm	Co ppm	Cr ppm	Cu ppm	Ga ppm	Hf ppm	Mo ppm	Nb ppm	Ni ppm
73592	V <sub>102</sub> / 0.89 - 0.96	50	346	<10	87	17	120	37	30	<18	6	21	48
73593	V <sub>102</sub> / 2.38 - 2.48	64	323	<10	76	23	145	36	32	<18	32	25	49
73594	V <sub>102</sub> / 2.90 - 2.98	35	352	<10	83	18	126	34	29	<18	<4	21	42
73595	V <sub>102</sub> / 4.50 - 4.60	34	329	<10	74	25	128	26	29	<18	4	25	40
73596	V <sub>102</sub> / 5.05 - 5.13	36	370	<10	91	20	128	47	33	<18	9	21	51
73597	V <sub>102</sub> / 6.00 - 6.06	36	275	<10	105	19	122	35	30	<18	6	22	39
73598	V <sub>102</sub> / 8.99 - 9.03	43	319	<10	89	25	122	35	32	<18	7	23	50
73599	V <sub>102</sub> /10.57 - 10.62	39	362	<10	41	15	108	39	28	<18	5	21	44
73600	V <sub>102</sub> /11.50 - 11.61	47	264	<10	84	17	113	40	24	<18	6	20	45
73601	V <sub>102</sub> /13.37 - 13.50	18	353	<10	63	19	109	33	26	<18	<4	18	40
73602	V <sub>102</sub> /14.48 - 14.56	36	349	<10	67	19	118	39	27	<18	17	21	59
73603	V <sub>102</sub> /15.12 - 15.20	39	314	<10	87	22	125	31	30	<18	<4	20	39
73604	V <sub>102</sub> /16.15 - 16.26	30	313	<10	70	18	109	44	28	<18	18	21	53
73605	V <sub>102</sub> /18.34 - 18.46	43	292	<10	80	19	102	42	24	<18	22	18	64
73606	V <sub>102</sub> /19.36 - 19.44	36	349	<10	77	15	117	37	29	<18	<4	19	38
73607	V <sub>102</sub> /22.01 - 22.10	38	354	<10	82	16	120	35	27	<18	<4	23	38
73608	V <sub>102</sub> /22.40 - 22.58	45	355	<10	73	19	124	32	27	<18	5	22	47
73609	V <sub>102</sub> /23.77 - 23.93	78	290	<10	57	18	104	26	26	20	<4	19	34
73610	V <sub>102</sub> /25.05 - 25.19	33	322	<10	53	18	114	38	29	<18	50	23	56
73611	V <sub>102</sub> /26.53 - 26.62	24	257	<10	74	22	118	43	27	<18	18	20	45
73612	V <sub>102</sub> /27.16 - 27.40	31	323	<10	63	19	94	32	27	<18	45	20	51
73613	V <sub>102</sub> /28.09 - 28.23	33	297	<10	74	22	113	39	26	<18	36	19	46
73614	V <sub>102</sub> /31.10 - 31.26	27	299	<10	59	21	97	30	29	<18	26	20	61
73615	V <sub>102</sub> /33.00 - 33.06	33	299	<10	76	21	106	35	28	<18	33	24	66
73616	V <sub>102</sub> /33.06 - 33.28	31	364	<10	92	22	111	39	30	<18	29	24	58

S.-Nr.	Probenbezeichnung/ Bohrstrecke in [m]	As ppm	Ba ppm	Bi ppm	Ce ppm	Co ppm	Cr ppm	Cu ppm	Ga ppm	Hf ppm	Mo ppm	Nb ppm	Ni ppm
73617	V <sub>102</sub> /34.42 - 34.50	27	285	<10	36	13	114	29	28	<18	104	23	67
73618	V <sub>102</sub> /35.50 - 35.59	27	283	<10	78	12	108	33	28	18	24	20	53
73619	V <sub>102</sub> /37.31 - 37.38	45	322	<10	105	18	133	25	32	<18	<4	20	52
73620	V <sub>102</sub> /38.74 - 38.82	87	292	<10	53	21	115	26	25	<18	<4	22	49
73621	V <sub>102</sub> /40.24 - 40.31	52	272	<10	116	21	111	37	28	<18	<4	20	62
73622	V <sub>102</sub> /42.00 - 42.08	56	285	<10	61	20	115	24	28	<18	<4	25	42
73623	V <sub>102</sub> /43.00 - 43.09	47	344	<10	64	18	113	20	29	<18	<4	22	54
73624	V <sub>102</sub> /44.50 - 44.58	49	254	<10	77	20	108	15	24	<18	<4	24	37
73625	V <sub>102</sub> /45.19 - 45.47	68	248	<10	102	19	103	25	23	<18	<4	21	35
73626	V <sub>102</sub> /46.14 - 46.26	50	997	12	55	19	96	26	28	<18	<4	20	43
73627	V <sub>102</sub> /47.61 - 47.85	48	259	<10	85	22	103	25	27	<18	<4	21	34
73628	V <sub>102</sub> /48.50 - 48.56	42	345	<10	75	25	99	17	24	<18	<4	18	40

S.-Nr.	Probenbezeichnung/ Bohrstrecke in [m]	As ppm	Ba ppm	Bi ppm	Ce ppm	Co ppm	Cr ppm	Cu ppm	Ga ppm	Hf ppm	Mo ppm	Nb ppm	Ni ppm
73646	V <sub>104</sub> / 2.72 - 2.90	42	329	<10	62	20	145	37	37	<18	<4	17	84
73647	V <sub>104</sub> / 3.52 - 3.69	50	230	<10	64	18	117	38	28	<18	<4	20	40
73648	V <sub>104</sub> / 6.61 - 6.80	38	336	<10	90	20	128	39	34	<18	27	17	53
73649	V <sub>104</sub> / 9.19 - 9.42	34	330	<10	66	23	130	31	28	<18	<4	16	48
73650	V <sub>104</sub> /10.64 - 10.80	44	346	<10	87	22	121	28	29	<18	9	16	50
73651	V <sub>104</sub> /12.07 - 12.27	<7	114	<10	<35	12	26	20	14	<18	<4	6	14
73652	V <sub>104</sub> /12.50 - 12.73	39	341	<10	62	14	117	32	31	<18	17	19	56
73653	V <sub>104</sub> /14.72 - 14.87	45	387	<10	101	14	126	43	31	<18	5	18	56
73654	V <sub>104</sub> /19.53 - 19.68	42	358	<10	75	18	115	32	28	<18	<4	18	45
73655	V <sub>104</sub> /20.52 - 20.68	41	257	<10	76	16	89	33	28	<18	37	12	52
73656	V <sub>104</sub> /23.59 - 23.80	46	333	<10	72	15	140	34	32	<18	4	23	51
73657	V <sub>104</sub> /24.54 - 24.75	33	295	<10	76	18	92	41	27	<18	40	16	47
73658	V <sub>104</sub> /26.00 - 26.19	27	368	<10	91	16	120	36	27	<18	44	20	56
73659	V <sub>104</sub> /28.75 - 28.90	33	312	<10	59	14	122	72	29	<18	16	17	48
73660	V <sub>104</sub> /30.94 - 31.10	26	365	<10	87	14	113	83	29	<18	21	14	62
73661	V <sub>104</sub> /33.39 - 33.59	35	336	<10	76	22	113	140	27	<18	28	17	69
73662	V <sub>104</sub> /37.10 - 37.30	30	366	<10	70	15	117	65	27	<18	16	18	56
73663	V <sub>104</sub> /38.80 - 39.04	53	320	<10	80	20	122	42	32	<18	<4	16	48
73664	V <sub>104</sub> /40.80 - 41.00	71	381	11	109	21	116	55	30	<18	<4	14	60
73665	V <sub>104</sub> /43.05 - 43.37	68	376	<10	97	23	128	21	36	<18	<4	20	45
73666	V <sub>104</sub> /46.87 - 47.00	46	293	<10	87	21	104	26	27	<18	<4	13	38
73667	V <sub>104</sub> /48.69 - 48.87	53	276	<10	81	24	106	24	27	<18	<4	18	38
73668	V <sub>104</sub> /49.37 - 49.50	38	186	<10	271	21	76	16	26	<18	<4	14	30
73669	V <sub>104</sub> /50.23 - 50.36	55	275	10	57	23	91	20	29	<18	<4	15	38

S.-Nr.	Probenbezeichnung/ Bohrstrecke in [m]	As ppm	Ba ppm	Bi ppm	Ce ppm	Co ppm	Cr ppm	Cu ppm	Ga ppm	Hf ppm	Mo ppm	Nb ppm	Ni ppm
73670	F <sub>101</sub> / 1.72 - 1.90	37	357	<10	109	20	124	28	31	<18	<4	17	40
73671	F <sub>101</sub> / 2.75 - 2.92	39	378	<10	69	20	143	40	35	<18	<4	24	48
73672	F <sub>101</sub> / 4.11 - 4.26	44	342	<10	102	17	143	38	32	<18	<4	18	56
73673	F <sub>101</sub> / 5.90 - 6.12	78	322	<10	93	19	114	41	29	<18	14	19	69
73674	F <sub>101</sub> / 7.40 - 7.65	21	170	<10	88	12	63	18	20	<18	<4	6	22
73675	F <sub>101</sub> / 8.42 - 8.56	46	362	<10	67	27	133	39	36	<18	<4	18	56
73676	F <sub>101</sub> / 9.86 - 10.08	63	407	<10	85	23	129	50	36	<18	5	19	64
73677	F <sub>101</sub> /12.25 - 12.33	16	373	<10	89	12	132	41	35	<18	<4	21	42
73678	F <sub>101</sub> /13.22 - 13.39	22	369	<10	108	20	122	51	38	<18	<4	18	43
73824	F <sub>102</sub> / 1.88 - 2.00	59	254	<10	101	14	128	43	28	<18	<4	20	52
73825	F <sub>102</sub> / 2.26 - 2.37	140	307	<10	70	21	122	35	28	<18	<4	21	45
73826	F <sub>102</sub> / 4.73 - 4.82	65	345	<10	84	24	145	46	32	<18	<4	19	71
73827	F <sub>102</sub> / 6.16 - 6.25	36	275	<10	100	16	119	41	27	<18	<4	17	39
73828	F <sub>102</sub> / 7.40 - 7.59	36	257	<10	76	18	110	31	24	<18	<4	15	34
73829	F <sub>102</sub> / 9.50 - 9.69	54	333	<10	86	21	128	29	30	<18	<4	17	54
73830	F <sub>102</sub> /13.24 - 13.34	54	321	<10	53	20	116	39	29	<18	<4	19	68
73831	F <sub>102</sub> /14.05 - 14.15	34	386	<10	73	23	129	43	30	<18	<4	18	46
73858	F <sub>103</sub> / 2.45 - 2.60	72	361	<10	75	17	132	52	33	<18	17	18	59

S.-Nr.	Probenbezeichnung/ Bohrstrecke in [m]	As ppm	Ba ppm	Bi ppm	Ce ppm	Co ppm	Cr ppm	Cu ppm	Ga ppm	Hf ppm	Mo ppm	Nb ppm	Ni ppm
73629	W106/ 2.30 - 2.80	43	298	<10	93	21	133	37	31	<18	4	23	53
73630	W106/ 5.00 - 5.50	45	336	<10	76	18	138	35	32	<18	5	25	48
73631	W106/11.30 - 11.80	43	302	<10	96	21	119	40	28	<18	<4	27	59
73811	W107/ 1.00 - 1.10	43	331	<10	86	25	125	53	34	<18	17	18	67
73812	W107/ 2.70 - 2.80	59	296	<10	100	20	134	32	31	<18	5	19	47
73813	W107/ 4.20 - 4.30	43	271	<10	74	17	114	25	26	<18	<4	15	37
74209	W107/ 5.15 - 5.20	27	272	<10	80	22	125	61	34	<18	<4	17	43
74210	W107/ 7.20 - 7.30	23	323	11	85	16	140	39	33	25	<4	21	46
74211	W107/ 8.05 - 8.10	86	351	<10	86	19	139	51	36	<18	8	22	67
74212	W107/10.20 - 10.30	45	311	<10	84	19	137	41	34	<18	<4	19	63
74213	W107/10.60 - 10.70	45	364	<10	63	19	134	60	34	<18	6	21	66
74214	W107/12.15 - 12.22	53	365	<10	98	23	121	230	30	<18	<4	21	51
74215	W107/14.60 - 14.70	25	219	<10	55	19	118	284	27	<18	<4	21	37
74216	W107/16.01 - 16.05	39	363	<10	82	21	122	403	32	<18	<4	22	33
74217	W107/17.70 - 17.80	75	352	<10	91	22	137	59	33	<18	<4	21	63
74218	W107/18.50 - 18.60	46	275	<10	68	24	122	434	32	<18	<4	19	43

S.-Nr.	Probenbezeichnung/ Bohrstrecke in [m]	As ppm	Ba ppm	Bi ppm	Ce ppm	Co ppm	Cr ppm	Cu ppm	Ga ppm	Hf ppm	Mo ppm	Nb ppm	Ni ppm
73814	U <sub>101</sub> / 2.00 - 2.20	24	319	<10	97	16	125	30	30	<18	8	19	40
73815	U <sub>101</sub> / 3.14 - 3.18	29	357	<10	96	13	138	34	33	<18	<4	16	44
73816	U <sub>101</sub> / 4.85 - 5.05	57	349	<10	71	18	127	44	31	<18	13	21	52
73817	U <sub>101</sub> / 6.90 - 7.00	53	364	<10	74	17	130	47	32	20	12	19	53
73818	U <sub>101</sub> / 7.20 - 7.40	53	276	<10	65	15	125	43	32	<18	14	21	57
73819	U <sub>102</sub> / 2.05 - 2.20	46	310	<10	73	15	136	46	31	<18	<4	20	48
73820	U <sub>102</sub> / 3.30 - 3.40	50	303	<10	114	18	139	43	37	<18	<4	19	59
73821	U <sub>102</sub> / 3.75 - 3.90	41	368	<10	82	13	143	44	33	<18	4	17	55
73822	U <sub>102</sub> / 6.00 - 6.20	39	300	<10	98	17	134	42	32	<18	<4	18	55
73823	U <sub>102</sub> / 7.95 - 8.10	35	343	<10	68	23	136	34	31	<18	6	18	56
73833	U <sub>103</sub> / 1.10 - 1.24	51	309	<10	80	19	127	46	31	<18	16	22	51
73834	U <sub>103</sub> / 4.70 - 4.86	42	299	<10	93	16	132	50	33	<18	19	18	59
73835	U <sub>103</sub> / 9.40 - 9.60	44	289	<10	72	19	140	37	32	<18	<4	16	44
73836	U <sub>103</sub> / 11.90 - 12.10	42	348	<10	71	17	137	50	29	<18	<4	18	52
73837	U <sub>104</sub> / 1.15 - 1.25	33	381	<10	108	11	144	34	31	<18	6	21	48
73838	U <sub>104</sub> / 3.35 - 3.60	29	288	<10	87	18	114	32	31	<18	5	17	42
73839	U <sub>104</sub> / 3.95 - 4.15	39	289	<10	72	22	123	36	31	<18	<4	21	43
73840	U <sub>104</sub> / 5.45 - 5.70	43	276	<10	65	14	124	46	28	<18	13	16	51
73841	U <sub>104</sub> / 6.05 - 6.20	39	338	<10	94	14	130	35	31	<18	<4	17	39
73842	U <sub>104</sub> / 8.55 - 8.70	47	304	<10	100	15	120	42	30	<18	10	21	47
73843	U <sub>104</sub> / 10.55 - 10.65	42	284	<10	96	26	132	50	32	<18	8	15	57
73844	U <sub>104</sub> / 11.45 - 11.60	57	348	<10	100	17	131	54	28	<18	41	10	71



S.-Nr.	Probenbezeichnung/ Bohrstrecke in [m]	As ppm	Ba ppm	Bi ppm	Ce ppm	Co ppm	Cr ppm	Cu ppm	Ga ppm	Hf ppm	Mo ppm	Nb ppm	Ni ppm
73845	U <sub>105</sub> / 1.00 - 1.15	37	275	<10	100	17	142	35	31	<18	4	20	51
73846	U <sub>105</sub> / 2.00 - 2.10	43	270	<10	78	25	125	28	32	<18	<4	16	42
73847	U <sub>105</sub> / 4.20 - 4.30	43	338	<10	119	20	133	24	30	<18	<4	19	39
73848	U <sub>105</sub> / 5.00 - 5.15	47	322	<10	103	17	127	38	36	<18	29	21	53
73849	U <sub>105</sub> / 6.80 - 6.65	46	333	<10	84	20	135	29	29	<18	<4	17	46
73850	U <sub>106</sub> / 1.70 - 1.80	52	273	<10	95	20	141	40	29	<18	5	22	43
73851	U <sub>106</sub> / 2.30 - 2.45	40	311	<10	52	20	119	32	32	<18	<4	20	42
73852	U <sub>106</sub> / 3.40 - 3.55	43	355	<10	80	17	137	55	33	<18	<4	16	54
73853	U <sub>106</sub> / 6.50 - 6.65	51	311	<10	83	16	132	33	27	<18	6	15	47
74192	U <sub>107</sub> / 1.50 - 1.60	31	349	<10	76	12	132	42	33	<18	<4	19	54
74193	U <sub>107</sub> / 3.50 - 3.60	44	313	<10	93	20	143	138	36	<18	<4	20	41
74194	U <sub>107</sub> / 4.30 - 4.60	55	288	<10	84	11	120	54	32	<18	11	19	49
74195	U <sub>107</sub> / 5.70 - 5.80	26	291	<10	90	25	133	82	31	<18	<4	17	47
74196	U <sub>107</sub> / 7.00 - 7.15	44	296	<10	85	14	136	193	33	<18	4	21	54
74188	U <sub>108</sub> / 2.30 - 2.45	34	224	<10	73	18	103	215	27	<18	<4	15	34
74189	U <sub>108</sub> / 4.10 - 4.40	27	246	<10	84	10	105	260	27	<18	<4	17	33
74190	U <sub>108</sub> / 5.30 - 5.50	59	307	<10	85	14	132	60	31	<18	6	19	50
74191	U <sub>108</sub> / 6.90 - 7.00	38	321	<10	101	24	143	88	32	<18	8	22	53
73854	U <sub>110</sub> / 1.20 - 1.30	38	380	<10	71	19	133	31	30	<18	<4	21	39
73855	U <sub>110</sub> / 2.20 - 2.50	54	314	<10	97	20	133	36	34	<18	5	23	51
73856	U <sub>110</sub> / 3.50 - 3.60	29	325	<10	80	15	137	34	30	<18	<4	21	42
73857	U <sub>110</sub> / 5.90 - 6.20	40	281	<10	91	15	118	34	27	<18	6	19	44

S.-Nr.	Probenbezeichnung/ Bohrstrecke in [m]	As ppm	Ba ppm	Bi ppm	Ce ppm	Co ppm	Cr ppm	Cu ppm	Ga ppm	Hf ppm	Mo ppm	Nb ppm	Ni ppm
74203	U <sub>103A</sub> 0.50 - 0.65	55	297	<10	100	20	138	42	30	<18	4	20	47
74204	U <sub>103A</sub> 3.80 - 4.00	49	308	<10	71	16	127	61	35	<18	16	17	54
74205	U <sub>103A</sub> 4.70 - 4.80	55	332	<10	78	21	137	51	32	<18	6	20	54
74206	U <sub>103A</sub> 6.80 - 7.00	40	345	<10	76	25	117	73	32	<18	40	18	67
74207	U <sub>103A</sub> 8.80 - 9.00	51	297	<10	82	21	144	55	32	<18	<4	21	51
74208	U <sub>103A</sub> 10.00 - 10.20	53	310	<10	74	15	130	48	29	<18	5	22	38
74197	U <sub>104A</sub> 1.50 - 1.60	55	288	<10	93	24	121	42	34	<18	34	22	66
74198	U <sub>104A</sub> 4.90 - 5.00	48	308	10	104	11	126	422	30	<18	6	22	44
74199	U <sub>104A</sub> 6.00 - 6.10	59	296	<10	99	12	131	118	30	<18	18	17	53
74200	U <sub>104A</sub> 7.50 - 7.70	37	288	<10	87	18	131	37	28	<18	<4	20	45
74201	U <sub>104A</sub> 9.00 - 9.20	46	318	<10	89	13	123	55	32	<18	6	23	49
74202	U <sub>104A</sub> 11.30 - 11.40	49	311	11	72	15	138	45	34	<18	10	24	49

S.-Nr.	Probenbezeichnung/ Bohrstrecke in [m]	As ppm	Ba ppm	Bi ppm	Ce ppm	Co ppm	Cr ppm	Cu ppm	Ga ppm	Hf ppm	Mo ppm	Nb ppm	Ni ppm
74312	V <sub>106</sub> / 0.00 - 1.00	40	483	<10	77	16	113	43	30	20	<4	17	46
74313	V <sub>106</sub> / 1.00 - 2.00	44	359	<10	99	17	133	46	31	<18	12	16	53
74314	V <sub>106</sub> / 2.00 - 3.00	49	326	<10	79	22	126	44	32	<18	5	17	51
74315	V <sub>106</sub> / 3.00 - 4.00	54	298	<10	92	22	129	46	32	<18	11	21	55
74316	V <sub>106</sub> / 4.00 - 5.00	40	353	<10	82	17	127	36	33	<18	<4	18	48
74317	V <sub>106</sub> / 5.00 - 6.00	45	371	<10	68	19	139	36	36	<18	4	21	49
74318	V <sub>106</sub> / 6.00 - 7.00	39	352	<10	71	17	130	35	33	<18	<4	19	47
74319	V <sub>106</sub> / 7.00 - 8.00	44	302	<10	50	17	121	38	30	<18	16	21	57
74320	V <sub>106</sub> / 8.00 - 9.00	49	280	<10	57	25	123	34	34	<18	8	20	49
74321	V <sub>106</sub> / 9.00 - 10.00	42	341	<10	70	20	124	38	34	<18	9	21	56
74322	V <sub>106</sub> /10.00 - 11.00	42	302	<10	79	19	124	32	35	31	4	18	52
74323	V <sub>106</sub> /11.00 - 12.00	42	292	<10	73	19	120	31	32	<18	16	18	52
74324	V <sub>106</sub> /12.00 - 13.00	40	352	<10	105	21	115	38	29	24	6	16	50
74325	V <sub>106</sub> /13.00 - 14.00	33	446	11	73	20	110	40	29	<18	<4	9	48
74326	V <sub>106</sub> /14.00 - 15.00	36	374	<10	76	14	114	34	30	<18	21	17	49
74327	V <sub>106</sub> /15.00 - 16.00	40	367	<10	78	19	122	36	31	<18	17	16	48
74328	V <sub>106</sub> /16.00 - 17.00	44	300	<10	78	15	122	43	28	<18	12	17	46
74329	V <sub>106</sub> /17.00 - 18.00	38	328	<10	107	18	116	36	29	<18	26	17	66
74330	V <sub>106</sub> /18.00 - 19.00	45	303	10	79	18	119	43	28	<18	19	20	60
74331	V <sub>106</sub> /19.00 - 20.00	41	312	<10	87	18	113	38	28	<18	11	23	51
74332	V <sub>106</sub> /20.00 - 21.00	43	246	<10	109	12	112	45	33	<18	8	19	44
74333	V <sub>106</sub> /21.00 - 22.00	48	269	<10	100	15	107	35	28	<18	14	18	48
74334	V <sub>106</sub> /22.00 - 23.00	38	389	<10	68	23	107	31	26	<18	6	15	43
74335	V <sub>106</sub> /23.00 - 24.00	42	383	<10	77	22	114	33	32	<18	<4	18	50
74336	V <sub>106</sub> /24.00 - 25.00	53	344	<10	96	20	122	37	31	<18	5	19	47
74337	V <sub>106</sub> /25.00 - 26.00	37	298	<10	75	19	118	34	30	<18	29	17	49
74338	V <sub>106</sub> /26.00 - 27.00	36	333	<10	69	19	118	44	29	<18	42	19	51
74339	V <sub>106</sub> /27.00 - 28.00	37	258	<10	48	25	105	39	30	<18	43	21	54
74340	V <sub>106</sub> /28.00 - 29.00	33	310	<10	80	11	105	44	27	<18	52	16	50
74341	V <sub>106</sub> /29.00 - 30.00	34	305	<10	91	19	116	42	31	<18	42	15	53

S.-Nr.	Probenbezeichnung/ Bohrstrecke in [m]	As ppm	Ba ppm	Bi ppm	Ce ppm	Co ppm	Cr ppm	Cu ppm	Ga ppm	Hf ppm	Mo ppm	Nb ppm	Ni ppm
74342	V <sub>106</sub> /30.00 - 31.00	37	279	<10	72	16	98	44	28	<18	42	14	60
74343	V <sub>106</sub> /31.00 - 32.00	36	288	<10	66	22	104	45	32	<18	42	18	61
74344	V <sub>106</sub> /32.00 - 33.00	33	283	<10	88	23	111	43	28	<18	24	19	59
74345	V <sub>106</sub> /33.00 - 34.00	36	307	<10	66	17	107	39	32	<18	29	15	62
74346	V <sub>106</sub> /34.00 - 35.00	35	368	<10	84	20	109	38	35	18	33	18	71
74347	V <sub>106</sub> /35.00 - 36.00	37	303	15	71	20	102	42	27	<18	31	14	62
74348	V <sub>106</sub> /36.00 - 37.00	30	260	<10	86	19	113	45	29	<18	52	14	56
74349	V <sub>106</sub> /37.00 - 38.00	32	327	<10	89	20	122	47	34	<18	21	19	59
74350	V <sub>106</sub> /38.00 - 39.00	32	323	<10	101	17	133	42	30	<18	<4	18	56
74351	V <sub>106</sub> /39.00 - 40.00	50	322	<10	64	17	138	35	31	<18	<4	19	50
74352	V <sub>106</sub> /40.00 - 41.00	55	395	<10	103	18	119	47	32	<18	<4	21	43
74353	V <sub>106</sub> /41.00 - 42.00	51	297	<10	66	18	124	28	31	<18	<4	18	44
74354	V <sub>106</sub> /42.00 - 43.00	54	238	<10	87	18	119	34	29	<18	<4	19	38
74355	V <sub>106</sub> /43.00 - 44.00	58	340	<10	61	21	117	20	32	<18	<4	19	41
74356	V <sub>106</sub> /44.00 - 45.00	59	277	<10	56	19	123	23	31	<18	<4	21	45
74357	V <sub>106</sub> /45.00 - 46.00	66	376	<10	76	14	105	30	34	<18	<4	17	45
74358	V <sub>106</sub> /46.00 - 47.00	58	295	<10	68	23	116	22	28	<18	<4	16	47
74359	V <sub>106</sub> /47.00 - 48.00	42	605	<10	80	22	103	27	27	<18	<4	15	33
74360	V <sub>106</sub> /48.00 - 49.00	58	328	<10	66	22	108	18	30	<18	<4	18	45
74361	V <sub>106</sub> /49.00 - 50.00	52	339	<10	83	20	99	17	24	<18	<4	14	37
74362	V <sub>106</sub> /50.00 - 51.00	53	285	13	93	24	109	26	30	<18	<4	14	46
74363	V <sub>106</sub> /51.00 - 52.00	39	248	11	68	12	86	18	24	<18	<4	13	31
74364	V <sub>106</sub> /52.00 - 53.00	43	230	<10	77	19	84	22	27	<18	<4	13	34
74367	V <sub>106</sub> /53.00 - 54.00	51	275	<10	80	20	100	22	32	<18	<4	15	43
74365	V <sub>106</sub> /54.00 - 55.00	56	288	<10	84	22	92	29	29	<18	<4	16	42
74366	V <sub>106</sub> /55.00 - 55.50	46	253	<10	63	17	105	27	30	<18	<4	17	42

## RF.- Analysen der Spurenelemente

Schacht 2 / Bohrungen ausgehend von der Strecke 541 m Sohle / Mittelbarrême

S.-Nr.	Probenbezeichnung/ Bohrstrecke in [m]	Pb ppm	Rb ppm	Sn ppm	Sr ppm	Ta ppm	Th ppm	U ppm	V ppm	W ppm	Y ppm	Zn ppm	Zr ppm
73437	Ort 541-1/-.-	85	144	31	176	<10	18	<5	271	<10	25	83	185
73438	Ort 541-2/-.-	43	155	38	150	<10	12	<5	268	<10	22	72	209
73439	Ort 541-3/-.-	61	152	49	168	<10	26	<5	256	<10	20	99	186
73440	Ort 541-4/-.-	75	149	<30	173	<10	10	<5	217	<10	22	80	191
73441	Ort 541-5/-.-	32	144	38	172	<10	15	<5	214	<10	25	107	211
73442	Ort 541-Pyritlage/-.-	63	146	50	163	<10	15	8	257	<10	23	67	195
73431	E <sub>4</sub> / 1.23 - 1.50	48	147	31	185	<10	14	<5	197	<10	24	67	188
73432	E <sub>4</sub> / 7.00 - 7.26	44	148	48	162	<10	14	<5	218	<10	26	311	222
73433	E <sub>4</sub> /13.70 - 14.00	46	142	37	204	<10	10	<5	171	<10	24	143	187
73428	E <sub>5</sub> / 0.70 - 0.95	30	142	40	176	<10	13	<5	191	<10	23	69	202
73429	E <sub>5</sub> / 6.80 - 7.00	27	113	<30	195	<10	17	<5	179	<10	24	66	190
73430	E <sub>5</sub> /12.60 - 12.70	71	156	40	159	<10	17	<5	233	<10	21	73	203
73425	E <sub>6</sub> / 0.75 - 1.00	78	155	48	158	<10	21	<5	263	<10	18	82	190
73679	E <sub>6</sub> / 3.50 - 3.70	46	153	36	138	<10	16	<5	270	<10	24	90	233
73426	E <sub>6</sub> / 7.00 - 7.20	58	146	<30	177	<10	12	<5	235	<10	24	88	188
73680	E <sub>6</sub> / 9.82 - 10.00	29	41	43	251	<10	<10	6	116	<10	19	36	95
73427	E <sub>6</sub> /13.00 - 13.28	43	165	38	143	<10	12	<5	237	<10	20	95	195

S.-Nr.	Probenbezeichnung/ Bohrstrecke in [m]	Pb ppm	Rb ppm	Sn ppm	Sr ppm	Ta ppm	Th ppm	U ppm	V ppm	W ppm	Y ppm	Zn ppm	Zr ppm
73592	V <sub>102</sub> / 0.89 - 0.96	45	147	31	189	<10	17	<5	189	<10	25	64	176
73593	V <sub>102</sub> / 2.38 - 2.48	33	156	33	155	<10	14	<5	210	<10	19	75	208
73594	V <sub>102</sub> / 2.90 - 2.98	31	147	41	165	<10	11	<5	195	<10	22	81	210
73595	V <sub>102</sub> / 4.50 - 4.60	32	149	<30	165	<10	16	<5	193	<10	21	70	213
73596	V <sub>102</sub> / 5.05 - 5.13	44	154	36	163	<10	20	<5	192	<10	20	83	181
73597	V <sub>102</sub> / 6.00 - 6.06	26	146	38	199	<10	13	<5	208	<10	24	147	196
73598	V <sub>102</sub> / 8.99 - 9.03	43	150	<30	154	<10	19	<5	185	<10	22	61	216
73599	V <sub>102</sub> /10.57 - 10.62	26	146	<30	197	<10	16	<5	192	<10	26	57	198
73600	V <sub>102</sub> /11.50 - 11.61	23	141	38	186	<10	15	<5	181	<10	21	96	212
73601	V <sub>102</sub> /13.37 - 13.50	40	150	<30	205	<10	18	<5	139	<10	21	52	191
73602	V <sub>102</sub> /14.48 - 14.56	44	155	31	164	<10	13	<5	220	<10	18	90	191
73603	V <sub>102</sub> /15.12 - 15.20	32	145	41	163	<10	12	<5	196	<10	23	418	219
73604	V <sub>102</sub> /16.15 - 16.26	43	138	41	213	<10	<10	<5	205	<10	25	61	172
73605	V <sub>102</sub> /18.34 - 18.46	28	121	41	248	<10	16	<5	203	<10	26	63	156
73606	V <sub>102</sub> /19.36 - 19.44	17	142	<30	204	<10	16	<5	209	<10	13	249	204
73607	V <sub>102</sub> /22.01 - 22.10	34	150	<30	164	<10	17	<5	218	<10	18	60	198
73608	V <sub>102</sub> /22.40 - 22.58	39	146	36	195	<10	18	<5	212	<10	19	55	188
73609	V <sub>102</sub> /23.77 - 23.93	23	127	<30	137	<10	18	<5	182	<10	17	68	303
73610	V <sub>102</sub> /25.05 - 25.19	42	139	40	235	<10	<10	<5	205	<10	23	75	197
73611	V <sub>102</sub> /26.53 - 26.62	28	136	53	192	<10	14	<5	197	<10	29	66	217
73612	V <sub>102</sub> /27.16 - 27.40	30	132	30	206	<10	<10	<5	155	<10	23	71	183
73613	V <sub>102</sub> /28.09 - 28.23	35	137	45	188	<10	10	<5	185	<10	17	80	203
73614	V <sub>102</sub> /31.10 - 31.26	<10	98	<30	252	<10	18	<5	230	<10	23	71	149
73615	V <sub>102</sub> /33.00 - 33.06	32	138	46	200	<10	10	<5	234	<10	25	101	180
73616	V <sub>102</sub> /33.06 - 33.28	37	137	<30	202	<10	12	<5	220	<10	24	94	182

S.-Nr.	Probenbezeichnung/ Bohrstrecke in [m]	Pb ppm	Rb ppm	Sn ppm	Sr ppm	Ta ppm	Th ppm	U ppm	V ppm	W ppm	Y ppm	Zn ppm	Zr ppm
73617	V <sub>102</sub> /34.42 - 34.50	32	126	<30	203	<10	14	<5	208	<10	18	60	158
73618	V <sub>102</sub> /35.50 - 35.59	20	118	42	237	<10	<10	<5	229	<10	22	99	162
73619	V <sub>102</sub> /37.31 - 37.38	43	152	63	173	<10	19	<5	193	<10	24	67	181
73620	V <sub>102</sub> /38.74 - 38.82	43	128	<30	136	<10	<10	<5	210	<10	19	72	218
73621	V <sub>102</sub> /40.24 - 40.31	50	112	<30	220	<10	14	<5	205	<10	33	61	140
73622	V <sub>102</sub> /42.00 - 42.08	37	142	45	180	<10	12	<5	222	<10	17	76	215
73623	V <sub>102</sub> /43.00 - 43.09	52	137	35	159	<10	17	<5	220	<10	24	80	204
73624	V <sub>102</sub> /44.50 - 44.58	34	118	36	208	<10	20	<5	207	<10	20	59	261
73625	V <sub>102</sub> /45.19 - 45.47	24	115	30	275	<10	<10	<5	201	<10	20	78	224
73626	V <sub>102</sub> /46.14 - 46.26	10	104	37	380	<10	<10	<5	197	<10	21	80	156
73627	V <sub>102</sub> /47.61 - 47.85	22	113	<30	307	<10	14	<5	204	<10	18	75	195
73628	V <sub>102</sub> /48.50 - 48.56	19	106	<30	430	<10	19	<5	171	<10	17	74	147

S.-Nr.	Probenbezeichnung/ Bohrstrecke in [m]	Pb ppm	Rb ppm	Sn ppm	Sr ppm	Ta ppm	Th ppm	U ppm	V ppm	W ppm	Y ppm	Zn ppm	Zr ppm
73646	V <sub>104</sub> / 2.72 - 2.90	34	156	39	156	<10	13	6	209	<10	18	60	224
73647	V <sub>104</sub> / 3.52 - 3.69	12	139	41	175	<10	24	<5	200	<10	21	62	216
73648	V <sub>104</sub> / 6.61 - 6.80	49	147	43	158	<10	17	10	241	<10	17	681	198
73649	V <sub>104</sub> / 9.19 - 9.42	37	149	<30	163	<10	13	<5	205	<10	22	89	233
73650	V <sub>104</sub> /10.64 - 10.80	35	147	48	162	<10	32	7	213	<10	23	66	213
73651	V <sub>104</sub> /12.07 - 12.27	20	24	<30	172	<10	<10	<5	54	<10	<5	18	65
73652	V <sub>104</sub> /12.50 - 12.73	44	148	48	201	<10	15	6	183	<10	19	65	188
73653	V <sub>104</sub> /14.72 - 14.87	42	155	45	175	<10	<10	<5	196	<10	21	61	190
73654	V <sub>104</sub> /19.53 - 19.68	21	132	38	227	<10	16	7	203	<10	18	60	209
73655	V <sub>104</sub> /20.52 - 20.68	<10	81	<30	299	<10	15	5	190	<10	23	70	136
73656	V <sub>104</sub> /23.59 - 23.80	38	157	<30	134	<10	18	<5	217	<10	18	74	208
73657	V <sub>104</sub> /24.54 - 24.75	10	114	<30	285	<10	29	6	186	<10	23	56	177
73658	V <sub>104</sub> /26.00 - 26.19	36	142	<30	210	<10	11	7	211	<10	18	79	184
73659	V <sub>104</sub> /28.75 - 28.90	27	135	<30	186	<10	15	<5	201	<10	23	86	209
73660	V <sub>104</sub> /30.94 - 31.10	24	139	35	209	<10	19	7	246	<10	20	75	171
73661	V <sub>104</sub> /33.39 - 33.59	19	138	43	223	<10	14	10	253	<10	24	74	178
73662	V <sub>104</sub> /37.10 - 37.30	35	145	41	189	<10	23	5	234	<10	22	69	168
73663	V <sub>104</sub> /38.80 - 39.04	60	163	61	177	<10	15	<5	198	<10	18	93	181
73664	V <sub>104</sub> /40.80 - 41.00	63	140	<30	212	<10	<10	11	207	<10	20	72	164
73665	V <sub>104</sub> /43.05 - 43.37	32	152	<30	177	<10	<10	10	235	<10	23	77	211
73666	V <sub>104</sub> /46.87 - 47.00	12	91	<30	403	<10	15	5	201	<10	17	87	185
73667	V <sub>104</sub> /48.69 - 48.87	12	101	<30	309	<10	12	5	206	<10	19	152	205
73668	V <sub>104</sub> /49.37 - 49.50	11	58	<30	443	<10	<10	17	147	<10	85	218	148
73669	V <sub>104</sub> /50.23 - 50.36	<10	94	51	415	<10	<10	<5	201	<10	13	96	169



S.-Nr.	Probenbezeichnung/ Bohrstrecke in [m]	Pb ppm	Rb ppm	Sn ppm	Sr ppm	Ta ppm	Th ppm	U ppm	V ppm	W ppm	Y ppm	Zn ppm	Zr ppm
73670	F <sub>101</sub> / 1.72 - 1.90	11	129	<30	212	<10	15	8	231	<10	23	70	202
73671	F <sub>101</sub> / 2.75 - 2.92	33	165	35	150	<10	12	9	255	<10	20	106	223
73672	F <sub>101</sub> / 4.11 - 4.26	48	156	33	153	<10	14	7	298	<10	25	98	213
73673	F <sub>101</sub> / 5.90 - 6.12	74	147	<30	210	<10	17	<5	225	<10	26	98	181
73674	F <sub>101</sub> / 7.40 - 7.65	<10	45	<30	160	<10	19	<5	140	<10	27	152	121
73675	F <sub>101</sub> / 8.42 - 8.56	46	168	58	153	<10	17	<5	280	<10	17	102	222
73676	F <sub>101</sub> / 9.86 - 10.08	64	168	45	159	<10	24	<5	278	<10	21	120	185
73677	F <sub>101</sub> /12.25 - 12.33	45	172	<30	153	<10	16	11	246	<10	17	92	223
73678	F <sub>101</sub> /13.22 - 13.39	47	177	30	150	<10	14	<5	278	<10	24	108	213
73824	F <sub>102</sub> / 1.88 - 2.00	25	136	37	201	<10	20	10	203	<10	26	66	193
73825	F <sub>102</sub> / 2.26 - 2.37	28	135	31	190	11	17	8	222	<10	26	113	216
73826	F <sub>102</sub> / 4.73 - 4.82	42	166	42	149	<10	18	<5	265	<10	27	106	187
73827	F <sub>102</sub> / 6.16 - 6.25	11	134	<30	220	<10	15	<5	226	<10	30	65	218
73828	F <sub>102</sub> / 7.40 - 7.59	23	133	65	192	<10	17	<5	219	<10	29	101	238
73829	F <sub>102</sub> / 9.50 - 9.69	25	152	41	230	<10	20	<5	221	<10	22	94	169
73830	F <sub>102</sub> /13.24 - 13.34	68	149	62	176	<10	14	8	233	<10	26	96	182
73831	F <sub>102</sub> /14.05 - 14.15	50	165	<30	147	<10	16	<5	261	<10	28	114	230
73858	F <sub>103</sub> / 2.45 - 2.60	38	160	<30	183	<10	23	7	250	<10	27	68	181

S.-Nr.	Probenbezeichnung/ Bohrstrecke in [m]	Pb ppm	Rb ppm	Sn ppm	Sr ppm	Ta ppm	Th ppm	U ppm	V ppm	W ppm	Y ppm	Zn ppm	Zr ppm
73629	W <sub>106</sub> / 2.30 - 2.80	35	153	<30	189	<10	12	6	191	<10	17	76	191
73630	W <sub>106</sub> / 5.00 - 5.50	55	150	47	142	<10	20	<5	269	19	20	104	215
73631	W <sub>106</sub> /11.30 - 11.80	40	157	42	175	<10	18	5	237	<10	22	94	188
73811	W <sub>107</sub> / 1.00 - 1.10	87	147	<30	177	<10	15	7	267	<10	20	114	190
73812	W <sub>107</sub> / 2.70 - 2.80	20	152	44	154	<10	20	8	237	<10	22	131	239
73813	W <sub>107</sub> / 4.20 - 4.30	35	144	41	187	<10	26	6	232	<10	25	67	209
74209	W <sub>107</sub> / 5.15 - 5.20	35	158	<30	141	<10	15	9	256	<10	18	173	260
74210	W <sub>107</sub> / 7.20 - 7.30	41	149	37	132	<10	<10	12	268	<10	25	221	252
74211	W <sub>107</sub> / 8.05 - 8.10	50	163	37	152	<10	14	7	265	<10	22	111	179
74212	W <sub>107</sub> /10.20 - 10.30	53	164	<30	163	<10	21	6	251	<10	17	112	182
74213	W <sub>107</sub> /10.60 - 10.70	58	156	<30	160	<10	14	10	233	<10	20	198	195
74214	W <sub>107</sub> /12.15 - 12.22	42	158	41	154	<10	21	10	275	<10	22	104	218
74215	W <sub>107</sub> /14.60 - 14.70	29	135	74	214	<10	19	<5	207	<10	22	222	201
74216	W <sub>107</sub> /16.01 - 16.05	25	160	<30	185	<10	10	12	250	<10	20	83	191
74217	W <sub>107</sub> /17.70 - 17.80	47	167	32	148	<10	12	9	256	<10	20	98	190
74218	W <sub>107</sub> /18.50 - 18.60	20	134	37	246	<10	17	6	232	<10	26	79	183

S.-Nr.	Probenbezeichnung/ Bohrstrecke in [m]	Pb ppm	Rb ppm	Sn ppm	Sr ppm	Ta ppm	Th ppm	U ppm	V ppm	W ppm	Y ppm	Zn ppm	Zr ppm
73814	U <sub>101</sub> / 2.00 - 2.20	28	146	46	193	<10	19	6	206	<10	28	65	217
73815	U <sub>101</sub> / 3.14 - 3.18	33	150	<30	190	<10	20	<5	197	<10	25	61	205
73816	U <sub>101</sub> / 4.85 - 5.05	36	153	47	187	<10	11	6	204	<10	22	67	192
73817	U <sub>101</sub> / 6.90 - 7.00	27	145	61	202	<10	20	11	196	<10	24	59	185
73818	U <sub>101</sub> / 7.20 - 7.40	42	142	<30	195	<10	13	<5	196	<10	26	83	180
73819	U <sub>102</sub> / 2.05 - 2.20	39	163	<30	161	<10	13	9	203	<10	25	86	197
73820	U <sub>102</sub> / 3.30 - 3.40	39	159	<30	161	<10	14	<5	208	<10	21	82	196
73821	U <sub>102</sub> / 3.75 - 3.90	48	162	<30	161	<10	19	5	207	<10	21	96	192
73822	U <sub>102</sub> / 6.00 - 6.20	37	160	42	154	<10	13	<5	203	<10	24	93	203
73823	U <sub>102</sub> / 7.95 - 8.10	43	162	46	155	10	12	<5	228	<10	22	97	215
73833	U <sub>103</sub> / 1.10 - 1.24	39	156	42	168	<10	15	<5	226	<10	22	75	205
73834	U <sub>103</sub> / 4.70 - 4.86	47	161	<30	163	<10	17	5	248	<10	27	86	197
73835	U <sub>103</sub> / 9.40 - 9.60	41	153	34	194	<10	19	11	174	<10	24	57	195
73836	U <sub>103</sub> /11.90 - 12.10	48	143	<30	181	<10	12	5	199	<10	30	67	200
73837	U <sub>104</sub> / 1.15 - 1.25	31	160	37	158	<10	14	5	233	<10	25	76	208
73838	U <sub>104</sub> / 3.35 - 3.60	23	145	39	196	10	12	10	207	<10	31	105	204
73839	U <sub>104</sub> / 3.95 - 4.15	17	149	38	189	<10	14	<5	202	<10	19	69	203
73840	U <sub>104</sub> / 5.45 - 5.70	53	149	34	188	<10	19	7	203	<10	22	105	193
73841	U <sub>104</sub> / 6.05 - 6.20	23	148	40	185	<10	20	<5	193	<10	26	382	207
73842	U <sub>104</sub> / 8.55 - 8.70	21	154	<30	207	<10	23	8	202	<10	27	56	187
73843	U <sub>104</sub> /10.55 - 10.65	45	155	<30	177	<10	21	8	239	<10	25	86	200
73844	U <sub>104</sub> /11.45 - 11.60	62	154	61	183	<10	23	7	253	<10	19	72	169

S.-Nr.	Probenbezeichnung/ Bohrstrecke in [m]	Pb ppm	Rb ppm	Sn ppm	Sr ppm	Ta ppm	Th ppm	U ppm	V ppm	W ppm	Y ppm	Zn ppm	Zr ppm
73845	U <sub>105</sub> / 1.00 - 1.15	36	155	<30	142	<10	18	7	191	<10	23	74	200
73846	U <sub>105</sub> / 2.00 - 2.10	34	147	<30	206	<10	21	<5	208	<10	25	131	232
73847	U <sub>105</sub> / 4.20 - 4.30	29	158	<30	160	<10	16	<5	205	<10	22	66	208
73848	U <sub>105</sub> / 5.00 - 5.15	44	143	31	182	<10	16	5	235	<10	24	385	192
73849	U <sub>105</sub> / 6.80 - 6.95	32	148	40	154	<10	<10	8	202	<10	23	63	240
73850	U <sub>106</sub> / 1.70 - 1.80	41	148	<30	156	<10	18	<5	202	<10	25	58	222
73851	U <sub>106</sub> / 2.30 - 2.45	33	146	36	179	<10	<10	<5	205	<10	23	62	223
73852	U <sub>106</sub> / 3.40 - 3.55	33	153	<30	165	<10	14	<5	218	<10	23	71	193
73853	U <sub>106</sub> / 6.50 - 6.65	32	155	56	168	<10	14	5	202	<10	21	77	205
74192	U <sub>107</sub> / 1.50 - 1.60	49	162	<30	157	<10	16	14	239	<10	21	86	200
74193	U <sub>107</sub> / 3.50 - 3.60	39	159	58	159	<10	18	12	218	<10	21	125	202
74194	U <sub>107</sub> / 4.30 - 4.60	51	151	<30	189	<10	14	11	201	<10	23	446	185
74195	U <sub>107</sub> / 5.70 - 5.80	28	152	<30	186	<10	20	9	190	<10	23	74	201
74196	U <sub>107</sub> / 7.00 - 7.15	18	156	<30	194	<10	18	22	207	<10	27	82	200
74188	U <sub>108</sub> / 2.30 - 2.45	35	89	53	226	<10	16	9	153	<10	31	150	163
74189	U <sub>108</sub> / 4.10 - 4.40	11	112	<30	212	<10	13	10	171	<10	26	232	172
74190	U <sub>108</sub> / 5.30 - 5.50	35	158	<30	155	<10	19	10	192	<10	18	89	196
74191	U <sub>108</sub> / 6.90 - 7.00	52	166	<30	153	<10	16	10	214	<10	20	106	201
73854	U <sub>110</sub> / 1.20 - 1.30	30	157	52	154	<10	19	<5	222	<10	29	113	228
73855	U <sub>110</sub> / 2.20 - 2.50	42	159	58	160	<10	20	5	202	<10	17	77	207
73856	U <sub>110</sub> / 3.50 - 3.60	40	157	65	148	<10	14	<5	228	<10	26	85	224
73857	U <sub>110</sub> / 5.90 - 6.20	25	145	51	197	<10	<10	9	181	<10	29	76	183

S.-Nr.	Probenbezeichnung/ Bohrstrecke in [m]	Pb ppm	Rb ppm	Sn ppm	Sr ppm	Ta ppm	Th ppm	U ppm	V ppm	W ppm	Y ppm	Zn ppm	Zr ppm
74197	U <sub>104A</sub> 1.50 - 1.60	83	143	<30	172	<10	16	5	223	<10	20	110	184
74198	U <sub>104A</sub> 4.90 - 5.00	30	153	<30	189	<10	18	9	202	<10	22	143	188
74199	U <sub>104A</sub> 6.00 - 6.10	50	147	<30	188	<10	16	11	205	<10	24	92	189
74200	U <sub>104A</sub> 7.50 - 7.70	15	149	42	208	<10	16	18	198	<10	27	61	184
74201	U <sub>104A</sub> 9.00 - 9.20	25	147	35	203	<10	13	12	186	<10	27	65	179
74202	U <sub>104A</sub> 11.30 - 11.40	32	167	<30	171	<10	<10	14	261	<10	27	66	191
74203	U <sub>103A</sub> 0.50 - 0.65	30	146	<30	197	<10	19	13	196	<10	26	206	192
74204	U <sub>103A</sub> 3.80 - 4.00	50	156	<30	181	<10	16	17	227	<10	16	161	194
74205	U <sub>103A</sub> 4.70 - 4.80	39	165	58	172	<10	12	14	262	<10	28	71	188
74206	U <sub>103A</sub> 6.80 - 7.00	65	149	44	173	<10	<10	20	243	<10	17	138	181
74207	U <sub>103A</sub> 8.80 - 9.00	37	165	<30	154	<10	16	17	200	<10	19	108	201
74208	U <sub>103A</sub> 10.00 - 10.20	23	147	<30	163	<10	11	6	196	<10	22	88	226

S.-Nr.	Probenbezeichnung/ Bohrstrecke in [m]	Pb ppm	Rb ppm	Sn ppm	Sr ppm	Ta ppm	Th ppm	U ppm	V ppm	W ppm	Y ppm	Zn ppm	Zr ppm
74312	V <sub>106</sub> / 0.00 - 1.00	20	135	<35	209	<10	15	7	194	<10	27	81	192
74313	V <sub>106</sub> / 1.00 - 2.00	38	152	41	181	<10	11	<5	231	<10	20	97	198
74314	V <sub>106</sub> / 2.00 - 3.00	38	147	39	196	<10	16	9	202	<10	25	132	200
74315	V <sub>106</sub> / 3.00 - 4.00	33	155	<35	173	<10	<10	10	217	<10	24	88	205
74316	V <sub>106</sub> / 4.00 - 5.00	46	153	<35	168	<10	15	9	217	<10	21	114	222
74317	V <sub>106</sub> / 5.00 - 6.00	27	153	37	181	<10	13	<5	213	<10	18	124	209
74318	V <sub>106</sub> / 6.00 - 7.00	45	159	44	168	<10	17	9	215	<10	20	99	208
74319	V <sub>106</sub> / 7.00 - 8.00	49	151	40	184	<10	17	8	220	<10	20	125	196
74320	V <sub>106</sub> / 8.00 - 9.00	41	159	<35	170	<10	21	11	201	<10	24	148	215
74321	V <sub>106</sub> / 9.00 - 10.00	37	155	<35	172	<10	12	8	203	<10	26	92	222
74322	V <sub>106</sub> /10.00 - 11.00	28	151	<35	162	<10	14	5	195	<10	25	109	237
74323	V <sub>106</sub> /11.00 - 12.00	44	152	<35	195	<10	16	7	209	<10	19	130	209
74324	V <sub>106</sub> /12.00 - 13.00	29	146	68	200	<10	14	5	198	<10	25	118	226
74325	V <sub>106</sub> /13.00 - 14.00	34	147	<35	224	<10	<10	8	175	<10	18	118	203
74326	V <sub>106</sub> /14.00 - 15.00	30	151	<35	219	<10	16	14	170	<10	20	97	197
74327	V <sub>106</sub> /15.00 - 16.00	57	151	51	203	11	14	11	198	<10	20	168	206
74328	V <sub>106</sub> /16.00 - 17.00	39	148	<35	216	13	15	11	197	<10	21	116	206
74329	V <sub>106</sub> /17.00 - 18.00	39	139	<35	205	<10	18	13	202	<10	27	126	205
74330	V <sub>106</sub> /18.00 - 19.00	31	141	<35	217	<10	12	15	214	<10	21	118	198
74331	V <sub>106</sub> /19.00 - 20.00	24	132	37	217	<10	<10	9	195	<10	23	89	202
74332	V <sub>106</sub> /20.00 - 21.00	27	136	41	238	<10	<10	15	209	<10	23	120	190
74333	V <sub>106</sub> /21.00 - 22.00	14	123	<35	246	<10	<10	21	207	<10	18	89	183
74334	V <sub>106</sub> /22.00 - 23.00	17	101	<35	283	<10	13	7	181	<10	20	113	182
74335	V <sub>106</sub> /23.00 - 24.00	34	148	40	209	<10	17	11	217	<10	15	113	205
74336	V <sub>106</sub> /24.00 - 25.00	34	142	35	188	<10	17	11	200	<10	20	127	239
74337	V <sub>106</sub> /25.00 - 26.00	38	134	<35	225	<10	<10	13	196	<10	24	155	231
74338	V <sub>106</sub> /26.00 - 27.00	35	144	38	226	<10	14	15	212	<10	24	112	205
74339	V <sub>106</sub> /27.00 - 28.00	41	144	43	202	<10	17	17	191	<10	21	109	200
74340	V <sub>106</sub> /28.00 - 29.00	36	139	54	210	<10	26	16	187	<10	17	157	191
74341	V <sub>106</sub> /29.00 - 30.00	33	134	<35	206	<10	12	11	186	<10	16	135	193

S.-Nr.	Probenbezeichnung/ Bohrstrecke in [m]	Pb ppm	Rb ppm	Sn ppm	Sr ppm	Ta ppm	Th ppm	U ppm	V ppm	W ppm	Y ppm	Zn ppm	Zr ppm
74342	V <sub>106</sub> /30.00 - 31.00	17	132	<35	230	<10	16	17	208	<10	18	84	180
74343	V <sub>106</sub> /31.00 - 32.00	<10	131	<35	234	<10	-19	16	203	<10	20	104	172
74344	V <sub>106</sub> /32.00 - 33.00	23	127	37	234	<10	19	17	244	<10	22	102	180
74345	V <sub>106</sub> /33.00 - 34.00	32	142	<35	202	<10	<10	15	275	<10	16	127	185
74346	V <sub>106</sub> /34.00 - 35.00	38	147	<35	201	<10	20	9	255	<10	18	133	181
74347	V <sub>106</sub> /35.00 - 36.00	20	136	<35	225	<10	10	17	243	<10	25	89	178
74348	V <sub>106</sub> /36.00 - 37.00	15	134	48	224	<10	14	18	230	<10	20	99	171
74349	V <sub>106</sub> /37.00 - 38.00	44	149	52	200	<10	18	12	213	<10	23	105	176
74350	V <sub>106</sub> /38.00 - 39.00	42	156	62	182	<10	13	6	200	<10	18	122	193
74351	V <sub>106</sub> /39.00 - 40.00	59	154	<35	181	<10	15	12	217	<10	22	132	197
74352	V <sub>106</sub> /40.00 - 41.00	56	150	35	172	<10	22	13	252	<10	24	201	212
74353	V <sub>106</sub> /41.00 - 42.00	51	147	<35	161	<10	21	7	236	<10	25	130	234
74354	V <sub>106</sub> /42.00 - 43.00	30	138	<35	190	<10	10	15	215	<10	23	132	242
74355	V <sub>106</sub> /43.00 - 44.00	39	149	<35	184	<10	13	9	228	<10	18	97	214
74356	V <sub>106</sub> /44.00 - 45.00	34	144	<35	190	<10	16	15	213	<10	22	112	231
74357	V <sub>106</sub> /45.00 - 46.00	33	133	36	182	<10	18	8	221	<10	22	110	233
74358	V <sub>106</sub> /46.00 - 47.00	40	136	<35	225	<10	16	9	208	<10	22	97	251
74359	V <sub>106</sub> /47.00 - 48.00	12	96	51	379	<10	17	13	180	<10	17	129	163
74360	V <sub>106</sub> /48.00 - 49.00	20	129	<35	304	<10	16	5	206	<10	14	140	184
74361	V <sub>106</sub> /49.00 - 50.00	<10	109	<35	370	<10	11	7	195	<10	21	114	176
74362	V <sub>106</sub> /50.00 - 51.00	15	119	<35	369	<10	15	15	203	<10	16	127	181
74363	V <sub>106</sub> /51.00 - 52.00	17	84	39	356	<10	12	7	159	<10	14	112	152
74364	V <sub>106</sub> /52.00 - 53.00	<10	91	38	357	<10	18	9	162	<10	17	116	158
74367	V <sub>106</sub> /53.00 - 54.00	29	117	<35	297	<10	12	12	212	<10	19	102	167
74365	V <sub>106</sub> /54.00 - 55.00	19	121	<35	299	<10	11	7	219	<10	14	109	173
74366	V <sub>106</sub> /55.00 - 55.50	<10	108	59	354	<10	20	10	173	<10	11	121	176

## Analyse von Hauptelementen im Spurenprogramm

Schacht 2 / Proben aus Bohrungen ausgehend von der 541 m Sohle / Mittelbarréme

Probenbezeichnung		SiO <sub>2</sub>	TiO <sub>2</sub>	Al <sub>2</sub> O <sub>3</sub>	Fe <sub>2</sub> O <sub>3</sub>	MnO	MgO	CaO	Na <sub>2</sub> O	K <sub>2</sub> O	P <sub>2</sub> O <sub>5</sub>	(SO <sub>3</sub> )	LOI
Bohrstrecke in (m)	Fraktion	%	%	%	%	%	%	%	%	%	%	%	%
V <sub>104</sub> / 2,72- 2,90m	<2μ	44.50	0.77	25.00	4.04	0.02	1.70	2.23	1.86	3.64	0.06	0.68	15.11
	2 - 6,3μ	56.81	1.15	18.11	3.69	0.03	1.64	1.61	0.27	2.72	0.06	1.55	11.99
	6,3 - 20 μ	69.39	1.11	9.03	4.93	0.03	1.48	2.05	0.26	1.56	0.05	1.47	8.28
	20 - 63 μ	76.59	0.53	5.59	4.14	0.02	0.74	1.28	0.68	1.17	0.06	0.87	8.01
V <sub>104</sub> /12,07-12,27m	<2μ	23.38	0.39	12.92	2.82	0.04	0.97	25.45	2.28	1.35	0.14	2.13	27.81
	2 - 6,3μ	15.12	0.31	3.30	2.53	0.08	0.65	39.78	<0.10	0.40	0.11	2.27	35.21
	6,3 - 20 μ	11.51	0.20	2.14	2.13	0.07	0.51	44.90	0.38	0.30	0.06	1.05	36.51
	20 - 63 μ	22.42	0.24	2.61	2.54	0.07	0.54	37.07	0.86	0.37	0.06	2.13	30.81
	> 63μ	14.00	0.21	4.40	2.30	0.07	0.70	41.29	0.11	0.60	0.07	1.47	34.54
V <sub>104</sub> /28,75-28,90m	<2μ	41.62	0.77	23.69	3.84	0.02	1.54	3.52	1.92	3.72	0.08	1.62	17.26
	2 - 6,3μ	49.52	1.00	17.09	4.15	0.03	1.48	6.47	<0.10	2.66	0.07	2.73	14.49
	6,3 - 20 μ	62.55	1.02	9.56	5.77	0.03	1.52	4.69	0.41	1.61	0.04	2.30	10.16
	20 - 63 μ	68.04	0.51	6.59	3.97	0.03	0.91	4.88	0.10	1.28	0.06	1.85	11.45
F <sub>101</sub> / 7,40- 7,65m	<2μ	38.54	0.72	21.81	5.91	0.03	1.54	7.83	1.29	3.17	0.74	0.61	17.42
	2 - 6,3μ	46.44	0.96	11.61	8.43	0.06	1.58	10.71	0.54	1.75	0.20	1.63	15.75
	6,3 - 20 μ	49.62	0.80	6.05	17.36	0.08	2.47	5.56	<0.10	1.04	0.09	1.41	15.15
	20 - 63 μ	17.16	0.19	1.88	40.18	0.17	4.86	5.85	<0.10	0.29	0.11	0.64	28.33
	> 63μ	14.46	0.22	3.02	38.43	0.16	4.96	8.27	0.19	0.33	0.28	1.47	27.90
F <sub>102</sub> / 2,26- 2,37m	<2μ	41.34	0.72	24.18	3.71	0.02	1.41	5.54	1.62	3.26	0.06	0.80	16.96
	2 - 6,3μ	51.17	1.09	12.72	3.49	0.03	1.18	11.37	<0.10	1.90	0.06	2.11	14.53
	6,3 - 20 μ	69.28	1.10	7.04	6.04	0.03	1.17	3.81	0.34	1.21	0.03	2.03	7.56
	20 - 63 μ	80.48	0.45	4.16	4.02	0.02	0.50	2.39	0.29	0.89	0.03	1.06	5.41



Probenbezeichnung		SiO <sub>2</sub>	TiO <sub>2</sub>	Al <sub>2</sub> O <sub>3</sub>	Fe <sub>2</sub> O <sub>3</sub>	MnO	MgO	CaO	Na <sub>2</sub> O	K <sub>2</sub> O	P <sub>2</sub> O <sub>5</sub>	(SO <sub>3</sub> )	LOI
Bohrstrecke in (m)	Fraktion	%	%	%	%	%	%	%	%	%	%	%	%
U <sub>101</sub> / 3,14- 3,18m	<2μ	42.68	0.77	24.76	3.51	0.02	1.53	4.30	1.58	3.62	0.07	0.90	15.85
	2 - 6.3μ	53.88	1.15	15.15	3.05	0.02	1.27	7.64	0.31	2.30	0.06	1.50	13.28
	6.3 - 20 μ	72.77	1.09	7.86	3.90	0.02	1.07	3.03	0.38	1.43	0.03	1.26	6.81
	20 - 63 μ	75.91	0.43	4.54	5.39	0.03	0.41	2.88	<0.10	1.04	<0.01	1.33	7.70
U <sub>103</sub> /11,90-12,10m	<2μ	42.60	0.76	24.68	3.91	0.02	1.59	2.37	1.70	3.48	0.06	0.83	17.59
	2 - 6.3μ	54.83	1.15	17.59	3.87	0.02	1.65	2.86	0.19	2.61	0.06	1.91	12.89
	6.3 - 20 μ	67.34	1.06	9.01	5.58	0.03	1.30	2.61	0.30	1.51	0.04	1.74	9.12
	20 - 63 μ	70.94	0.51	6.44	5.43	0.02	0.65	2.01	0.34	1.22	0.05	1.43	10.64
U <sub>105</sub> / 2,00- 2,10m	<2μ	43.33	0.78	25.41	4.00	0.02	1.63	1.40	1.91	3.56	0.06	0.64	16.89
	2 - 6.3μ	60.94	1.25	15.71	3.28	0.03	1.65	2.89	0.32	2.48	0.06	1.46	9.57
	6.3 - 20 μ	72.95	1.15	7.89	4.03	0.03	1.53	2.56	0.12	1.47	0.04	1.24	6.63
	20 - 63 μ	82.03	0.50	4.64	3.81	0.02	0.62	1.37	0.13	1.11	0.06	0.79	4.60
U <sub>110</sub> / 3,50- 3,60m	<2μ	45.39	0.78	26.41	3.90	0.02	1.42	1.34	1.44	3.56	0.05	0.36	14.93
	2 - 6.3μ	61.81	1.29	16.59	3.55	0.02	1.39	1.44	0.45	2.55	0.05	1.23	9.25
	6.3 - 20 μ	72.40	1.15	8.22	5.29	0.03	1.24	1.60	0.44	1.48	0.03	1.36	6.40
	20 - 63 μ	80.14	0.50	4.60	5.22	0.02	0.52	0.90	0.57	1.12	0.02	0.72	5.36

## RF.- Analysen der Spurenelemente

Schacht 2 / Proben aus Bohrungen ausgehend von der 541 m Sohle / Mittelbarréme

Probenbezeichnung		(As)	Ba	Bi	Ce	Co	Cr	Cu	Ga	Hf	Mo	Nb	Ni
Bohrstrecke in (m)	Fraktion	ppm	ppm	ppm	ppm	ppm	ppm	ppm	ppm	ppm	ppm	ppm	ppm
V <sub>104</sub> / 2,72- 2,90m	<2 $\mu$	18	318	<10	94	20	162	35	36	<18	<4	19	60
	2 - 6.3 $\mu$	23	388	<10	96	9	106	40	22	<18	4	23	54
	6.3 - 20 $\mu$	57	252	<10	58	15	74	48	14	<18	<4	23	51
	20 - 63 $\mu$	52	190	<10	56	11	56	32	9	<18	5	11	30
V <sub>104</sub> /12,07-12,27m	<2 $\mu$	18	253	<10	84	13	70	47	17	<18	<4	11	53
	2 - 6.3 $\mu$	16	76	<10	<35	7	19	120	<5	<18	<4	15	50
	6.3 - 20 $\mu$	21	<50	21	43	<7	31	11	6	<18	<4	6	21
	20 - 63 $\mu$	<7	200	12	<35	<7	24	<10	<5	<18	<4	19	45
	> 63 $\mu$	10	<50	<10	<35	12	15	<10	5	<18	<4	<5	14
V <sub>104</sub> /28,75-28,90m	<2 $\mu$	21	398	<10	101	8	170	21	33	<18	21	17	53
	2 - 6.3 $\mu$	34	427	<10	90	13	92	54	26	<18	14	16	63
	6.3 - 20 $\mu$	43	276	12	<35	11	66	29	12	<18	10	20	56
	20 - 63 $\mu$	30	180	11	50	8	55	31	9	<18	20	13	41
F <sub>101</sub> / 7,40- 7,65m	<2 $\mu$	16	328	<10	201	14	115	17	32	<18	<4	15	51
	2 - 6.3 $\mu$	22	225	<10	91	<7	65	13	17	<18	<4	15	37
	6.3 - 20 $\mu$	37	174	15	65	<7	54	31	7	<18	<4	18	30
	20 - 63 $\mu$	8	77	13	<35	<7	21	<10	<5	<18	<4	6	14
	> 63 $\mu$	13	129	10	83	<7	26	216	<5	<18	<4	6	14
F <sub>102</sub> / 2,26- 2,37m	<2 $\mu$	18	353	12	98	22	157	<10	32	<18	<4	14	56
	2 - 6.3 $\mu$	26	277	12	106	10	63	36	15	<18	<4	21	92
	6.3 - 20 $\mu$	70	253	<10	68	7	69	43	12	<18	<4	19	72
	20 - 63 $\mu$	64	157	<10	52	<7	35	27	9	<18	<4	8	30

Probenbezeichnung		(As)	Ba	Bi	Ce	Co	Cr	Cu	Ga	Hf	Mo	Nb	Ni
Bohrstrecke in (m)	Fraktion	ppm	ppm	ppm	ppm	ppm	ppm	ppm	ppm	ppm	ppm	ppm	ppm
U <sub>101</sub> / 3,14- 3,18m	<2 $\mu$	<7	387	12	109	<7	173	16	36	<18	<4	14	57
	2 - 6.3 $\mu$	27	372	<10	89	8	79	33	17	<18	<4	24	63
	6.3 - 20 $\mu$	60	229	<10	56	<7	72	35	11	<18	<4	20	41
	20 - 63 $\mu$	80	147	<10	64	<7	46	<10	<5	<18	<4	15	44
U <sub>103</sub> /11,90-12,10m	<2 $\mu$	15	341	<10	88	13	180	29	32	<18	6	16	57
	2 - 6.3 $\mu$	32	304	<10	97	13	109	51	16	<18	8	21	63
	6.3 - 20 $\mu$	78	263	<10	57	10	67	60	10	<18	8	20	51
	20 - 63 $\mu$	77	220	<10	67	10	57	40	7	<18	12	17	46
U <sub>105</sub> / 2,00- 2,10m	<2 $\mu$	14	333	<10	95	11	183	29	39	<18	<4	13	58
	2 - 6.3 $\mu$	35	385	<10	91	12	94	39	15	<18	<4	24	67
	6.3 - 20 $\mu$	71	237	11	<35	12	63	29	12	<18	<4	25	36
	20 - 63 $\mu$	55	235	<10	56	<7	44	24	<5	<18	4	14	22
U <sub>110</sub> / 3,50- 3,60m	<2 $\mu$	9	413	<10	90	18	179	20	37	<18	<4	13	62
	2 - 6.3 $\mu$	23	437	<10	123	19	94	42	28	<18	<4	23	64
	6.3 - 20 $\mu$	48	234	<10	62	11	72	51	7	<18	<4	16	47
	20 - 63 $\mu$	53	285	<10	<35	<7	40	39	9	<18	16	13	28

## RF.- Analysen der Spurenelemente

Schacht 2 / Proben aus Bohrungen ausgehend von der 541 m Sohle / Mittelbarréme

Probenbezeichnung		Pb	Rb	Sn	Sr	Ta	Th	U	V	W	Y	Zn	Zr
Bohrstrecke in (m)	Fraktion	ppm	ppm	ppm	ppm	ppm	ppm	ppm	ppm	ppm	ppm	ppm	ppm
V <sub>104</sub> / 2,72- 2,90m	<2 $\mu$	26	219	<50	329	<10	19	7	326	<10	21	76	129
	2 - 6.3 $\mu$	58	150	<50	118	<10	15	16	189	<10	29	58	166
	6.3 - 20 $\mu$	65	79	<50	77	<10	15	<5	91	<10	46	38	395
	20 - 63 $\mu$	35	57	<50	61	10	13	<5	62	<10	34	31	241
V <sub>104</sub> /12,07-12,27m	<2 $\mu$	<10	64	<50	238	<10	13	<5	143	<10	23	55	53
	2 - 6.3 $\mu$	58	36	<50	153	<10	30	<5	60	<10	6	50	58
	6.3 - 20 $\mu$	12	14	<50	159	<10	<10	<5	32	<10	7	22	73
	20 - 63 $\mu$	14	46	<50	135	<10	<10	21	77	<10	<5	16	79
	> 63 $\mu$	<10	34	<50	175	<10	17	<5	61	<10	11	11	58
V <sub>104</sub> /28,75-28,90m	<2 $\mu$	20	209	<50	266	<10	14	6	322	<10	26	55	127
	2 - 6.3 $\mu$	35	136	<50	168	<10	24	6	177	<10	33	87	148
	6.3 - 20 $\mu$	45	78	<50	110	<10	15	<5	91	<10	29	85	348
	20 - 63 $\mu$	21	60	<50	111	<10	17	<5	68	<10	32	118	227
F <sub>101</sub> / 7,40- 7,65m	<2 $\mu$	14	195	<50	334	<10	18	11	235	<10	64	79	120
	2 - 6.3 $\mu$	38	97	<50	171	<10	20	8	104	<10	30	81	127
	6.3 - 20 $\mu$	20	52	<50	94	<10	11	<5	84	<10	40	92	319
	20 - 63 $\mu$	<10	12	<50	81	<10	14	<5	127	<10	24	54	56
	> 63 $\mu$	12	22	<50	149	12	<10	<5	121	10	16	235	62
F <sub>102</sub> / 2,26- 2,37m	<2 $\mu$	14	202	<50	264	<10	13	<5	339	<10	23	66	124
	2 - 6.3 $\mu$	77	108	<50	189	<10	16	10	128	<10	31	66	156
	6.3 - 20 $\mu$	41	62	<50	91	<10	14	<5	81	<10	44	62	430
	20 - 63 $\mu$	<10	41	<50	62	<10	21	8	39	<10	24	88	183

Probenbezeichnung Bohrstrecke in (m)	Fraktion	Pb ppm	Rb ppm	Sn ppm	Sr ppm	Ta ppm	Th ppm	U ppm	V ppm	W ppm	Y ppm	Zn ppm	Zr ppm
U <sub>101</sub> / 3,14- 3,18m	<2 $\mu$	30	219	<50	252	<10	19	8	295	<10	23	61	131
	2 - 6.3 $\mu$	99	124	<50	159	<10	18	11	150	<10	33	63	170
	6.3 - 20 $\mu$	39	64	<50	88	<10	15	<5	83	<10	37	48	389
	20 - 63 $\mu$	<10	54	61	57	16	<10	<5	56	<10	22	83	151
U <sub>103</sub> /11,90-12,10m	<2 $\mu$	37	210	<50	233	<10	25	<5	301	<10	25	71	128
	2 - 6.3 $\mu$	58	140	<50	130	<10	20	5	169	<10	38	58	165
	6.3 - 20 $\mu$	53	80	<50	88	12	13	7	100	<10	28	36	357
	20 - 63 $\mu$	51	56	<50	63	<10	<10	<5	76	<10	27	41	188
U <sub>105</sub> / 2,00- 2,10m	<2 $\mu$	31	212	<50	228	<10	24	9	303	<10	20	69	126
	2 - 6.3 $\mu$	40	125	<50	128	<10	18	8	143	<10	37	94	200
	6.3 - 20 $\mu$	40	70	<50	77	13	14	18	81	<10	43	60	493
	20 - 63 $\mu$	21	48	<50	65	<10	15	9	52	<10	23	92	241
U <sub>110</sub> / 3,50- 3,60m	<2 $\mu$	28	224	<50	219	<10	18	<5	342	<10	19	91	136
	2 - 6.3 $\mu$	49	137	<50	108	<10	20	12	152	<10	37	80	201
	6.3 - 20 $\mu$	52	72	<50	63	<10	23	<5	82	<10	40	62	446
	20 - 63 $\mu$	19	53	<50	48	11	16	7	44	<10	20	70	253

# ANLAGE 4

## Tabelle:

Organischer  
Kohlenstoffgehalt

Schacht 2 / Bohrung ausgehend von der Stecke 541 m  
Sohle/Mittelbarrême

Abt.-Nr.	Lab.-Nr.	Probenbezeichnung/ Bohrstrecke (m)	C <sub>org</sub> (Gew.-%)
41860	74312	V <sub>106</sub> / 0.00 - 1.00	1.49
41860	74313	V <sub>106</sub> / 1.00 - 2.00	2.35
41860	74314	V <sub>106</sub> / 2.00 - 3.00	2.13
41860	74315	V <sub>106</sub> / 3.00 - 4.00	2.68
41860	74316	V <sub>106</sub> / 4.00 - 5.00	2.19
41860	74317	V <sub>106</sub> / 5.00 - 6.00	2.20
41860	74318	V <sub>106</sub> / 6.00 - 7.00	2.83
41860	74319	V <sub>106</sub> / 7.00 - 8.00	2.45
41860	74320	V <sub>106</sub> / 8.00 - 9.00	2.29
41860	74321	V <sub>106</sub> / 9.00 - 10.00	2.33
41860	74322	V <sub>106</sub> /10.00 - 11.00	1.63
41860	74323	V <sub>106</sub> /11.00 - 12.00	2.15
41860	74324	V <sub>106</sub> /12.00 - 13.00	1.68
41860	74325	V <sub>106</sub> /13.00 - 14.00	2.15
41860	74326	V <sub>106</sub> /14.00 - 15.00	1.41
41860	74327	V <sub>106</sub> /15.00 - 16.00	2.14
41860	74328	V <sub>106</sub> /16.00 - 17.00	2.22
41860	74329	V <sub>106</sub> /17.00 - 18.00	1.85
41860	74330	V <sub>106</sub> /18.00 - 19.00	2.70
41860	74331	V <sub>106</sub> /19.00 - 20.00	2.65
41860	74332	V <sub>106</sub> /20.00 - 21.00	2.01
41860	74333	V <sub>106</sub> /21.00 - 22.00	2.06
41860	74334	V <sub>106</sub> /22.00 - 23.00	2.24
41860	74335	V <sub>106</sub> /23.00 - 24.00	1.89
41860	74336	V <sub>106</sub> /24.00 - 25.00	2.00
41860	74337	V <sub>106</sub> /25.00 - 26.00	1.60
41860	74338	V <sub>106</sub> /26.00 - 27.00	2.56
41860	74339	V <sub>106</sub> /27.00 - 28.00	3.05
41860	74340	V <sub>106</sub> /28.00 - 29.00	2.82
41860	74341	V <sub>106</sub> /29.00 - 30.00	3.11
41860	74342	V <sub>106</sub> /30.00 - 31.00	2.98
41860	74343	V <sub>106</sub> /31.00 - 32.00	3.06
41860	74344	V <sub>106</sub> /32.00 - 33.00	3.07
41860	74345	V <sub>106</sub> /33.00 - 34.00	3.63
41860	74346	V <sub>106</sub> /34.00 - 35.00	3.29
41860	74347	V <sub>106</sub> /35.00 - 36.00	3.39
41860	74348	V <sub>106</sub> /36.00 - 37.00	3.83
41860	74349	V <sub>106</sub> /37.00 - 38.00	3.71
41860	74350	V <sub>106</sub> /38.00 - 39.00	2.43
41860	74351	V <sub>106</sub> /39.00 - 40.00	2.10
41860	74352	V <sub>106</sub> /40.00 - 41.00	1.30
41860	74353	V <sub>106</sub> /41.00 - 42.00	1.27
41860	74354	V <sub>106</sub> /42.00 - 43.00	0.97
41860	74355	V <sub>106</sub> /43.00 - 44.00	1.05
41860	74356	V <sub>106</sub> /44.00 - 45.00	0.94
41860	74357	V <sub>106</sub> /45.00 - 46.00	1.08
41860	74358	V <sub>106</sub> /46.00 - 47.00	0.85
41860	74359	V <sub>106</sub> /47.00 - 48.00	1.02
41860	74360	V <sub>106</sub> /48.00 - 49.00	0.96
41860	74361	V <sub>106</sub> /49.00 - 50.00	0.79

Schacht 2 / Bohrung ausgehend von der Stecke 541 m  
Sohle/Mittelbarrême

Abt.-Nr.	Lab.-Nr.	Probenbezeichnung/ Bohrstrecke (m)	C <sub>org</sub> (Gew.-%)
41860	74362	V <sub>106</sub> /50.00 - 51.00	0.85
41860	74363	V <sub>106</sub> /51.00 - 52.00	0.88
41860	74364	V <sub>106</sub> /52.00 - 53.00	0.93
41860	74367	V <sub>106</sub> /53.00 - 54.00	0.92
41860	74365	V <sub>106</sub> /54.00 - 55.00	0.79
41860	74366	V <sub>106</sub> /55.00 - 55.50	0.78



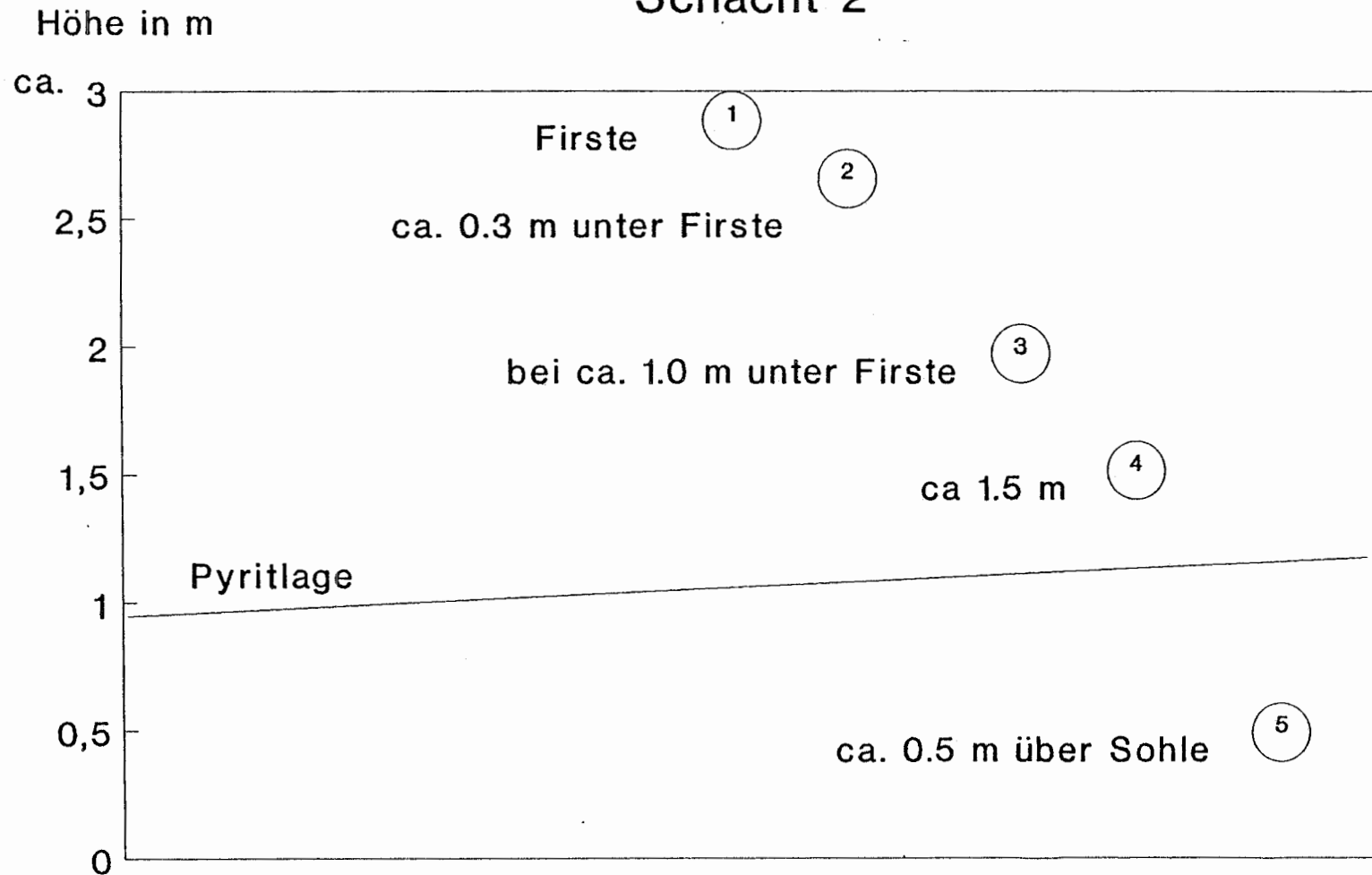
# ANLAGE 5

## Abbildungen

- Abb. 1 : Schematische Darstellung der Proben-Entnahmepunkte an der Ortsbrust der Untersuchungsstrecke 541 - Schacht 2 -
- Abb. 2 : Wasser- und Karbonatgehalt der Barrêmegesteinsproben
- Abb. 3 : Organischer Kohlenstoffgehalt von Proben der Bohrung V106
- Abb. 4 : Bohrung V102 - Trendverhalten von  $\text{SiO}_2$ ,  $\text{Al}_2\text{O}_3$ ,  $\text{Fe}_2\text{O}_3$ ,  $\text{CaO}$  und  $\text{K}_2\text{O}$
- Abb. 5 : Bohrung V104 - Trendverhalten von  $\text{SiO}_2$ ,  $\text{Al}_2\text{O}_3$ ,  $\text{Fe}_2\text{O}_3$ ,  $\text{CaO}$  und  $\text{K}_2\text{O}$  (alle Proben)
- Abb. 6 : Bohrung V104 - Trendverhalten von  $\text{SiO}_2$ ,  $\text{Al}_2\text{O}_3$ ,  $\text{Fe}_2\text{O}_3$ ,  $\text{CaO}$  und  $\text{K}_2\text{O}$  (ohne Probe aus Karbonatlinse)
- Abb. 7 : Bohrung F101 - Trendverhalten von  $\text{SiO}_2$ ,  $\text{Al}_2\text{O}_3$ ,  $\text{Fe}_2\text{O}_3$ ,  $\text{CaO}$  und  $\text{K}_2\text{O}$  (alle Proben)
- Abb. 8 : Bohrung F101 - Trendverhalten von  $\text{SiO}_2$ ,  $\text{Al}_2\text{O}_3$ ,  $\text{Fe}_2\text{O}_3$ ,  $\text{CaO}$  und  $\text{K}_2\text{O}$  (ohne Probe aus Karbonatlinse)
- Abb. 9 : Bohrung F102 - Trendverhalten von  $\text{SiO}_2$ ,  $\text{Al}_2\text{O}_3$ ,  $\text{Fe}_2\text{O}_3$ ,  $\text{CaO}$  und  $\text{K}_2\text{O}$
- Abb. 10 : Bohrung V106 - Trendverhalten von  $\text{SiO}_2$ ,  $\text{Al}_2\text{O}_3$ ,  $\text{Fe}_2\text{O}_3$ ,  $\text{CaO}$  und  $\text{K}_2\text{O}$
- Abb. 11 : Bohrung K101 - Trendverhalten von  $\text{SiO}_2$ ,  $\text{Al}_2\text{O}_3$ ,  $\text{Fe}_2\text{O}_3$ ,  $\text{CaO}$  und  $\text{K}_2\text{O}$
- Abb. 12 : Bohrung V102 - Trendverhalten von Quarz, Kaolinit, Muskovit/Illit und Calcit
- Abb. 13 : Bohrung V104 - Trendverhalten von Quarz, Kaolinit, Muskovit/Illit und Calcit
- Abb. 14 : Bohrung F101 - Trendverhalten von Quarz, Kaolinit, Muskovit/Illit und Calcit
- Abb. 15 : Bohrung F102 - Trendverhalten von Quarz, Kaolinit, Muskovit/Illit und Calcit

- Abb. 16 : Bohrung V106 - Trendverhalten von Quarz, Kaolinit, Muskovit/Illit und Calcit
- Abb. 17 : Bohrung V102 - Kumulativer Mineralbestand
- Abb. 18 : Bohrung V104 - Kumulativer Mineralbestand
- Abb. 19 : Bohrung F101 - Kumulativer Mineralbestand
- Abb. 20 : Bohrung F102 - Kumulativer Mineralbestand
- Abb. 21 : Bohrung V106 - Kumulativer Mineralbestand
- Abb. 22 : Bohrung V102 - Karbonat und kumulative Korngrößenverteilung
- Abb. 23 : Bohrung V104 - Karbonat und kumulative Korngrößenverteilung
- Abb. 24 : Bohrung F101 - Karbonat und kumulative Korngrößenverteilung
- Abb. 25 : Bohrung F102 - Karbonat und kumulative Korngrößenverteilung
- Abb. 26 : Bohrung V106 - Kumulative Korngrößenverteilung
- Abb. 27 : Bohrung K101 - Kumulative Korngrößenverteilung und Gehalt von organischem Kohlenstoff

# Proben-Entnahmepunkte an der Ortsbrust der Untersuchungsstrecke 541 - Schacht 2 -



# Wassergehalt/Karbonat Barrême-Proben

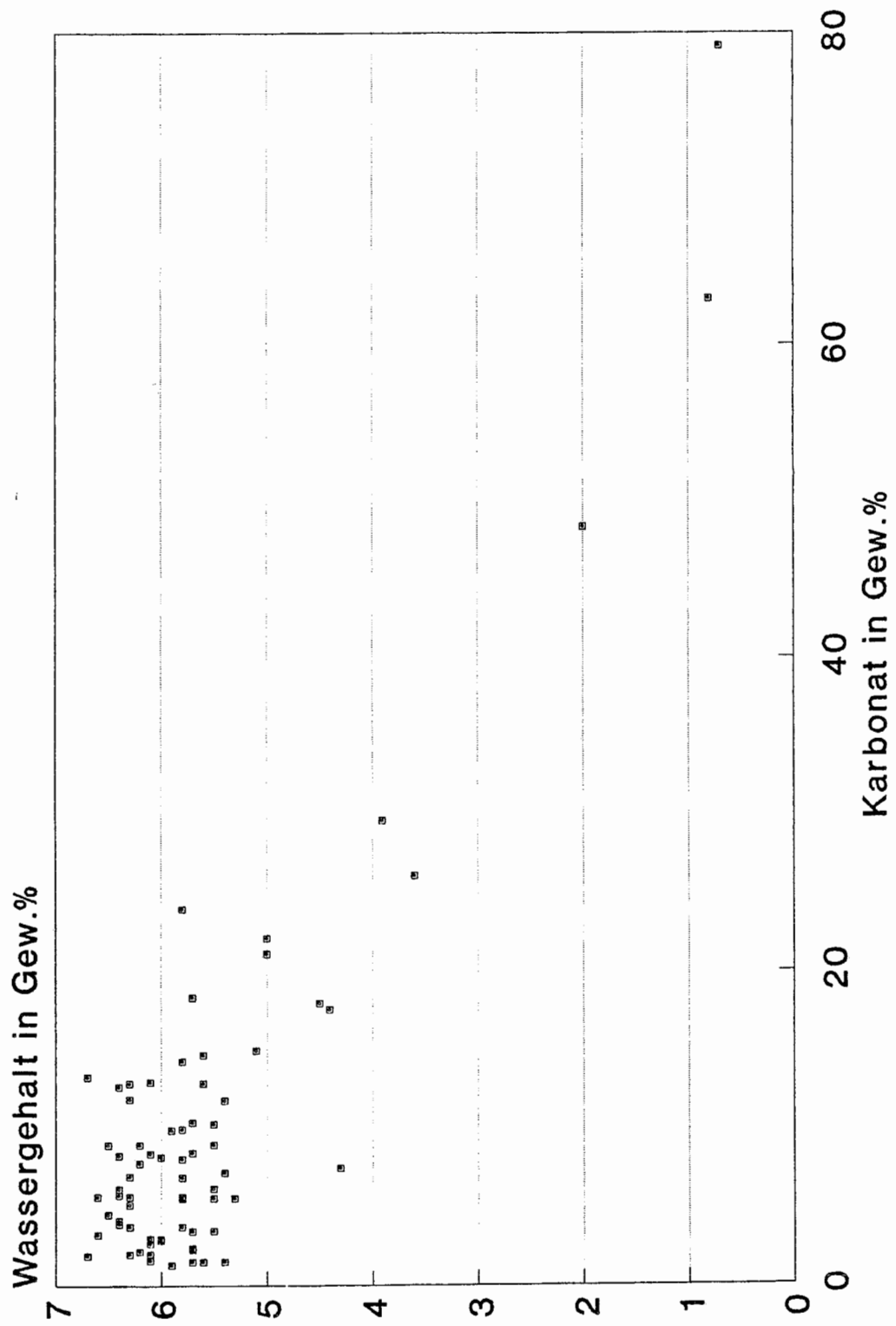
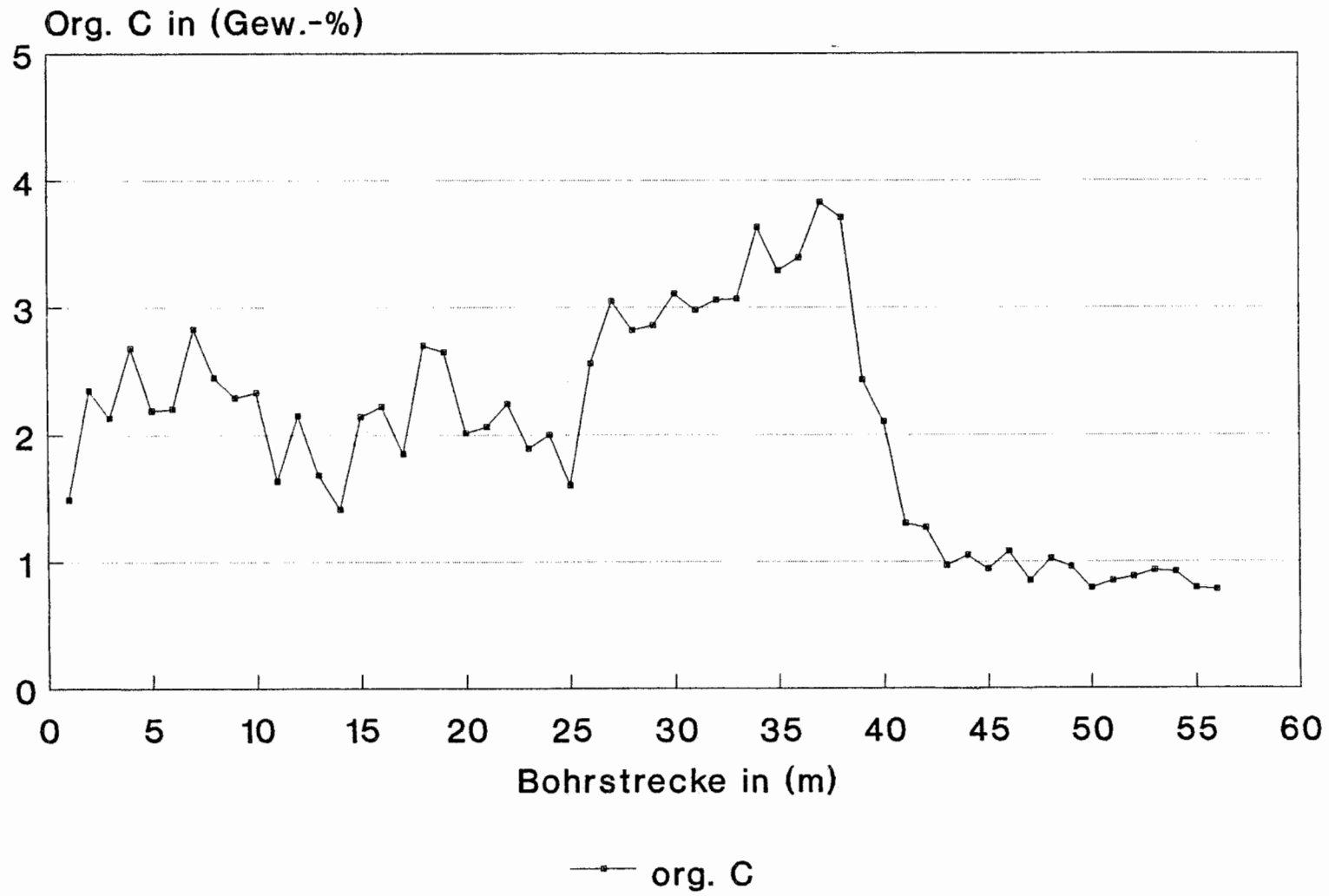


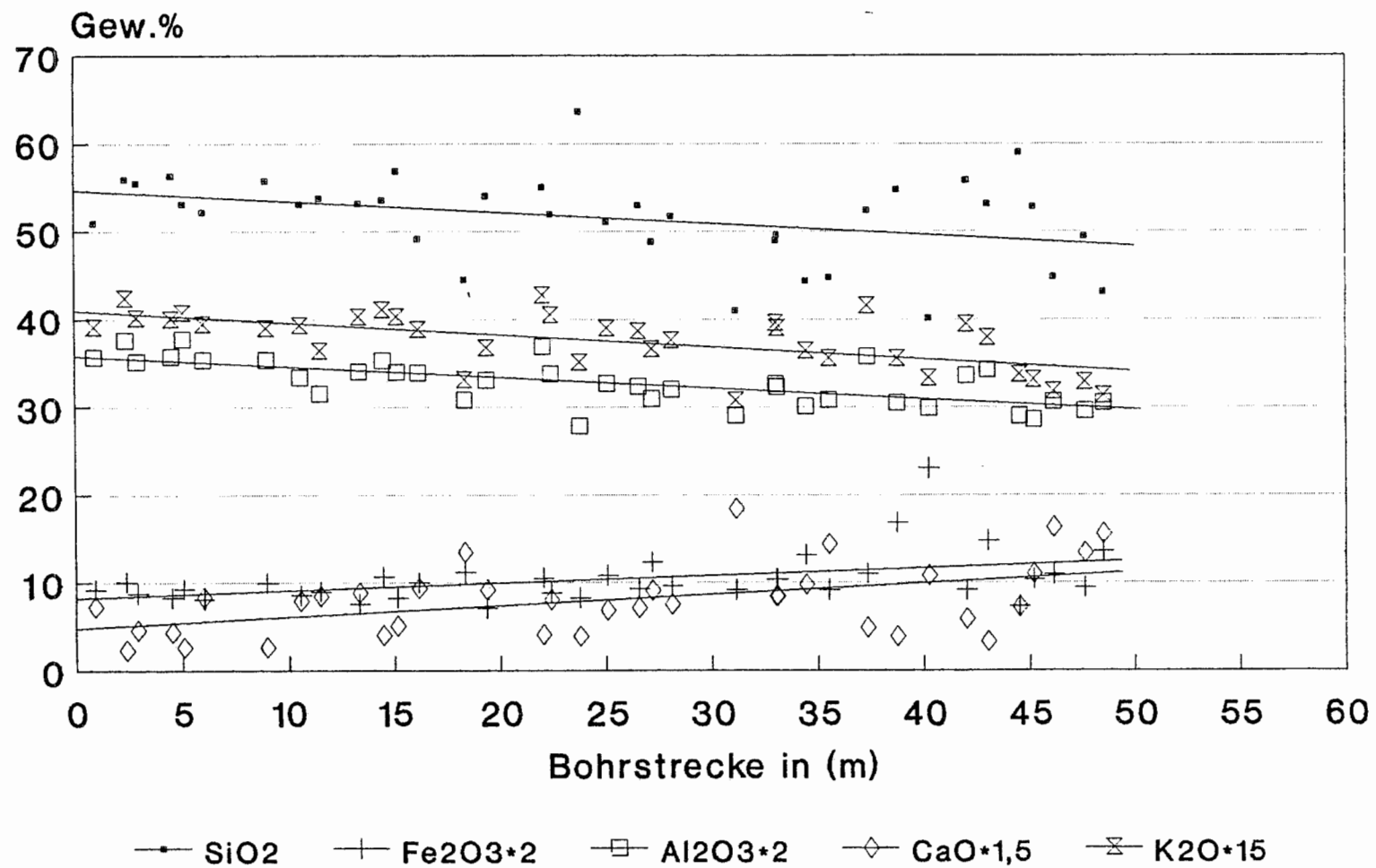
Abb. 2

# Bohrung V106



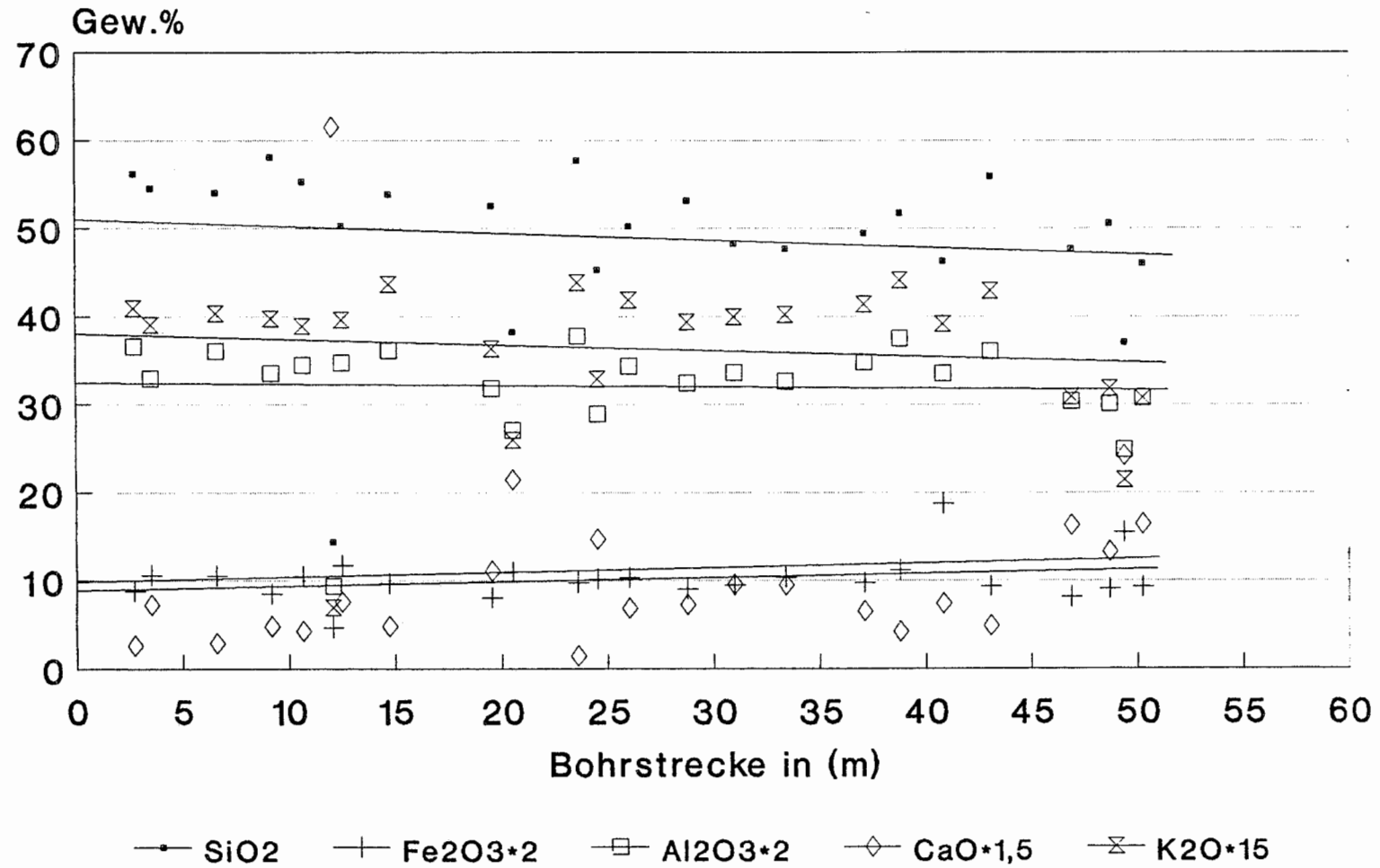
# Bohrung V102

## Chemie



# Bohrung V104

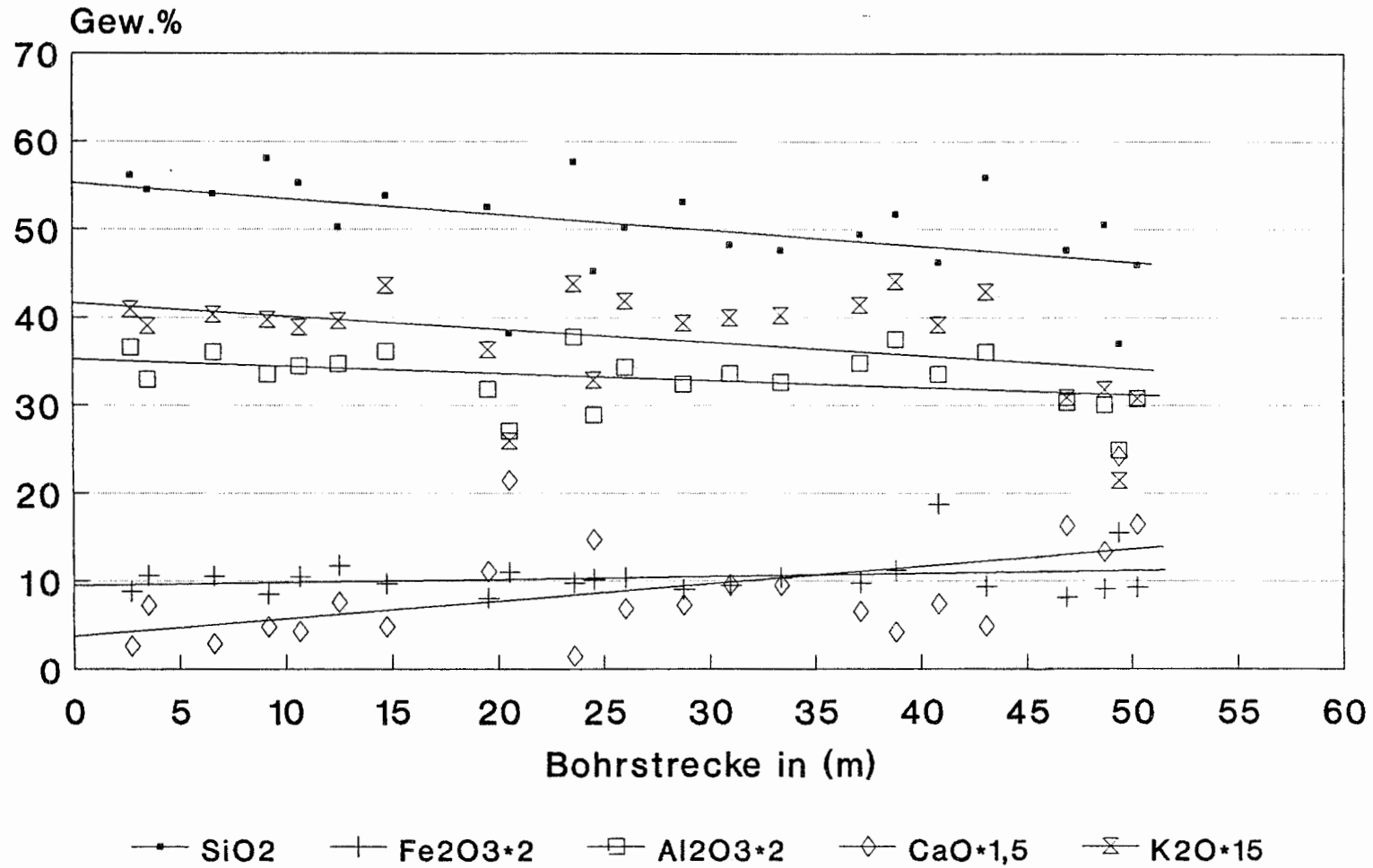
## Chemie A (alle Proben)





# Bohrung V104

Chemie B (ohne Probe S/73651)



# Bohrung F101

## Chemie A (alle Proben)

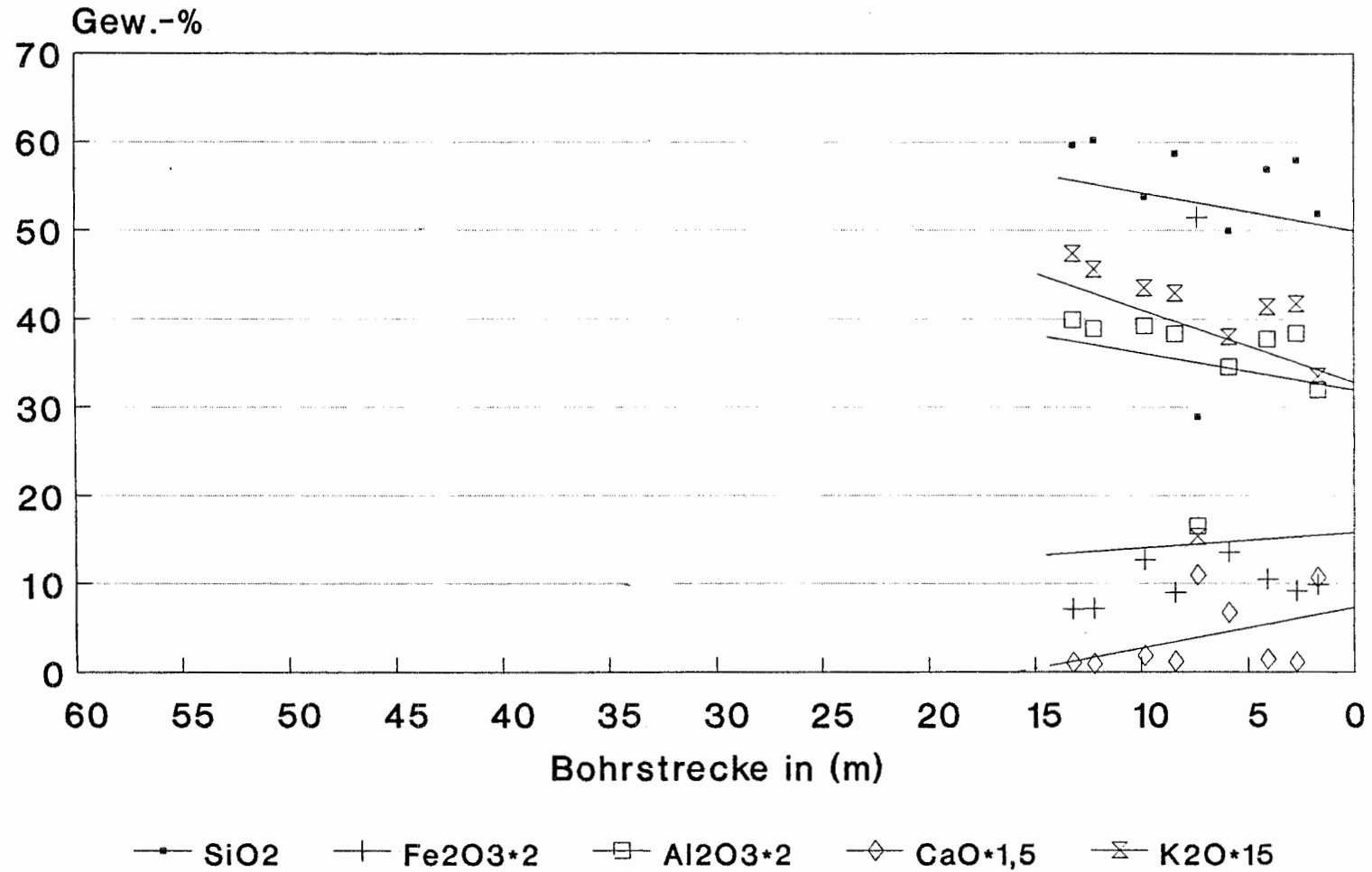
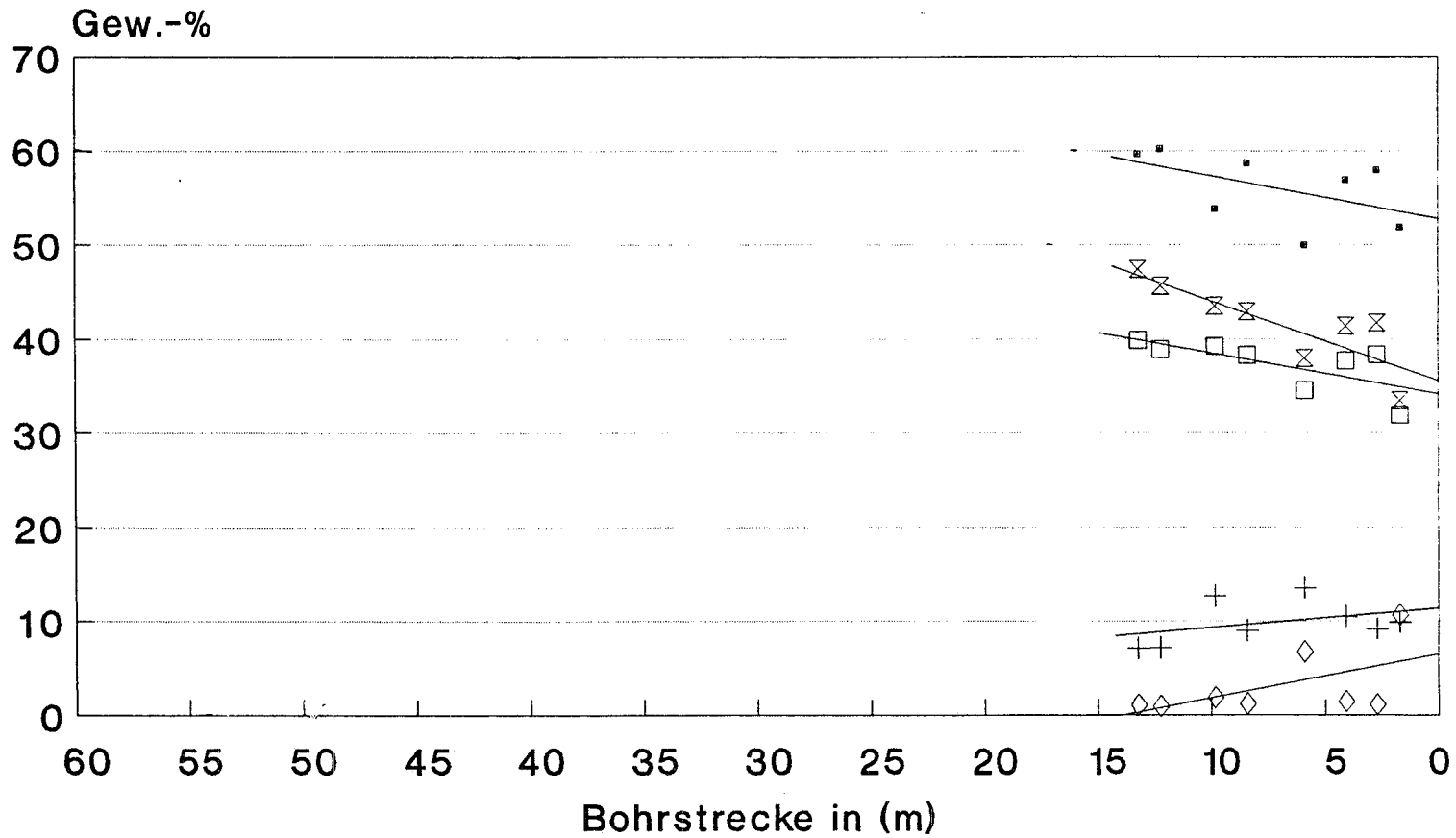


Abb. 7

# Bohrung F101

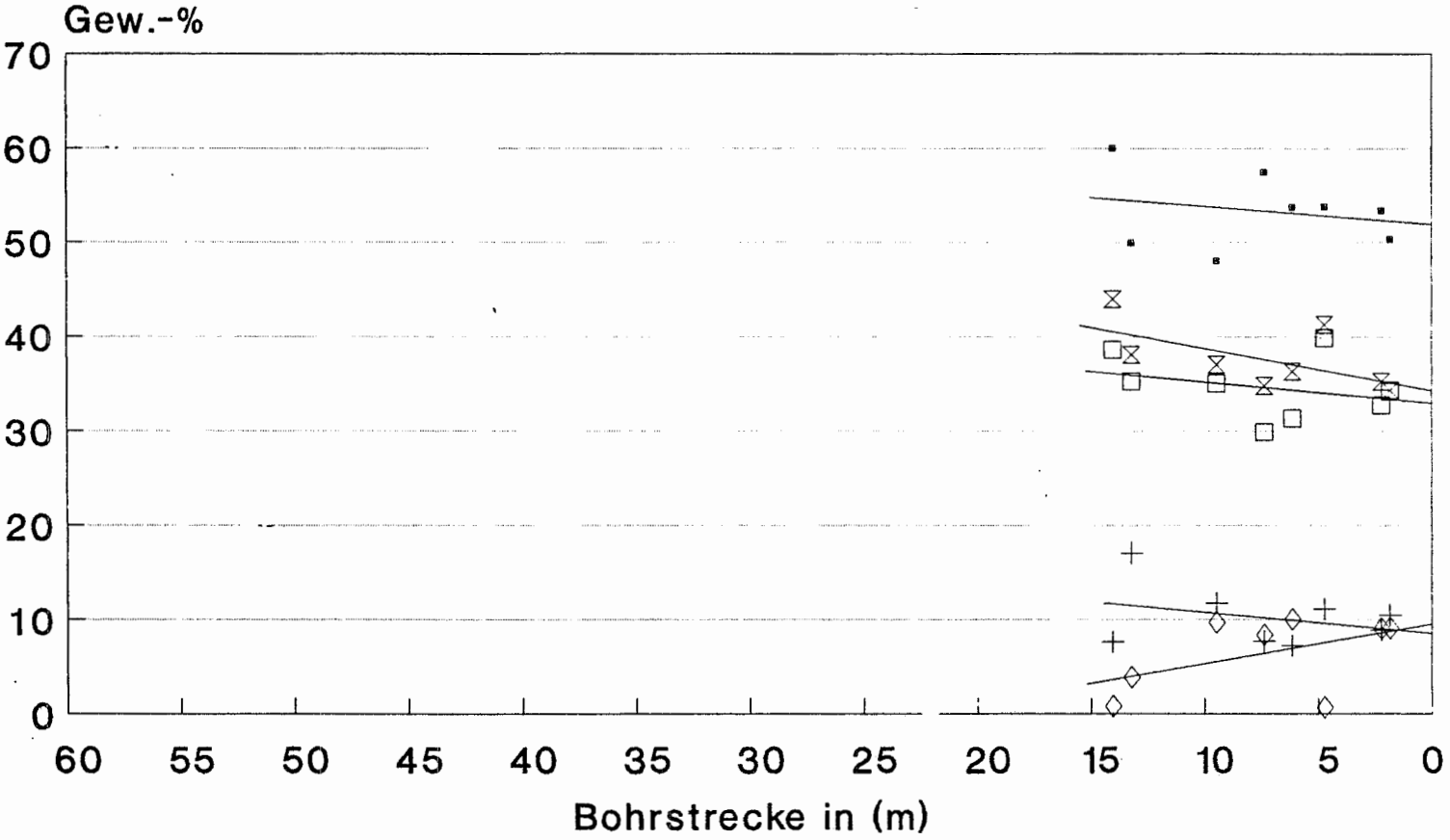
Chemie B (ohne Probe S/73674)



—●— SiO<sub>2</sub>    —+— Fe<sub>2</sub>O<sub>3</sub>\*2    —□— Al<sub>2</sub>O<sub>3</sub>\*2    —◇— CaO\*1,5    —×— K<sub>2</sub>O\*15

# Bohrung F102

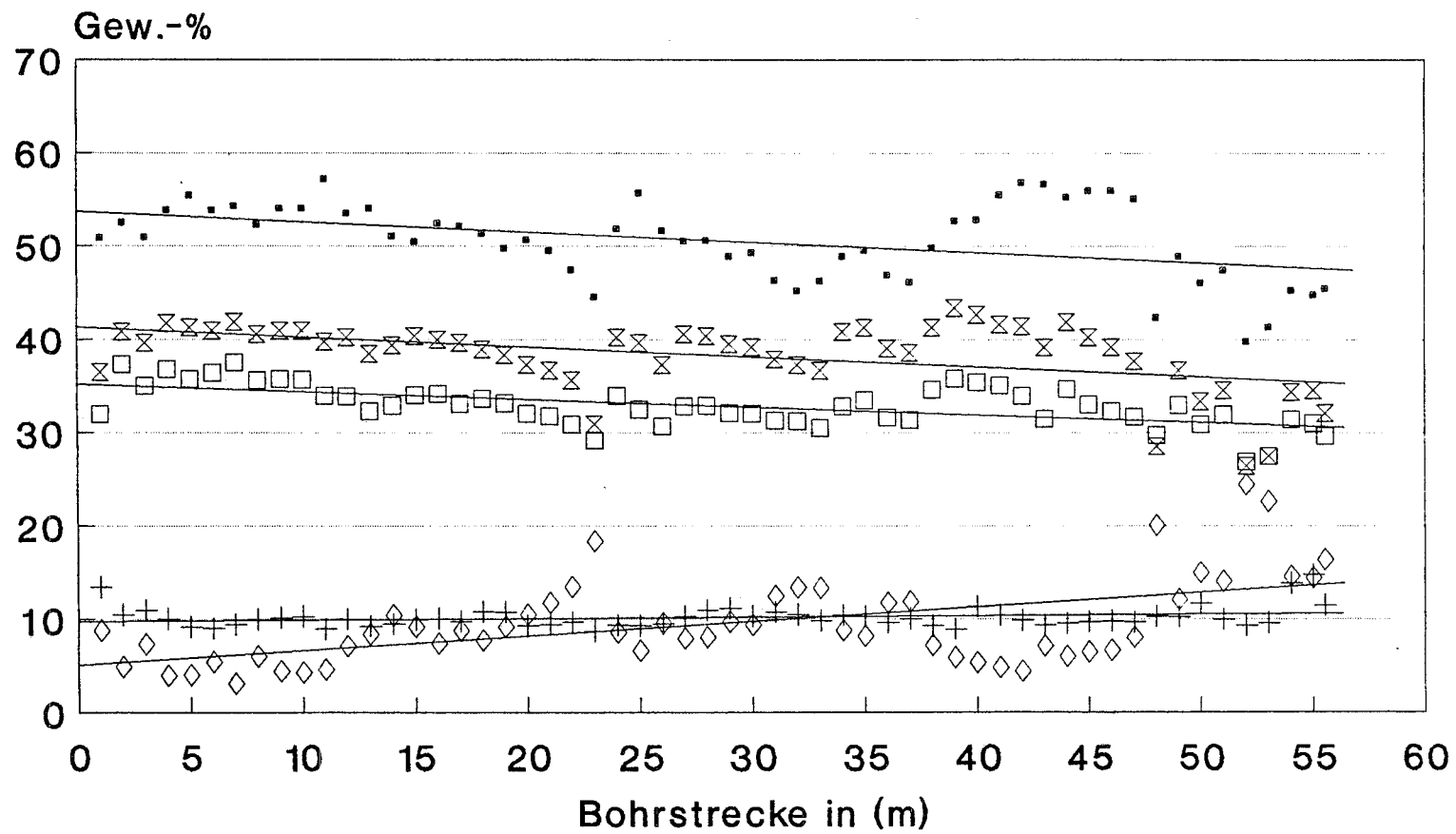
## Chemie



—●— SiO<sub>2</sub>    —+— Fe<sub>2</sub>O<sub>3</sub>+2    —□— Al<sub>2</sub>O<sub>3</sub>+2    —◇— CaO+1,5    —⊗— K<sub>2</sub>O+15

# Bohrung V106

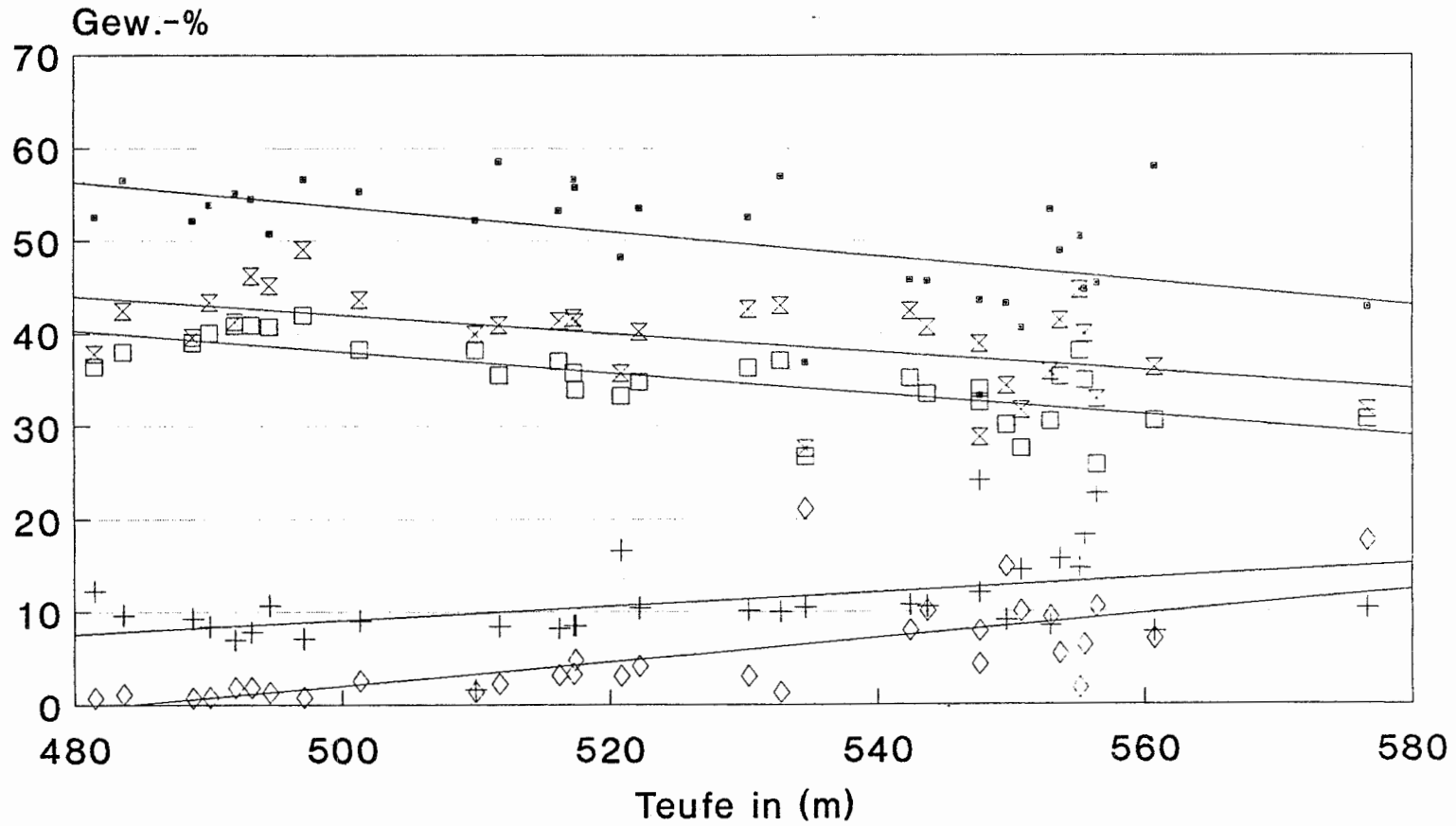
## Chemie



—■— SiO<sub>2</sub>    —+— Fe<sub>2</sub>O<sub>3</sub>\*2    —□— Al<sub>2</sub>O<sub>3</sub>\*2    —◇— CaO\*1,5    —×— K<sub>2</sub>O\*15

# Bohrung K101

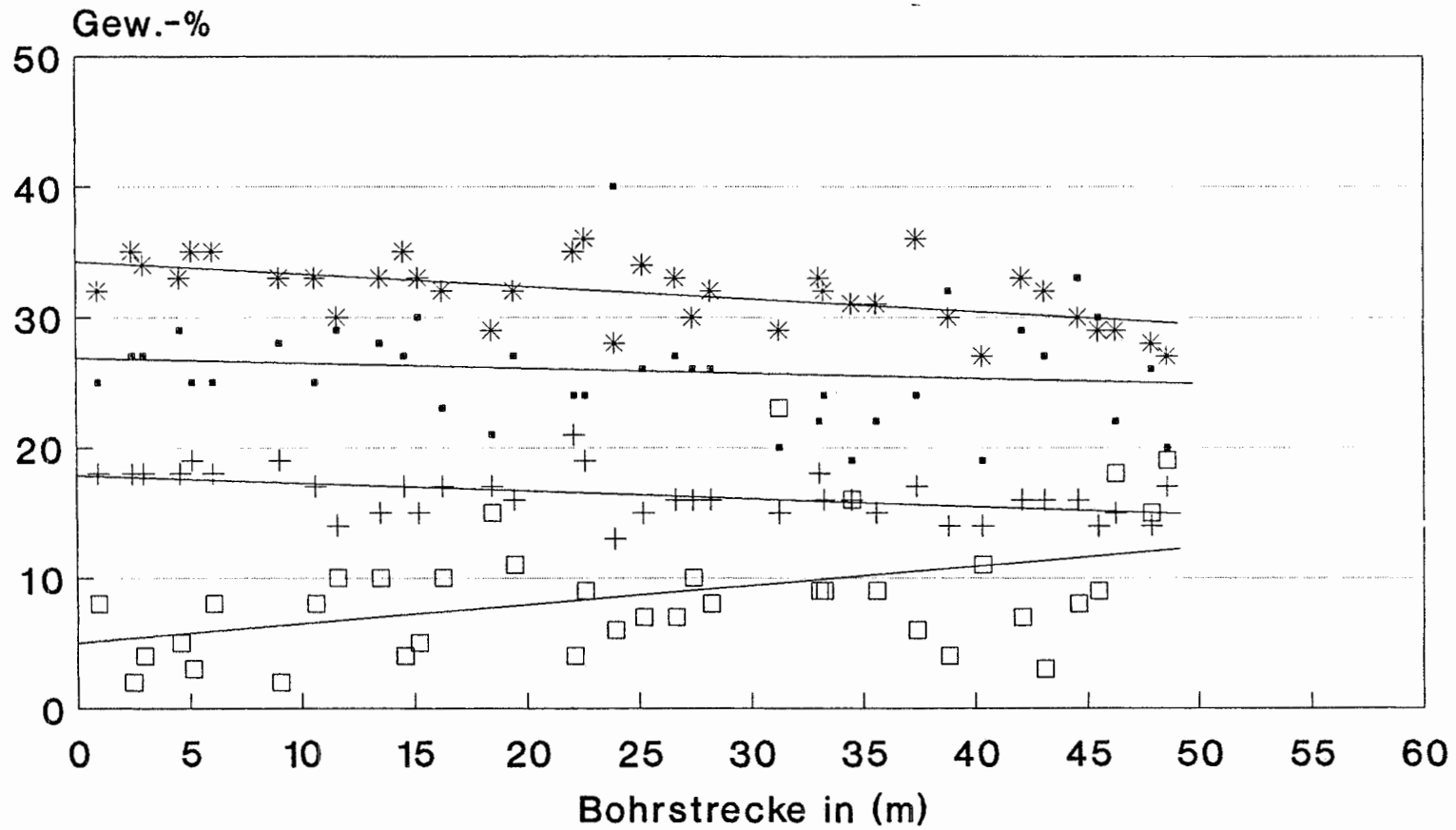
## Chemie



—●— SiO<sub>2</sub>    —+— Fe<sub>2</sub>O<sub>3</sub>\*2    —□— Al<sub>2</sub>O<sub>3</sub>\*2    —◇— CaO\*1,5    —×— K<sub>2</sub>O\*15

# Bohrung V102

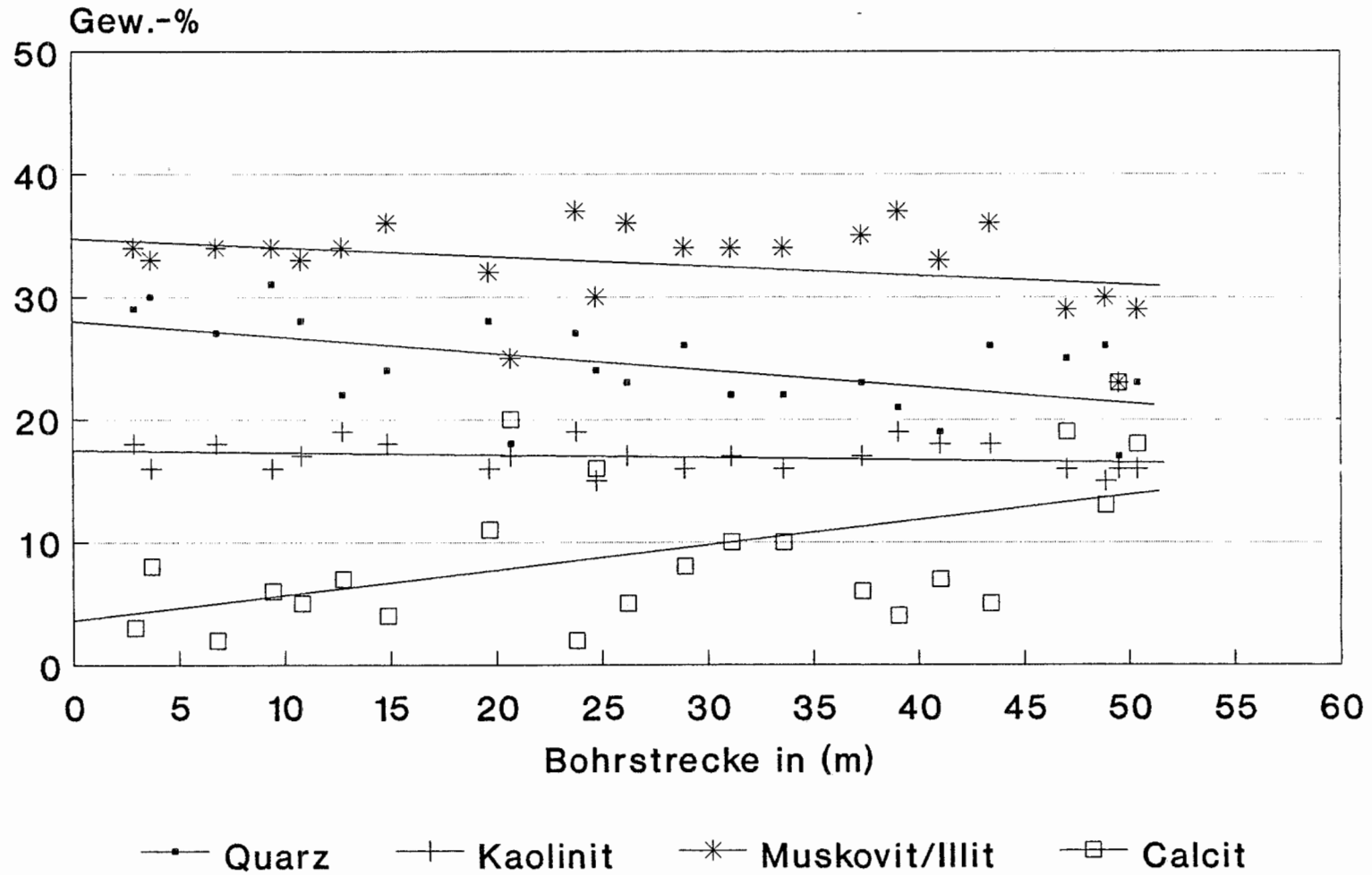
## Mineralbestand (Trend)



—•— Quarz    —+— Kaolinit    —\*— Muskovit/Illit    —□— Calcit

# Bohrung V104

## Mineralbestand (Trend)

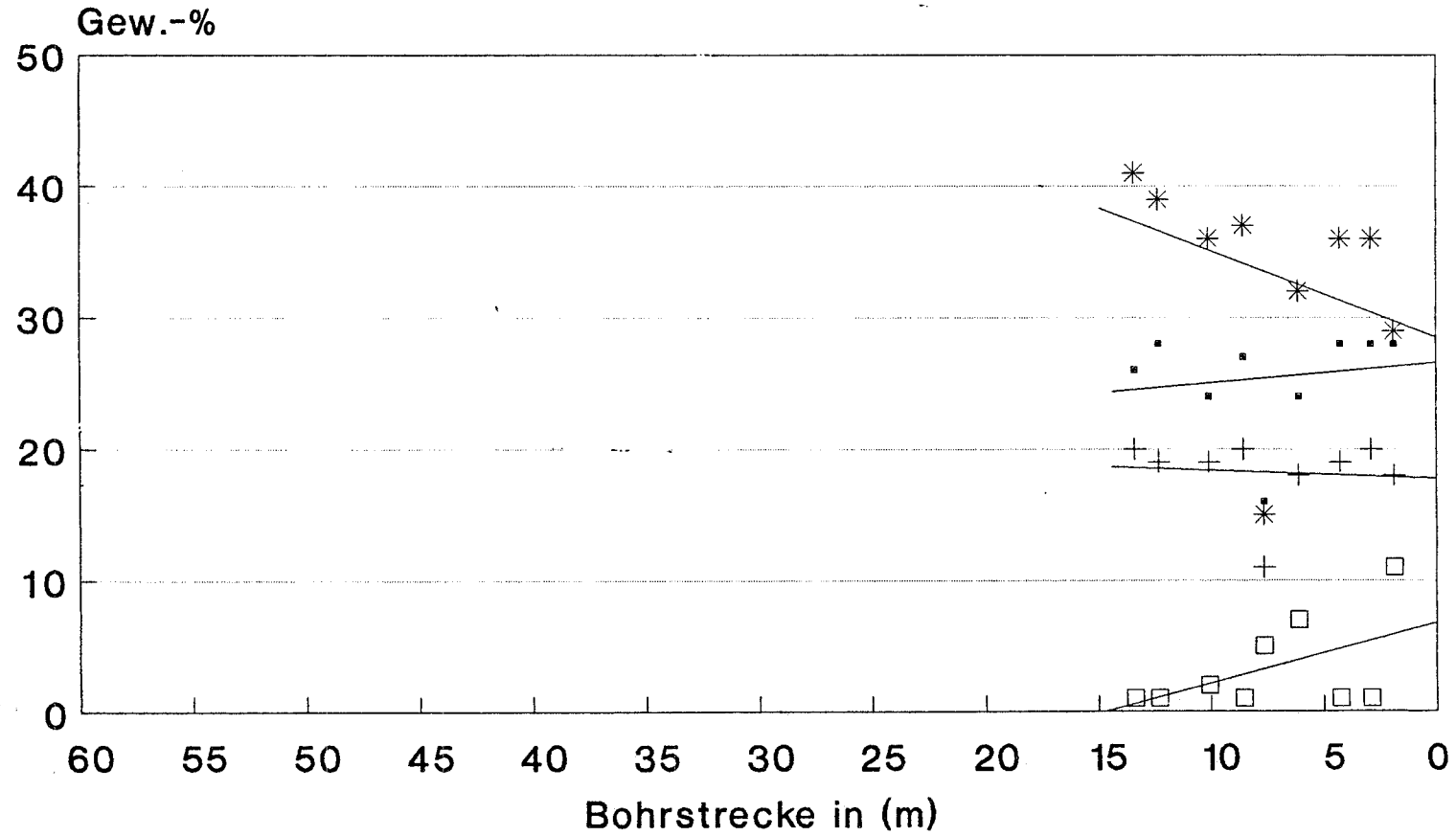


ohne Probe S/73651



# Bohrung F101

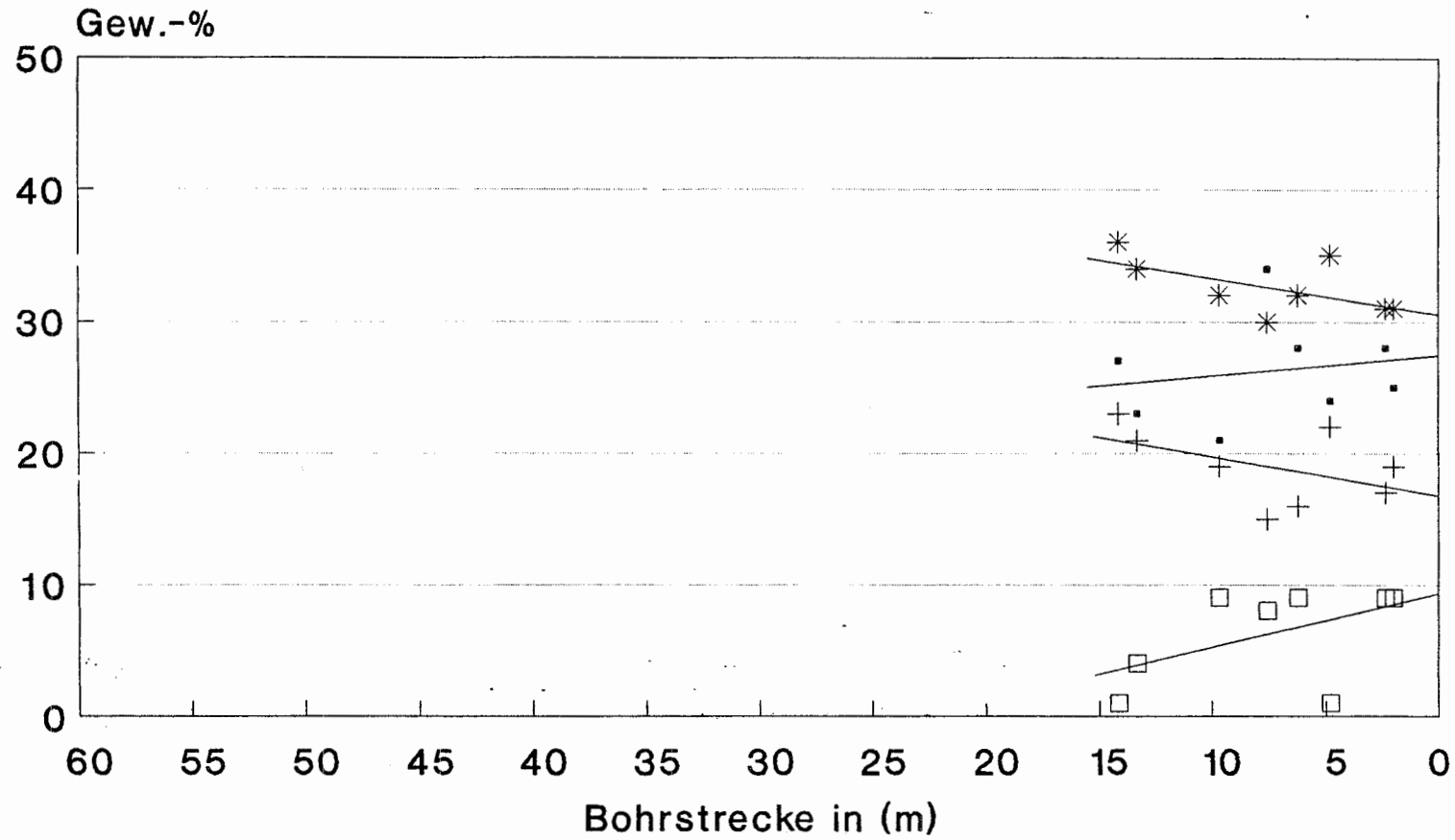
## Mineralbestand (Trend)



—●— Quarz    —+— Kaolinit    —\*— Muskovit/Illit    —□— Calcit

# Bohrung F102

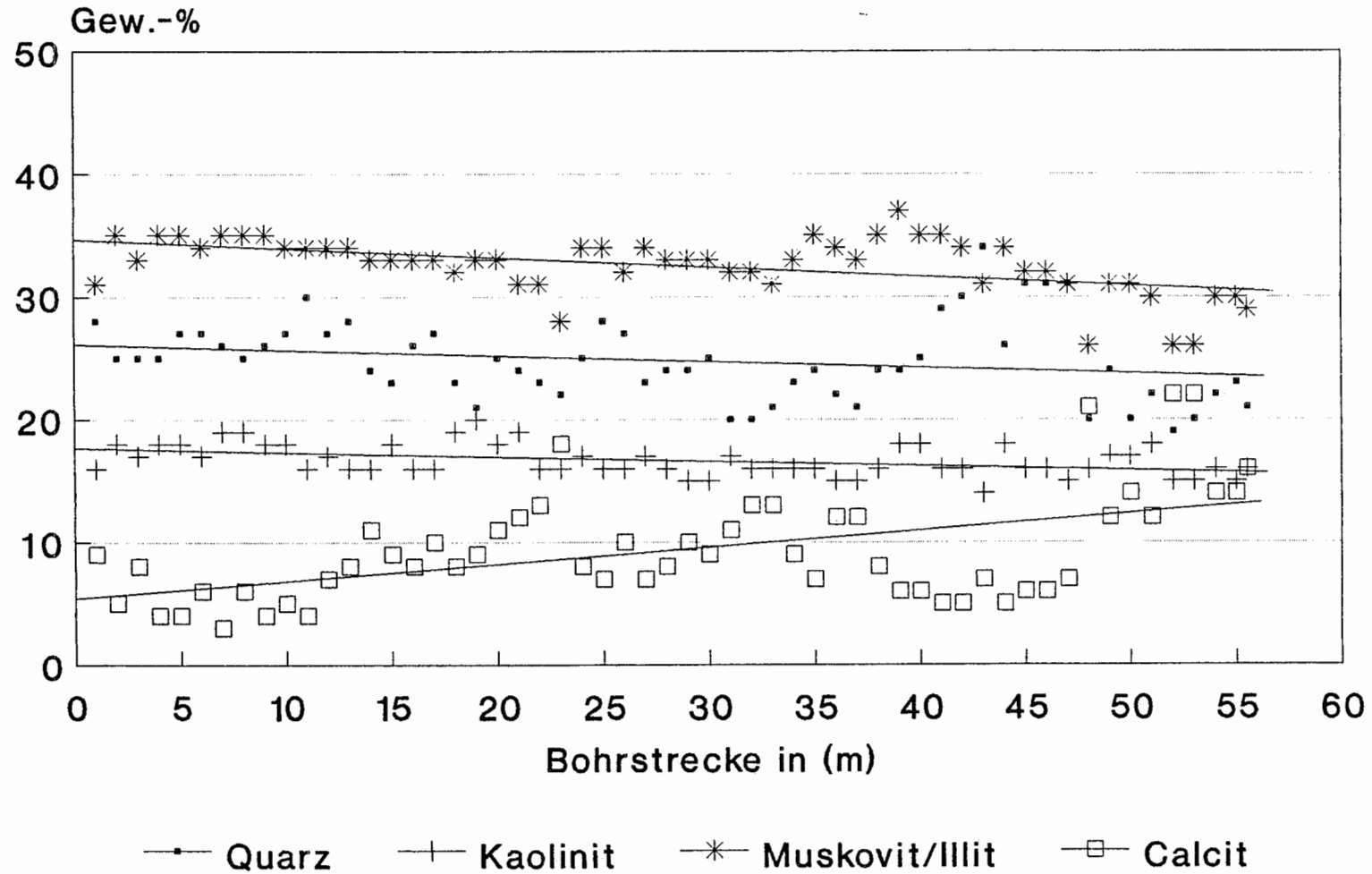
## Mineralbestand (Trend)



—●— Quarz    —+— Kaolinit    —\*— Muskovit/Illit    —□— Calcit

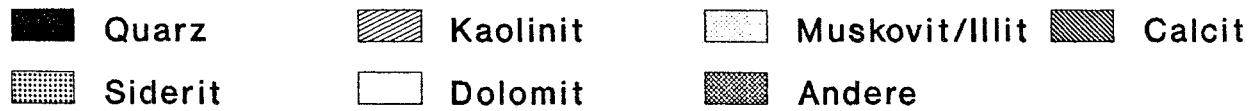
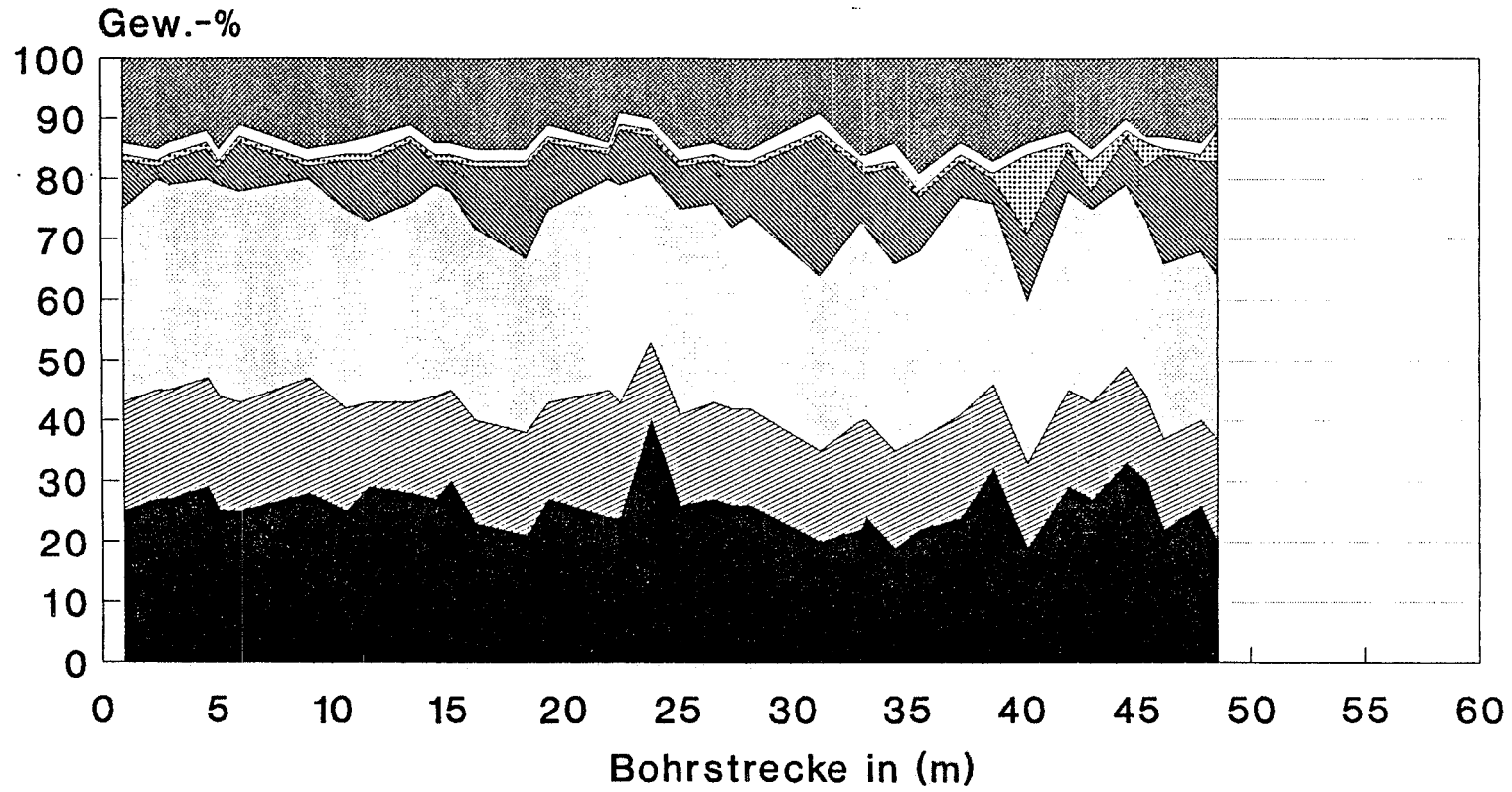
# Bohrung V106

## Mineralbestand (Trend)



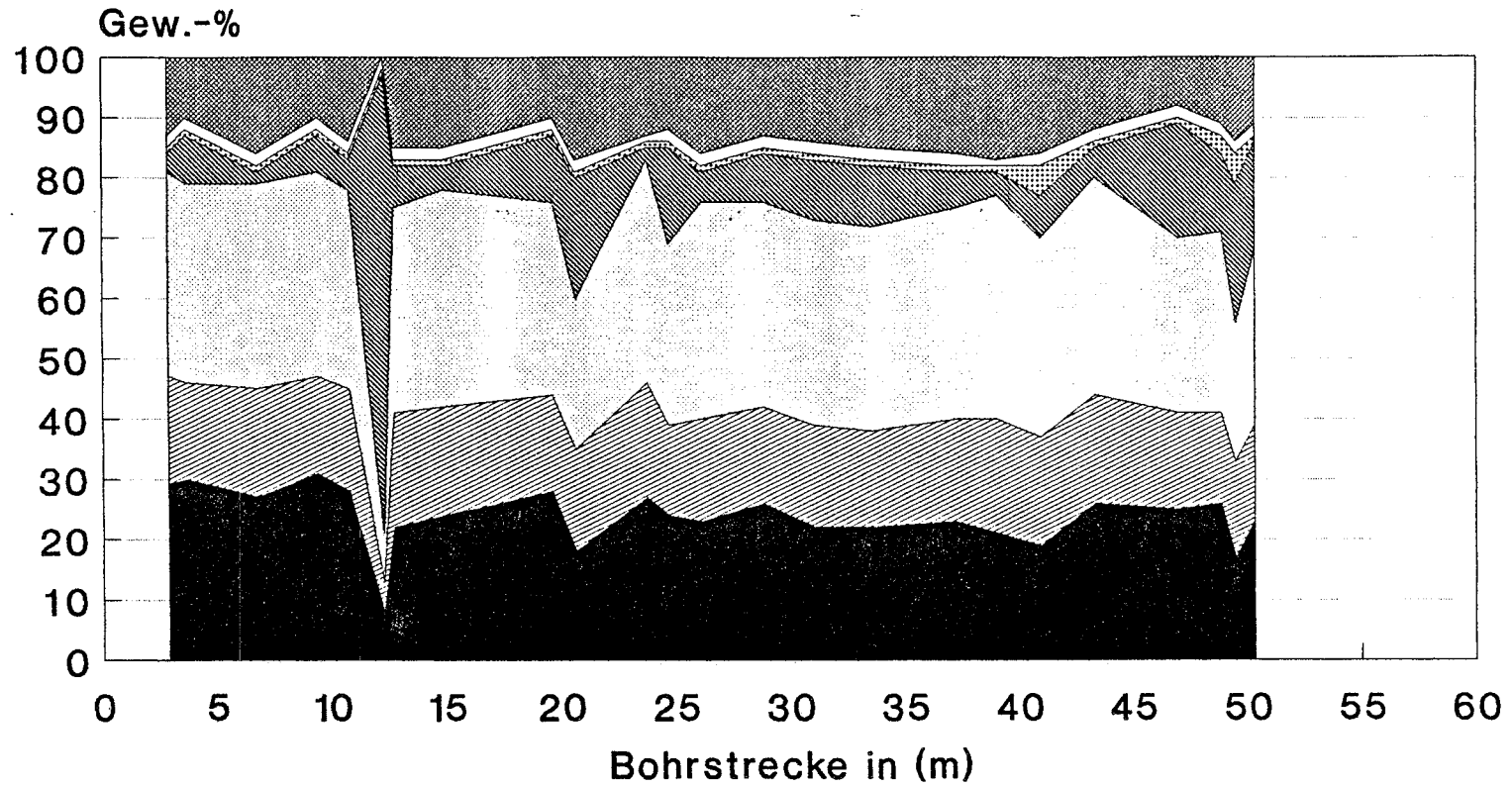
# Bohrung V102

## Mineralbestand



# Bohrung V104

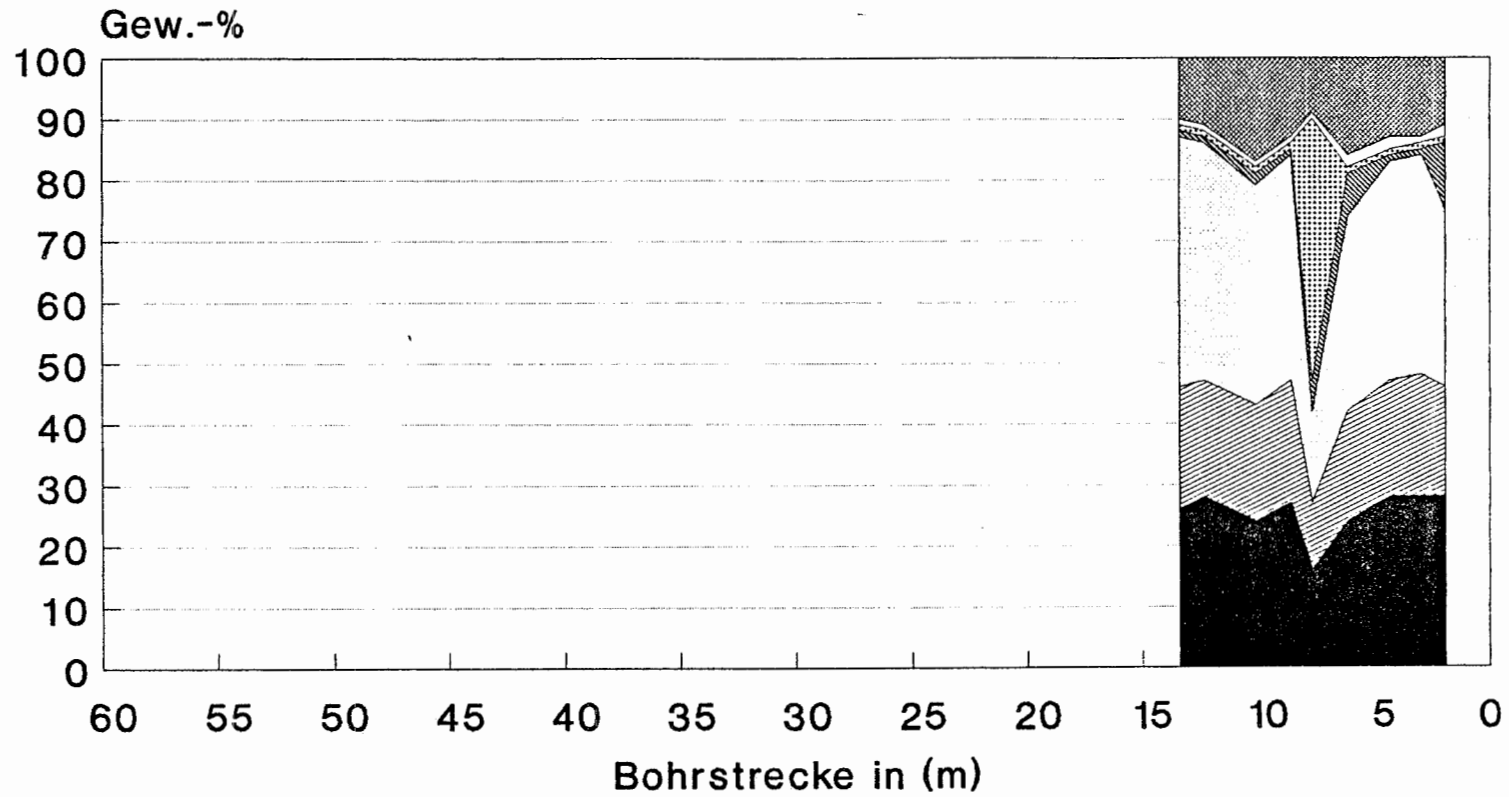
## Mineralbestand



- |   |         |   |          |   |                |   |        |
|---|---------|---|----------|---|----------------|---|--------|
| ■ | Quarz   | ▨ | Kaolinit | □ | Muskovit/Illit | ▩ | Calcit |
| ▤ | Siderit | □ | Dolomit  | ▨ | Andere         |   |        |

# Bohrung F101

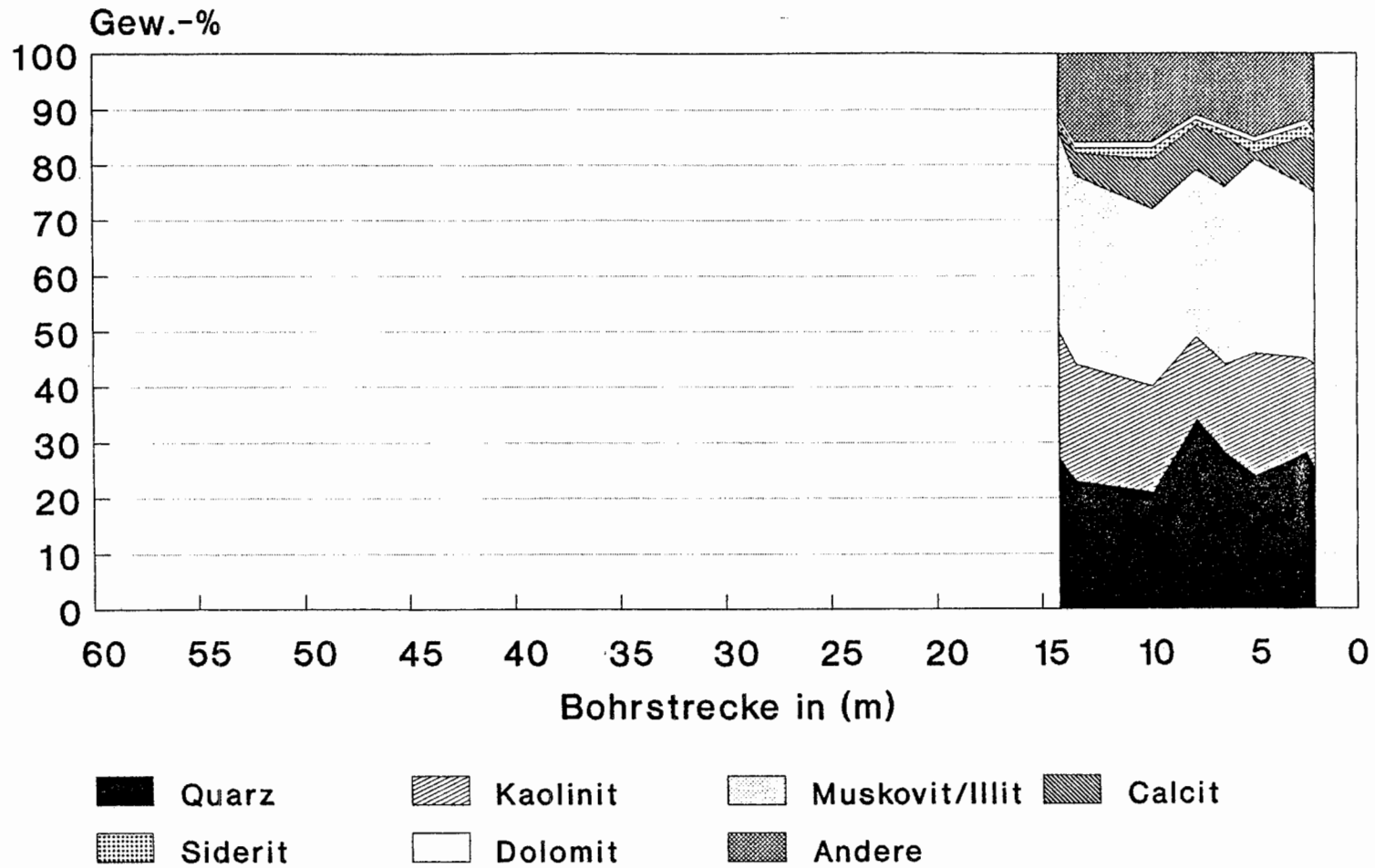
## Mineralbestand



- |         |          |                |        |
|---------|----------|----------------|--------|
| Quarz   | Kaolinit | Muskovit/Illit | Calcit |
| Siderit | Dolomit  | Andere         |        |

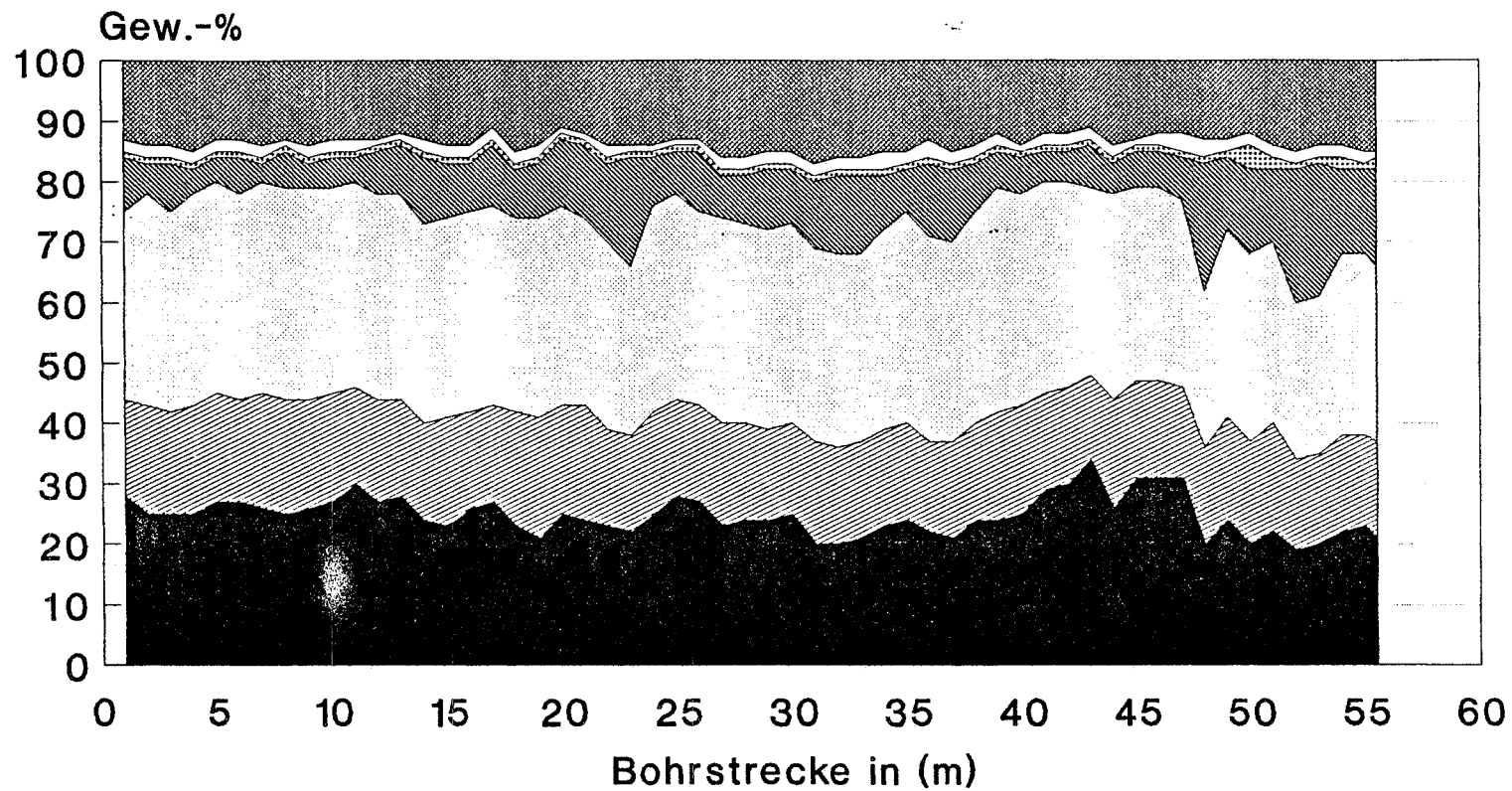
# Bohrung F102

## Mineralbestand



# Bohrung V106

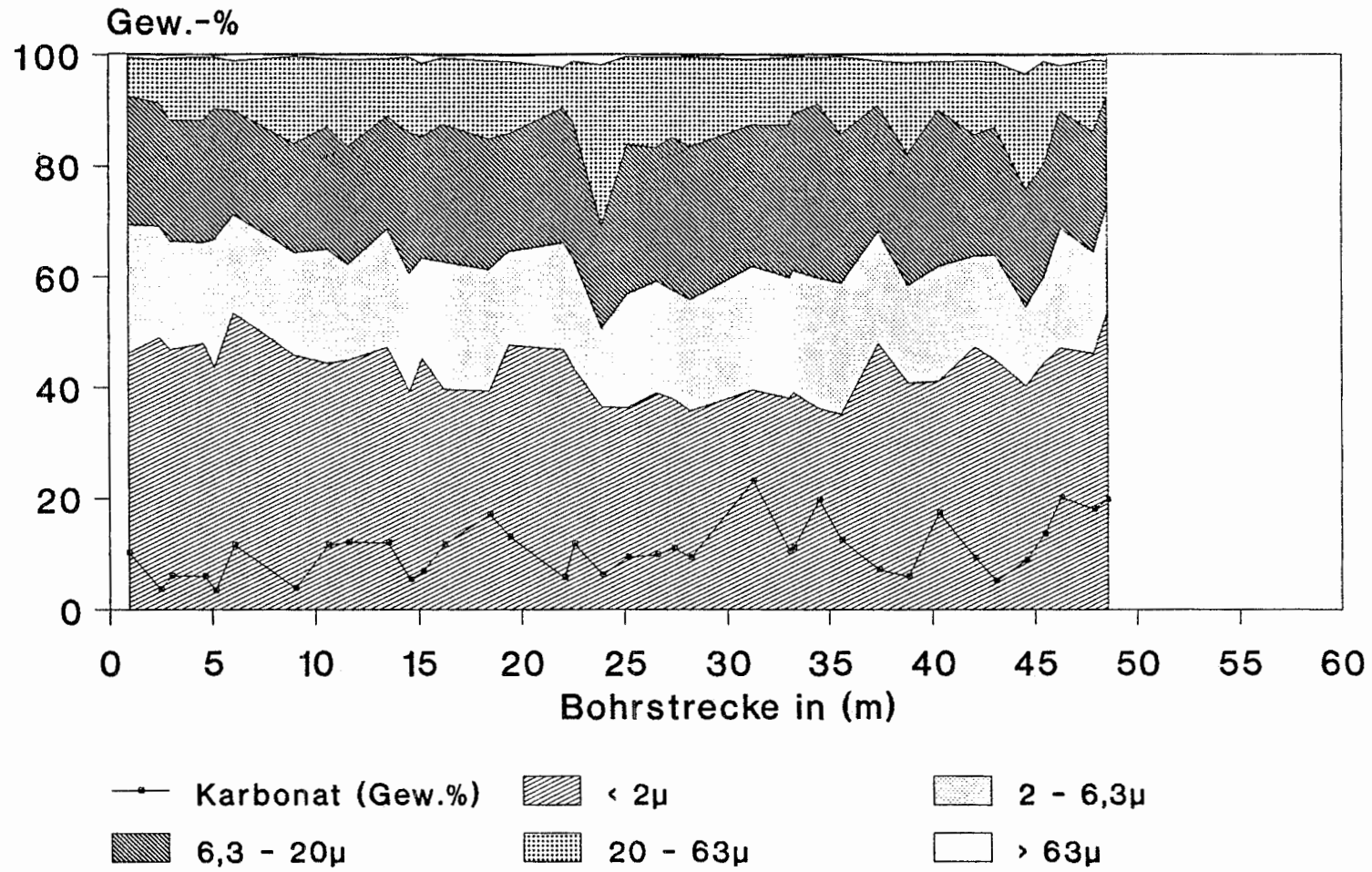
## Mineralbestand





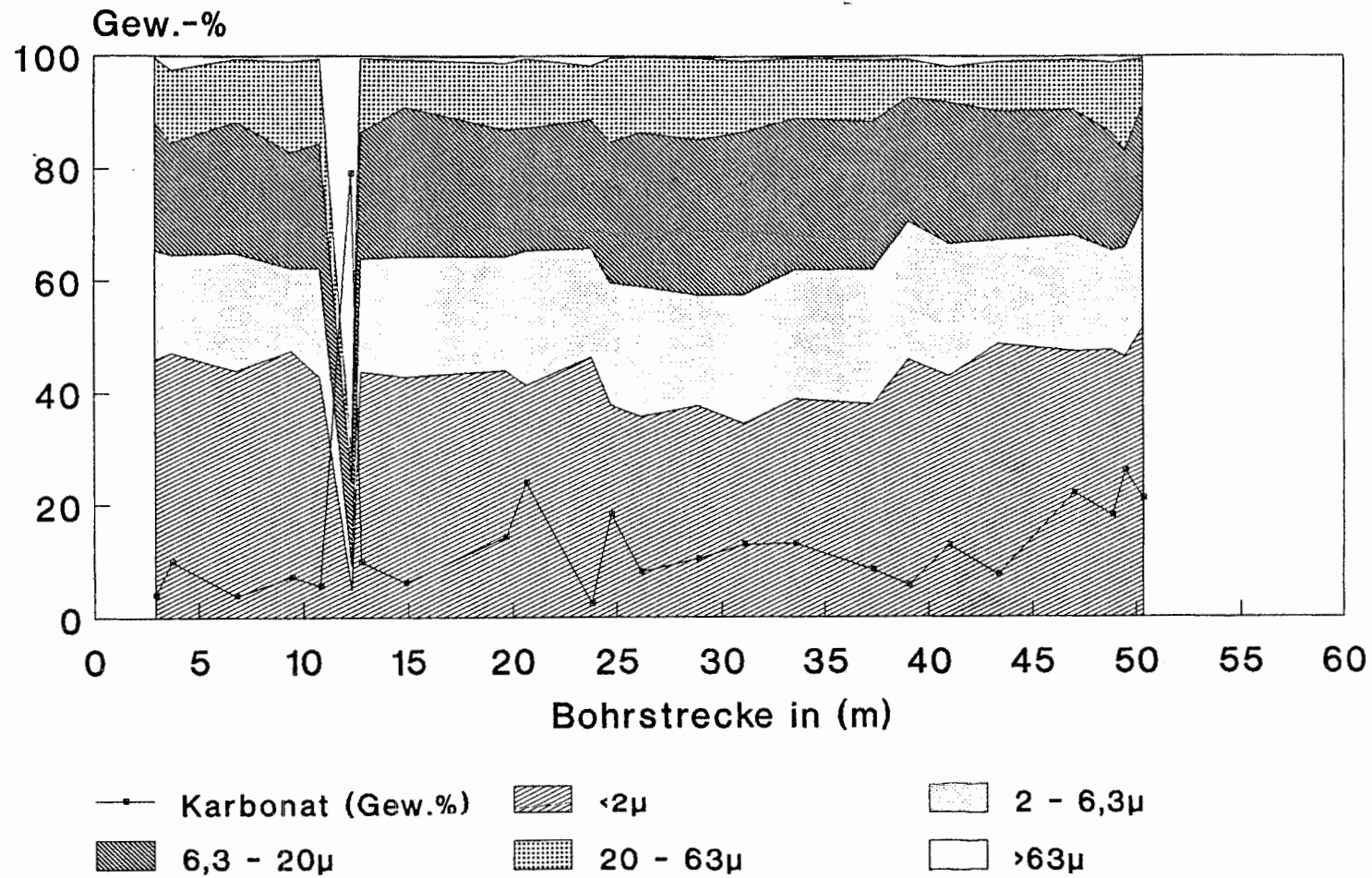
# Bohrung V102

## Korngrößenverteilung/Karbonat



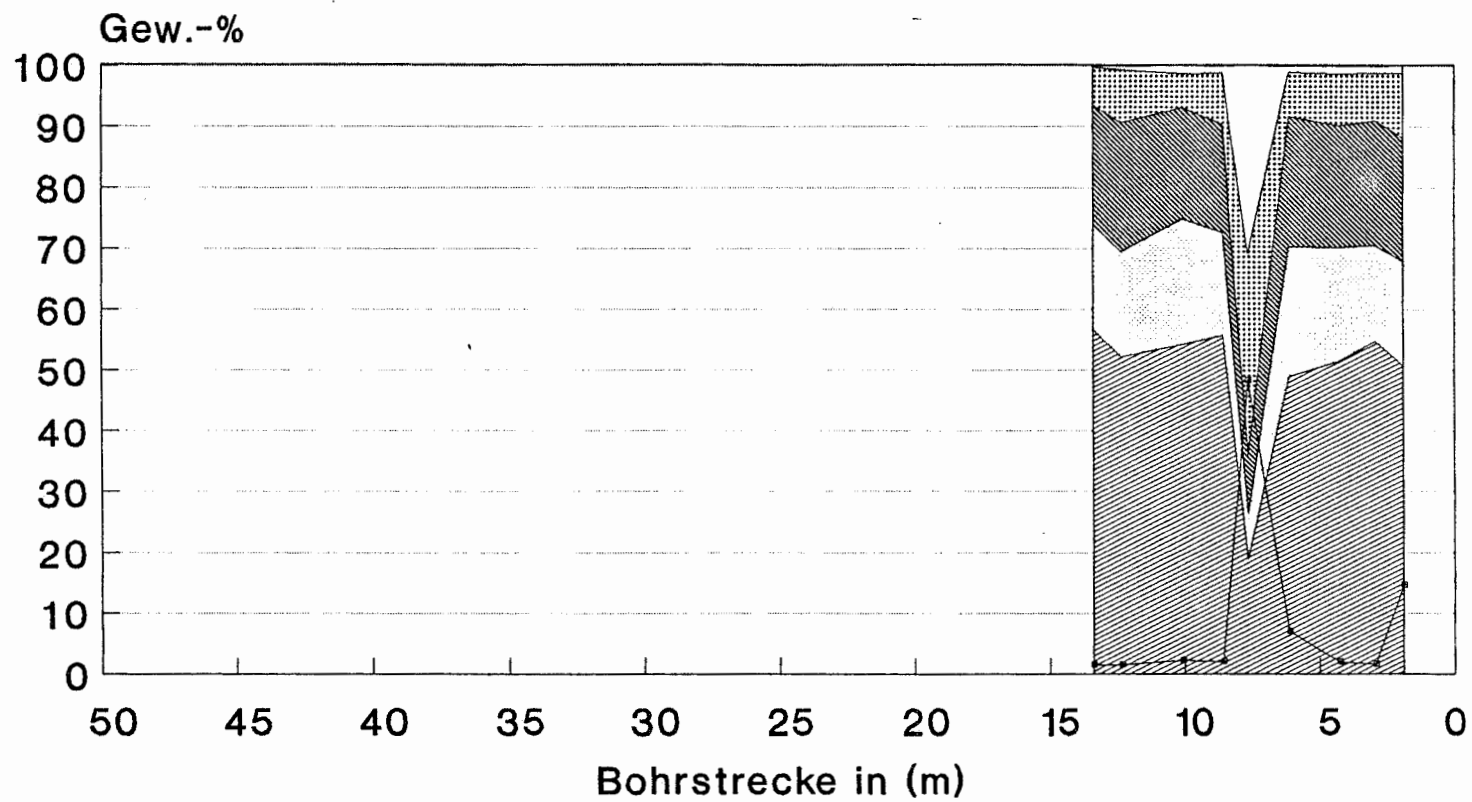
# Bohrung V104

## Korngrößenverteilung/Karbonat



# Bohrung F101

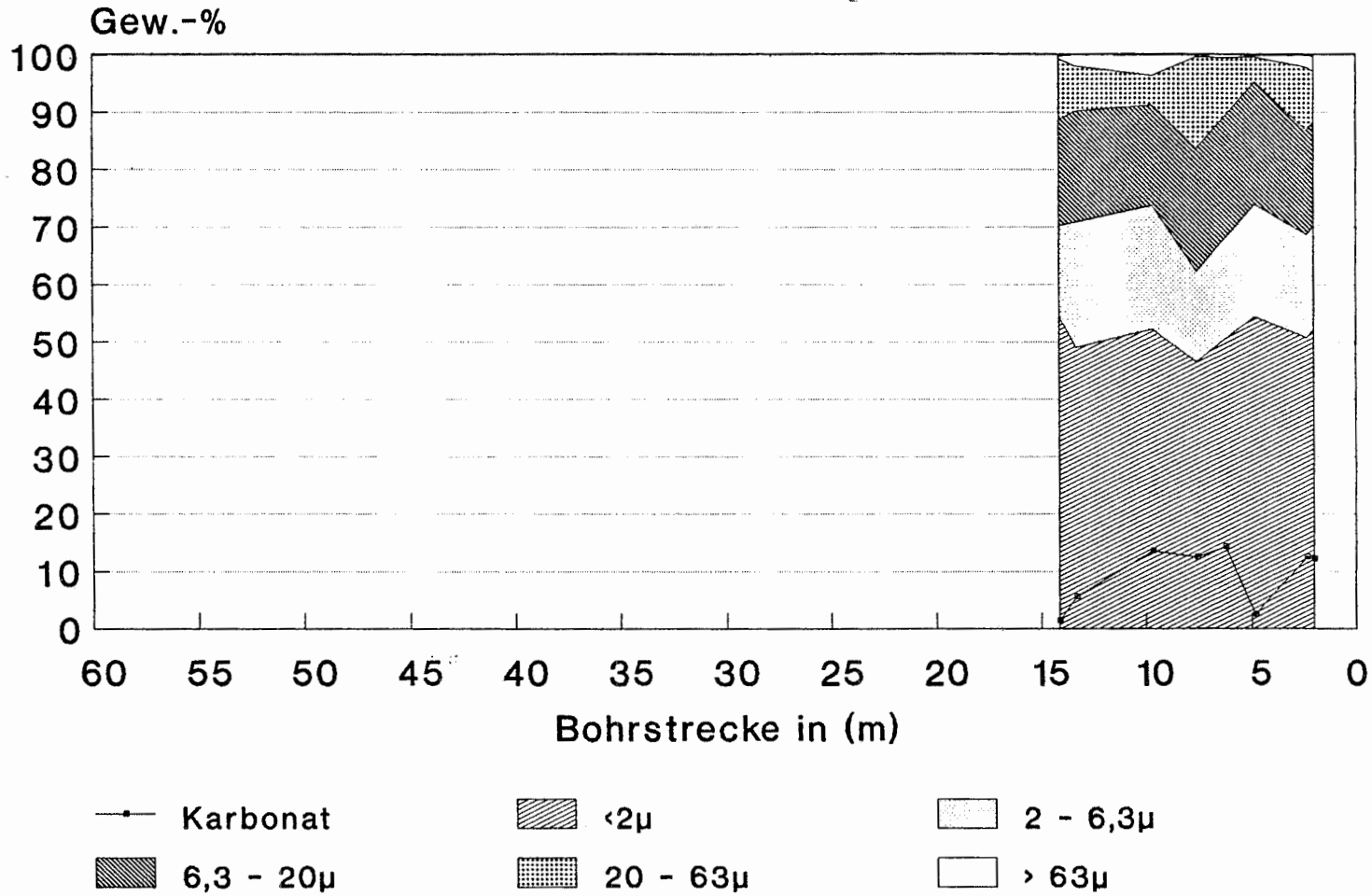
## Korngrößenverteilung/Karbonat



Karbonat  
 <math>< 2\mu</math>  
 <math>2 - 6,3\mu</math>  
 <math>6,3 - 20\mu</math>  
 <math>20 - 63\mu</math>  
 <math>> 63\mu</math>

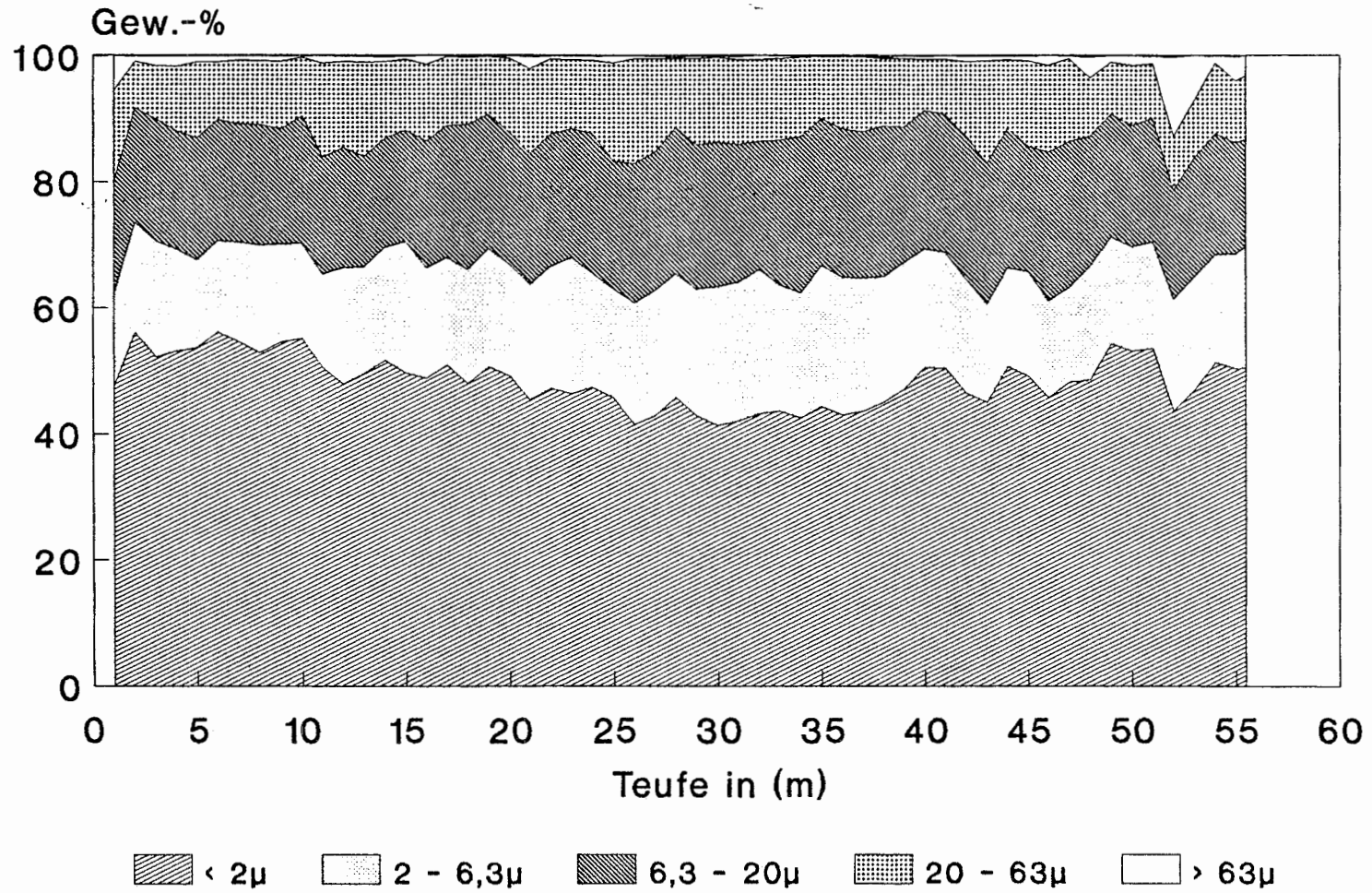
# Bohrung F102

## Korngrößenverteilung/Karbonat



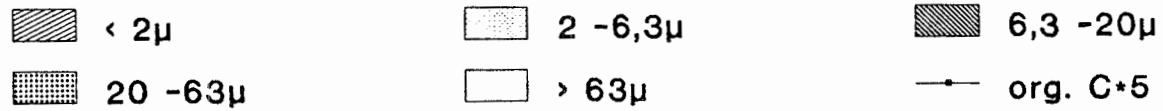
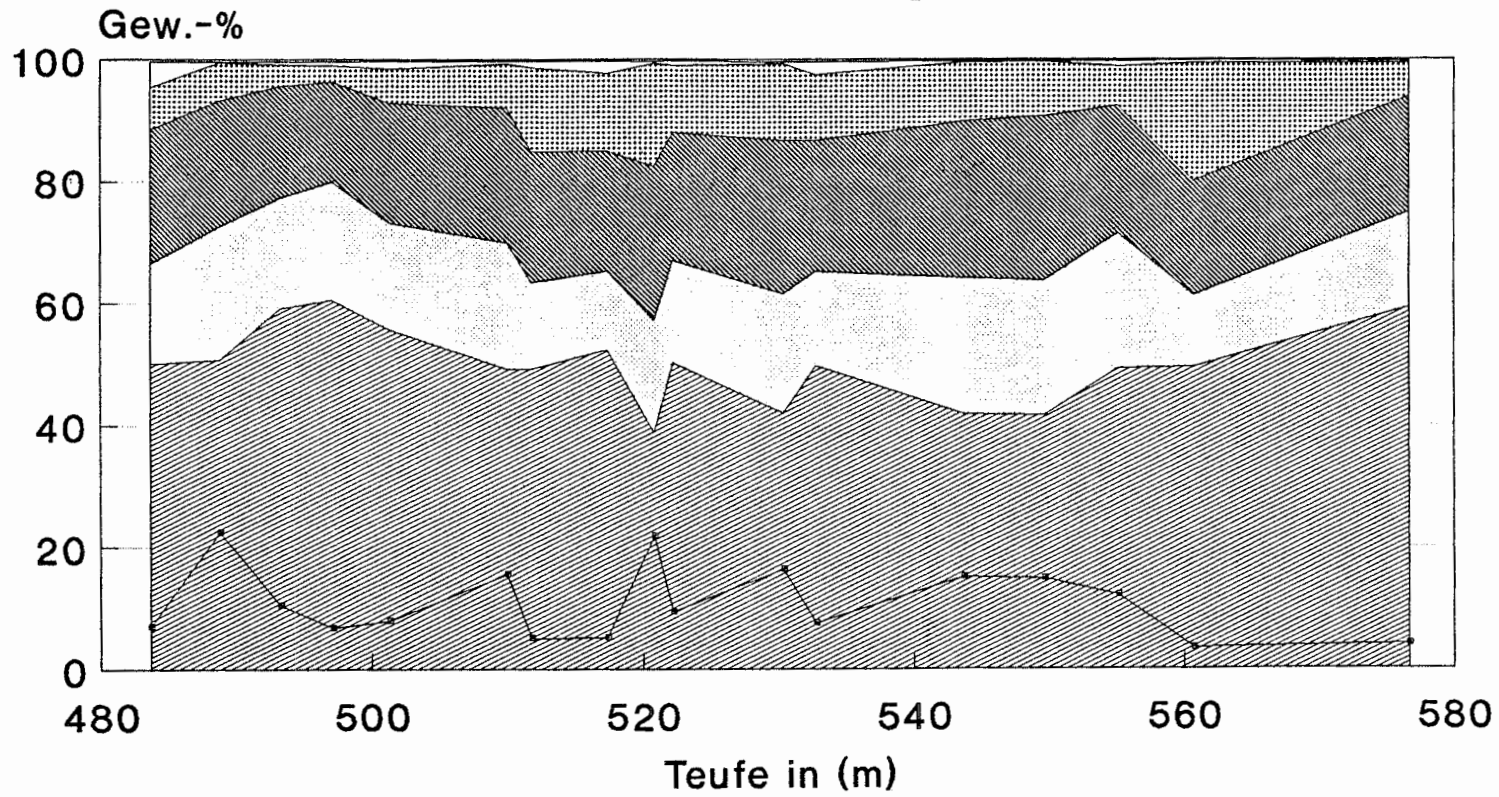
# Bohrung V106

## Korngrößenverteilung



# Bohrung K101

## Korngrößenverteilung/org.C



# ANLAGE 6

REM-Aufnahmen



## Beschreibung der REM-Aufnahmen

- Bild 1 : Probe F101(12,25-12,33m) RM-Nr. 2641b  
Übersichtsaufnahme : schlierig-unregelmäßig bis  
bioturbates Tonmineralgefüge
- Bild 2 : Detailaufnahme von Bild 1
- Bild 3 : Probe F101(12,25-12,33m) RM-Nr. 2641b  
Übersichtsaufnahme : schlierig-paralleles bis  
bioturbates Tonmineralgefüge
- Bild 4 : Detailaufnahme von Bild 3
- Bild 5 : Probe V102(22,01-22,10m) RM-Nr. 2633b  
Unregelmäßige Anordnung der Tonminerale
- Bild 6 : Probe V102(22,01-22,10m) RM-Nr. 2633b  
Unregelmäßige bis schlierig-parallele Anordnung  
der Tonminerale
- Bild 7 : Probe V102(22,01-22,10m) RM-Nr. 2633b  
Schlierig-paralleles Tonmineralgefüge,  
detritischer Muskovit im Zentrum
- Bild 8 : Probe V102(34,42-34,50m) RM-Nr. 2631b  
Schlierig paralleles Tonmineralgefüge, bereichs-  
weise Salzverkrustungen
- Bild 9 : Probe V102(34,42-34,50m) RM-Nr. 2631  
Schichtparallele Anreicherung von Coccolithen und  
deren Detritus
- Bild 10 : Probe V102(34,42-34,50m) RM-Nr. 2631  
Schichtparallele Anreicherung von Coccolithen und  
deren Detritus. Beginnende Calcitneubildung?  
linke obere Bildmitte
- Bild 11 : Detailaufnahme von Bild 10
- Bild 12 : Probe F101(12,25-12,33m) RM-Nr. 2641b  
Calcitneubildung in Porenraum, unregelmäßiges  
Tonmineralgefüge
- Bild 13 : Detailaufnahme des idiomorphen Calcitkristalls  
aus Bild 12



- Bild 14 : Probe V102(22,01-22,10m) RM-Nr. 2633b  
Pyrit, Quarz und sekundärer Calcit und Gips? als  
Reaktionsprodukt in toniger Matrix
- Bild 15 : Probe V104(12,07-12,27m) RM-Nr. 2637b  
Idiomorph ausgebildeter Calcitkristall in über-  
wiegend calcitischer Matrix
- Bild 16 : Probe V104(12,07-12,27m) RM-Nr. 2637b  
Sekundär gebildeter Calcit mit Glimmerplättchen
- Bild 17 : Detailaufnahme von Bild 16
- Bild 18 : Probe V104(12,07-12,27m) RM-Nr. 2637b  
Kluftverheilung durch Calcitwachstum
- Bild 19/: Probe V104(12,07-12,27m) RM-Nr. 2637b  
20 : Coccolithen, z.T. stark angelöst, in calcitischer  
Matrix
- Bild 21 : Probe V102(22,01-22,10m) RM-Nr. 2633b  
Pyritnest in toniger Umgebung
- Bild 22 : Detailaufnahme von Bild 21 mit deutlich  
erkennbaren Gipsneubildungen auf Pyrit
- Bild 23 : Probe V102(34,42-34,50m) RM-Nr. 2631  
Einzelpyrite ohne erkennbare Vergipsung neben  
Anreicherung von Coccolithenstengeln
- Bild 24 : Probe V104(12,07-12,27m) RM-Nr. 2637  
Stark angelöster Coccolith in calcitischer  
Matrix, nahezu unkorrodiertes Pyritnest im  
rechten oberen Bildrand
- Bild 25 : Probe V102(22,01-22,10m) RM-Nr. 2633b  
Fossiles Knochenbruchstück (Apatit)

Bild 1



Bild 2



Bild 3

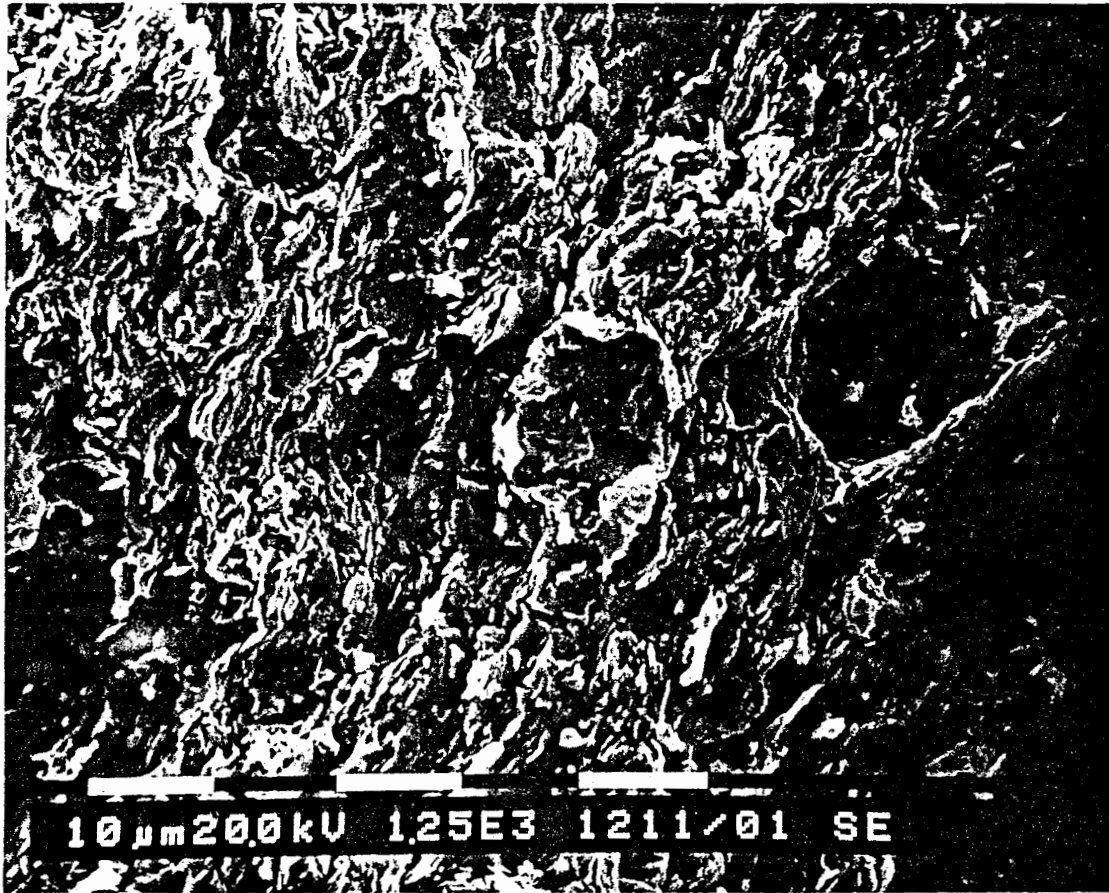


Bild 4



Bild 5



Bild 6





Bild 7

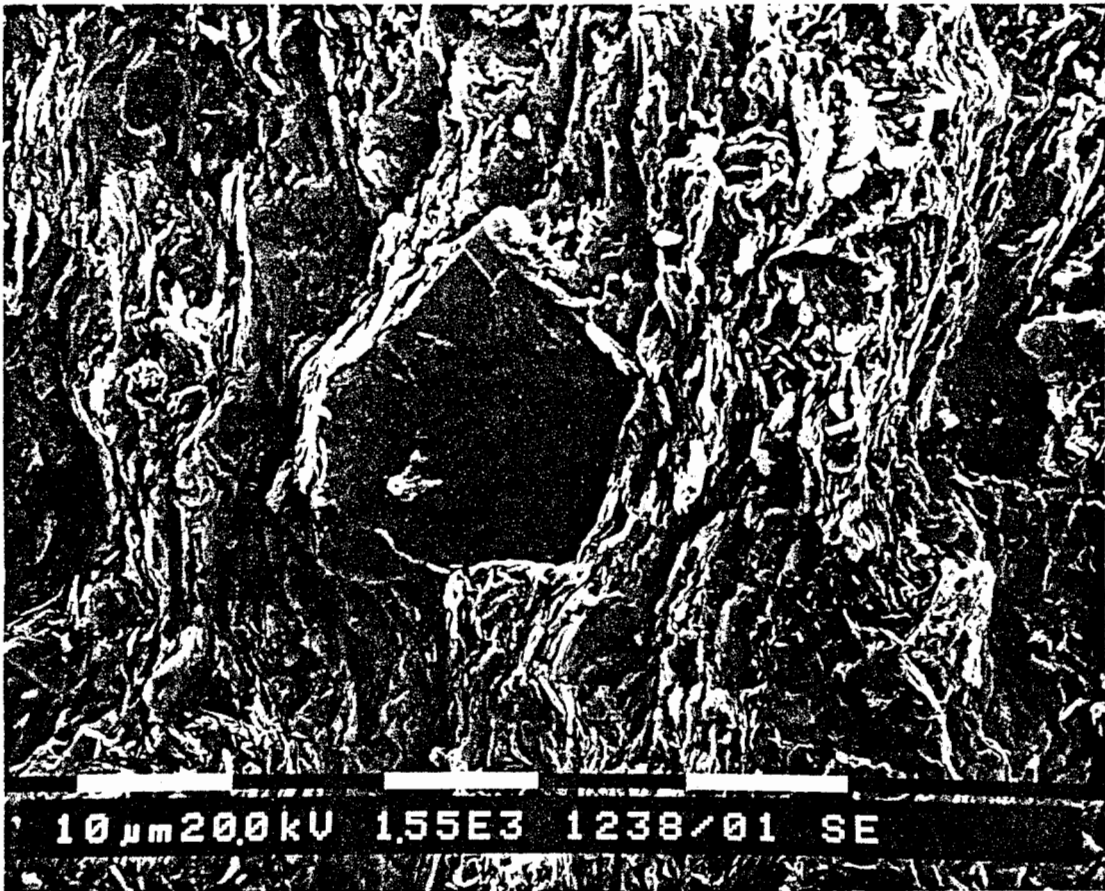


Bild 8



Bild 9



Bild 10

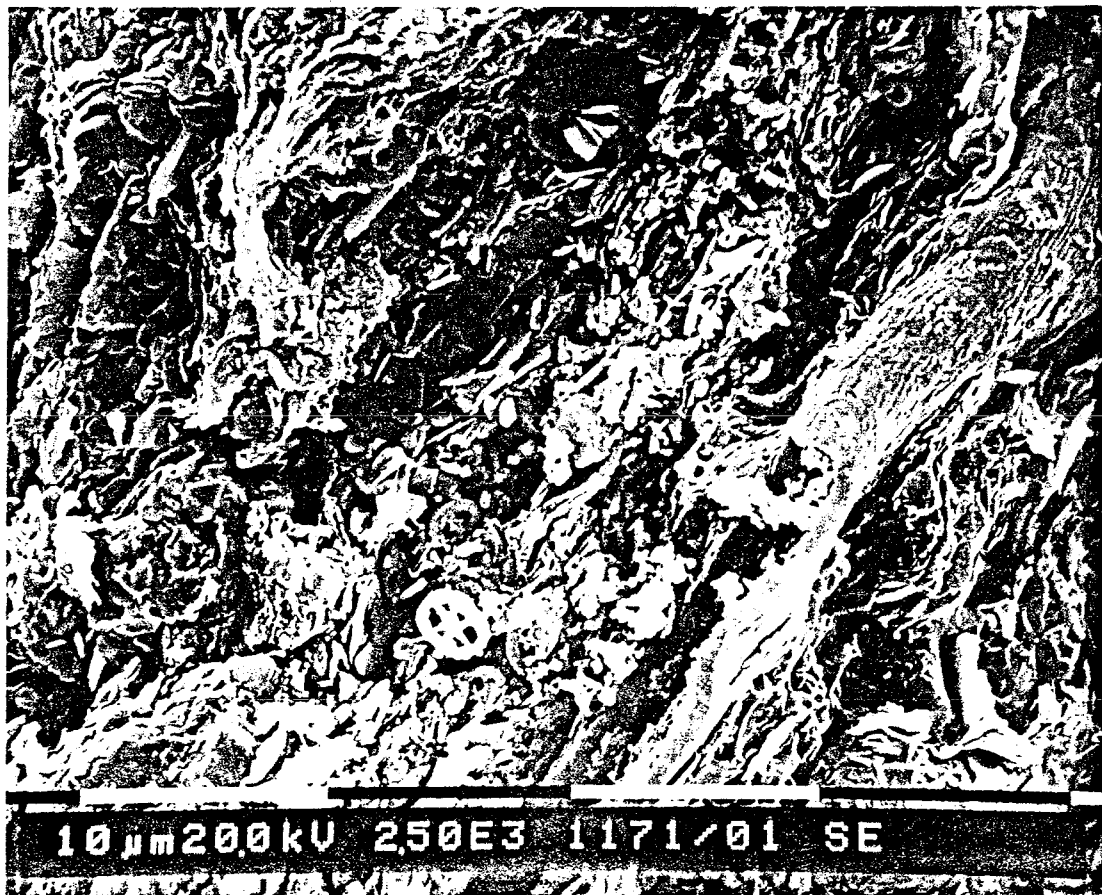


Bild 11



Bild 12





Bild 13

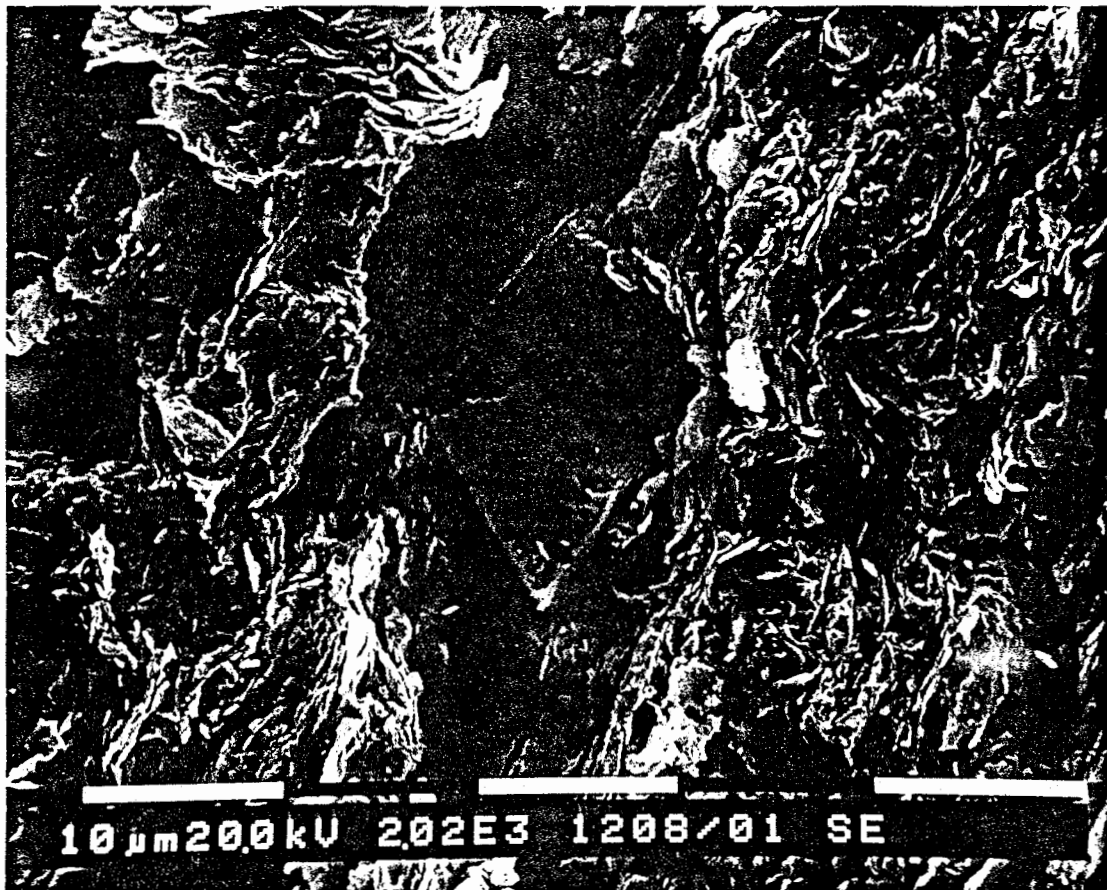


Bild 14





Bild 15

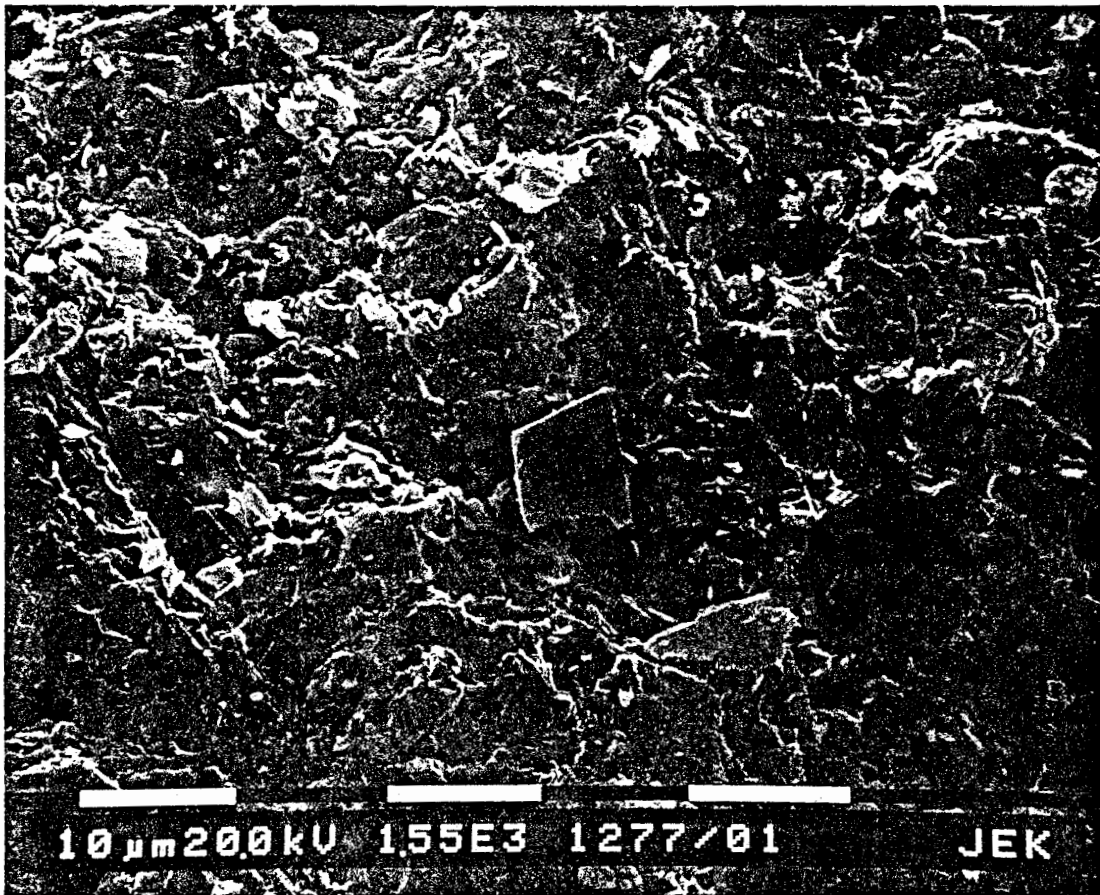


Bild 16



Bild 17



Bild 18

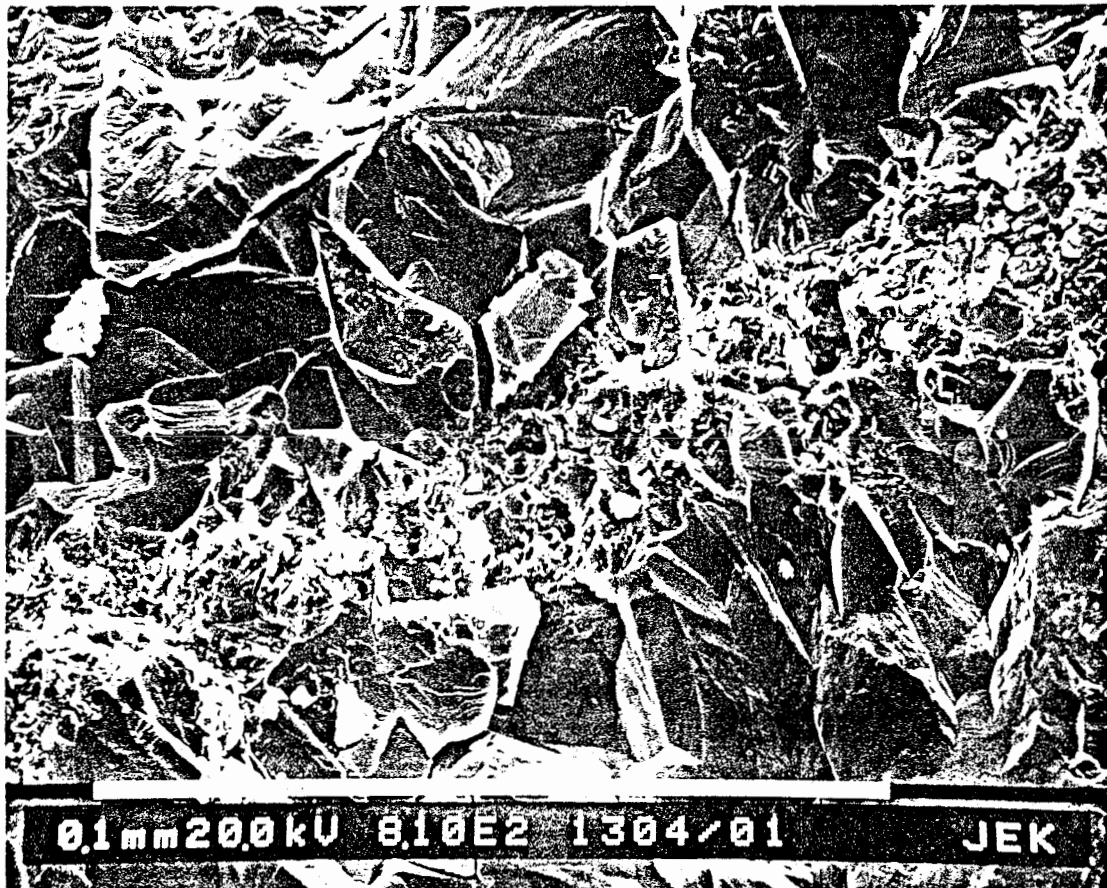


Bild 19

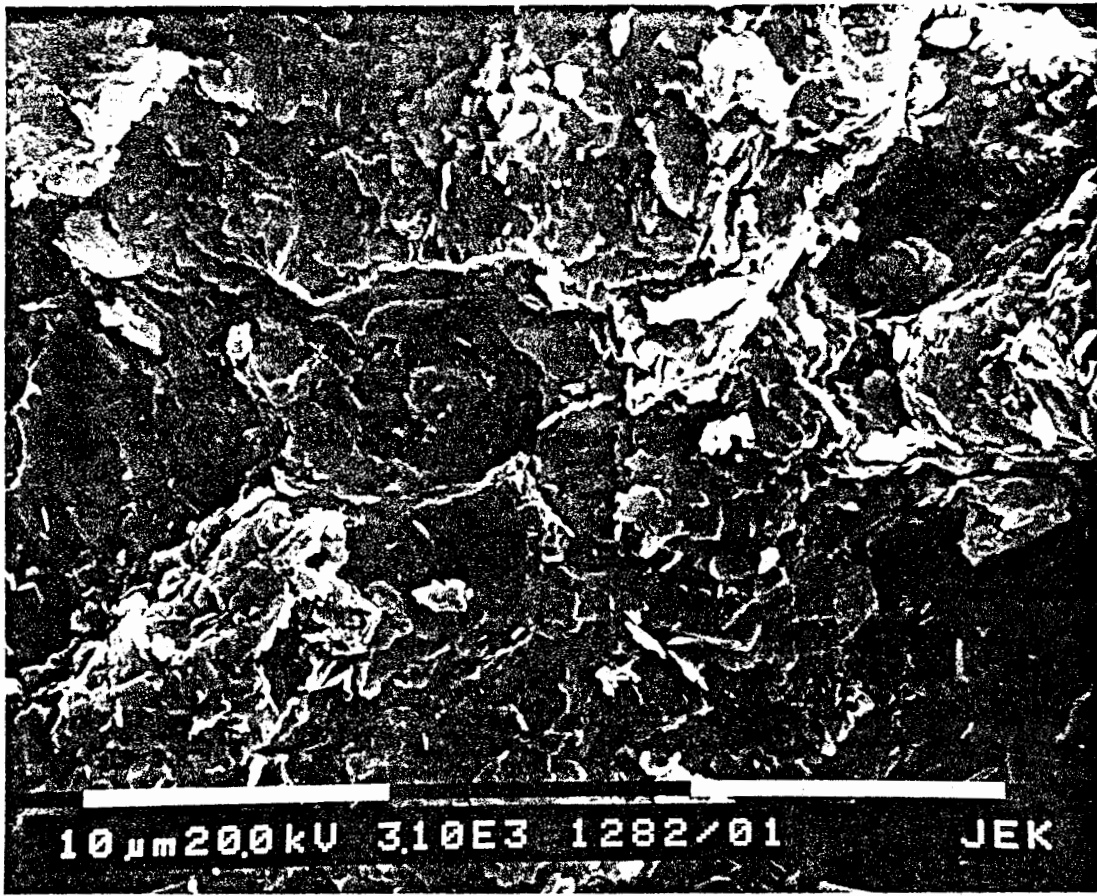


Bild 20

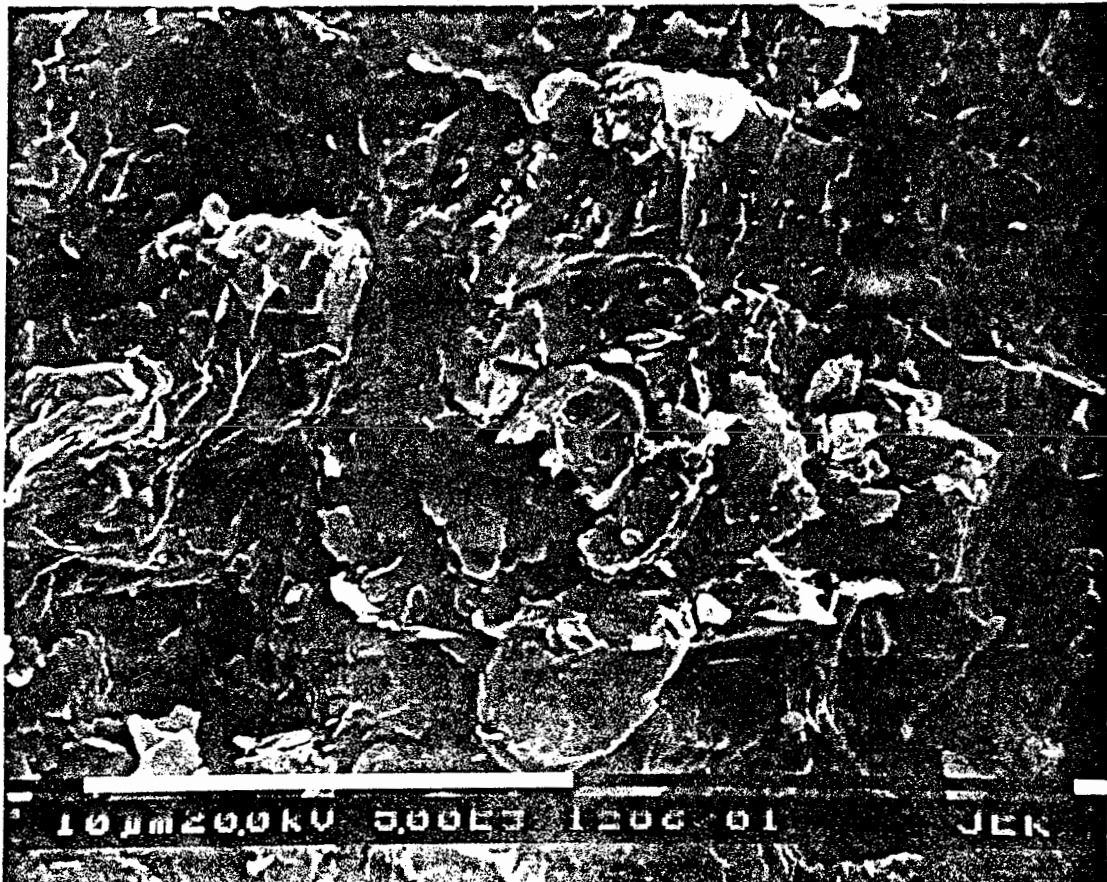




Bild 21



Bild 22



Bild 23



Bild 24

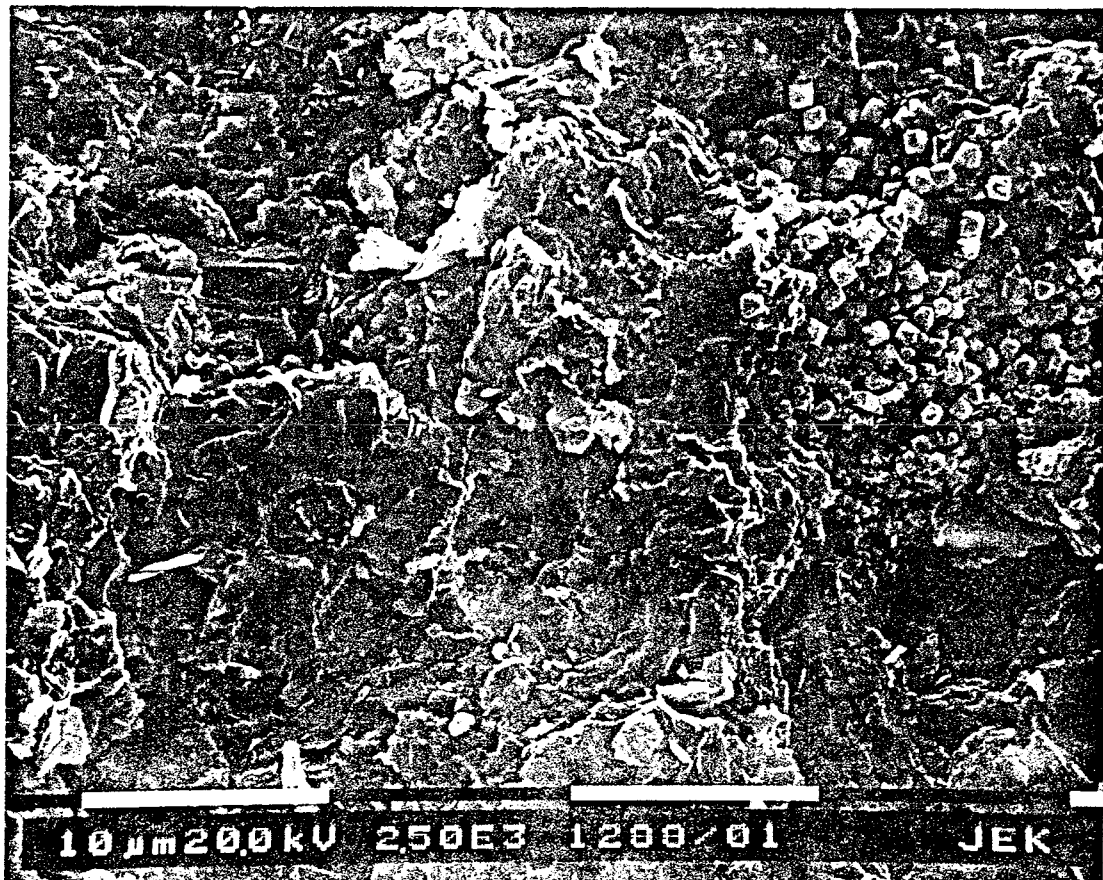


Bild 25

